# Universidade de São Paulo Escola de Engenharia de São Carlos Departamento de Engenharia Mecânica

# SEM 346 TROCADORES DE CALOR (TEORIA)

Prof. Dr. Reginaldo Teixeira Coelho Eng. Aldo Braghini Júnior Eng. André João de Souza

> São Carlos, fevereiro de 1997 (Revisada em abril de 1998)

# Sumário

INTRODUÇÃO	***************************************
CAPÍTULO 1 - INTRODUÇÃO À TRANSFERÊNCIA DE CALOR	
1.1 - Definição de Calor	2
1.2 - Transferência de Calor	3
1.2.1 - Condução	
Exemplo 1.1	6
1.2.2 - Convecção	
1.2.3 - Radiação	10
Exemplo 1.2	
1.3 - A Exigência da Conservação da Energia	13
1.3.1 - Conservação da Energia num Volume de Controle	13
Exemplo 1.3	
1.3.2 - Balanço de energia em superficies	17
Exemplo 1.4	
Referências	20
Exercícios PropostoS	20
CAPÍTULO 2 - INTRODUÇÃO À CONDUÇÃO DE CALOR	····· 22
2.1 - A EQUAÇÃO DA TAXA DE CONDUÇÃO	22
2.2 - As Propriedades Térmicas da Matéria	25
2.2.1 - Condutividade Térmica	
2.2.2 - Outras Propriedades Relevantes	30
Exemplo 2.1	31
2.3 - A EQUAÇÃO DA DIFUSÃO DO CALOR	32
Exemplo 2.2	
Referências	40
Exercícios Propostos	
CAPÍTULO 3 - CONDUÇÃO UNIDIMENSIONAL EM REGIME PERMANENTE	,,,,,,,,,,,,,,,,,,,,,,,,,,,,,,,,,,,,,,
3.1 - Parede Plana	43
3.1.1 - Distribuição de Temperatura	44
3.1.2 - Resistência Térmica	45
3.1.3 - A Parede Composta	47
3.1.4 - Resistência de Contato	
Exemplo 3.1	52

3.2 - ABORDAGEM DIFERENTE NA ANÁLISE DA CONDUÇÃO	54
Exemplo 3.2	
3.3 - SISTEMAS RADIAIS	58
3.3.1 - O Cilindro	
Exemplo 3.3	
3.3.2 - A Esfera	64
Exemplo 3.4	65
3.4 - Condução com Geração de Energia Térmica	67
3.4.1 - A Parede Plana	68
Exemplo 3.5	
3.4.2 - Sistemas Radiais	73
Exemplo 3.6	75
3.5 - Transferência de Calor em Superfícies Expandidas	77
3.5.1 - Uma Análise Geral de Condução	80
3.5.2 - Aletas com a Área de Seção Reta Uniforme	81
Exemplo 3.7	85
3.5.3 - Desempenho da Aleta	87
3.5.4 - Eficiência Global da Superficie	
Exemplo 3.8	
Referências	94
Exercícios Propostos	95
CAPÍTULO 4 - INTRODUÇÃO À CONVECÇÃO	99
4.1 - O Problema da Transferência Convectiva.	99
Exemplo 4.1	102
4.2 - As Camadas Limites da Convecção	103
4.2.1 - A Camada Limite Cinética	103
4.2.2 - A Camada Limite Térmica	105
4.2.3 - A Camada Limite de Concentração	106
Exemplo 4.2	107
4.2.4 - Significado das Camadas Limites	109
Referências	110
Exercícios Propostos	111
APÊNDICE A - PROPRIEDADES TERMODINÂMICAS DA MATÉRIA	112

# Introdução

O processo de troca térmica entre dois fluidos em diferentes temperaturas, e separados por uma fronteira sólida, é um processo comum em diferentes modalidades da indústria atual. O dispositivo usado para efetuar esta troca é o *Trocador de Calor*.

Até mesmo no cotidiano da existência humana, os trocadores de calor estão presentes, influindo sob os mais diversos aspectos: geladeira doméstica simples, aparelho de ar condicionado, aquecedor a gás utilizado para o aquecimento de água no interior de residências, radiador de automóveis, etc.

Não há indústria química, siderúrgica, naval, mecânica, nuclear, etc. que não empregue tais equipamentos térmicos; daí ser a Transferência de Calor um assunto de relevância que pretenda oferecer os fundamentos a esta ciência nas aplicações correntes da engenharia em suas diferentes especialidades.

O presente trabalho enfoca a teoria de transmissão de calor necessária ao projeto de trocadores de calor, distribuído em quatro capítulos, a saber:

# Capítulo 1 - INTRODUÇÃO À TRANSFERÊNCIA DE CALOR

Define-se calor e os tipos de transferência de calor, além de mostrar a importância da conservação de energia (1ª Lei da Termodinâmica) a tal transmissão.

# Capítulo 2 - INTRODUÇÃO À CONDUÇÃO DE CALOR

Analisa-se com detalhes a equação da taxa de condução de calor (Lei de Fourier) e as relações da conservação de energia neste processo.

# Capítulo 3 - CONDUÇÃO UNIDIMENSIONAL EM REGIME PERMANENTE

Trata-se de casos de transferência de calor por difusão, em condições unidimensionais, sob regime permanente, em diferentes superficies (planas, radiais e expandidas (aletas)).

# • Capítulo 4 - INTRODUÇÃO À CONVECÇÃO

Analisa-se os mecanismos físicos subjacentes à transferência convectiva (camadas limites), e os meios de efetuar os cálculos desta transmissão de calor.

Maiores detalhes sobre tocadores de calor estão expostos na apostila de projeto.

# Capítulo 1 - Introdução à Transferência de Calor

# 1.1 - Definição de Calor

Calor pode ser definido como a energia em transição devido a uma diferença de temperatura, não associada com transferência de massa. Esta definição, específica e precisa, pode ser diferente das definições relacionadas à Calorimetria, e assim, surge a necessidade da discussão de seus principais aspectos.

O primeiro ponto define o calor como uma energia em transição que cruza a fronteira do sistema ou a superficie de um volume de controle sem ser possuída. Calor não pode ser armazenado, e depois de tal cruzamento, ele deve ser convertido em outra forma qualquer de energia. Note que o termo energia não é definido. Esta é uma quantidade derivada (assim como o termo força), e o termo é totalmente compreendido quando suas formas e transformações são entendidas a partir de um típico estudo de Termodinâmica.

O segundo ponto na definição de calor está na não transferência de massa. Se uma transferência de energia ocorre através da superficie de controle devido à transferência de massa (massa fluindo para dentro ou para fora do volume de controle carregando alguma forma de energia), esta energia transferida não é calor.

O terceiro ponto mostra que o motivo para haver transferência de calor deve ser uma diferença de temperatura. Se o fluxo de energia através da fronteira não for provocado por uma diferença de temperatura entre o sistema e a vizinhança, esta não pode ser chamada calor. Como a experiência indica e a Segunda Lei demanda, o calor flui da região de alta temperatura para a de baixa.

A exigência de que o calor não pode ser armazenado pelo sistema ou volume de controle, significa que este não é uma propriedade (qualquer característica observável de um sistema). Portanto, não se pode falar em calor de um sistema ou em um sistema, o que não tem sentido conforme a definição adotada. O calor transferido para (ou de) um sistema necessita de mudança no estado do sistema, e a magnitude da transferência de calor é uma função do caminho percorrido durante o processo que causa esta mudança. Assim, o calor é uma função do caminho (em termos matemáticos é uma diferencial inexata) e usa o símbolo  $\delta Q$  para indicar um infinitésimo de calor transferido. Isto ajuda a distingui-lo de uma propriedade, a qual é função do ponto (matematicamente uma diferencial exata) sendo neste caso representada por dY, onde Y é uma propriedade qualquer.

#### 1.2 - Transferência de Calor

A transferência de calor (ou simplesmente calor) é o trânsito de energia provocado por uma diferença de temperatura.

Conforme mostrado na Figura 1.1 a transferência de calor pode ocorrer de diferentes modos. Quando existe um gradiente de temperatura num meio estacionário, que pode ser um sólido ou um fluido (gás ou líquido), a condução de calor se denomina condução. Em contraste, a convecção se refere à transferência de calor que ocorre entre uma superficie e um fluido em movimento - quando estes estiverem em temperaturas diferentes. O terceiro modo de transferência de calor é a radiação térmica. Todas as superficies numa temperatura finita emitem energia na forma de ondas eletromagnéticas. Desta forma, na ausência de um meio interveniente, haverá uma transferência líquida de calor pela radiação entre duas superficies em temperaturas diferentes.

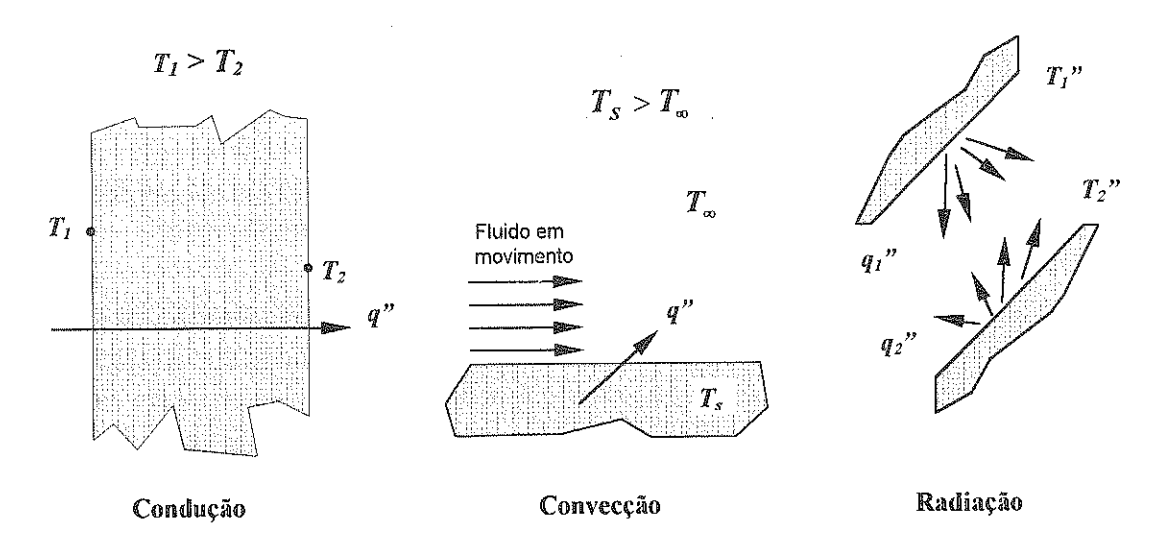


Figura 1.1 - Modos de transferência de calor: Condução, Convecção e Radiação.

Como engenheiros, é importante que compreendamos os mecanismos físicos que fundamentam os modos de transferência de calor, e que sejamos capazes de utilizar as equações das taxas que quantificam a energia transferida por unidade de tempo.

#### 1.2.1 - Condução

Ao mencionar a palavra condução deve-se imediatamente evocar os conceitos de atividade atômica e atividade molecular, pois são estes níveis de processos que sustentam tal modo de transferência de calor. A condução pode ser considerada como a transferência de energia das partículas mais energéticas de uma substância para as menos energéticas, graças às interações das partículas.

O mecanismo físico da condução de calor explica-se mais facilmente considerandose um gás e adotando-se idéias familiares á Termodinâmica. Consideremos um gás no qual existe um gradiente de temperatura e admitamos que não há movimento de massa. O gás pode ocupar o espaço entre duas superfícies que se mantém em temperaturas diferentes, conforme Figura 1.2.

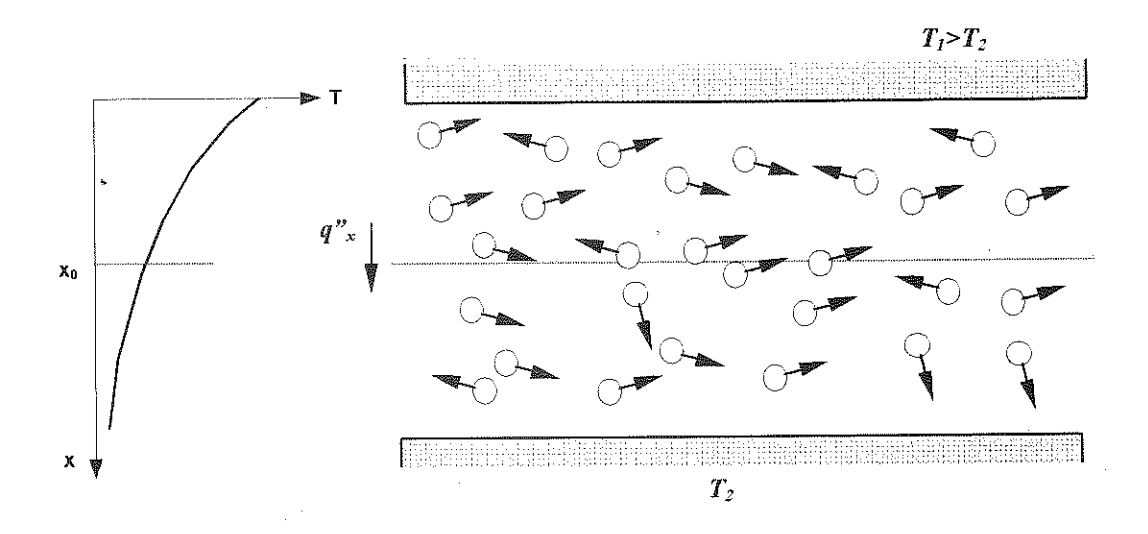


Figura 1.2 - Associação entre a transferência de calor por condução e a difusão da energia provocada pela atividade molecular.

A temperatura em qualquer ponto está associada à energia das moléculas do gás nas vizinhanças deste. A energia se relaciona ao movimento de translação aleatório das moléculas e também aos movimentos de rotação e de vibração das mesmas. Além disso, as temperaturas mais elevadas estão associadas às energias moleculares mais altas quando as moléculas vizinhas colidem-se; como fazem-no com frequência, pode ocorrer a transferência de energia da molécula mais energética para a menos energética. Na presença de um gradiente de temperatura, a transferência de energia pela condução deve ocorrer na direção da diminuição de temperatura. Esta transferência fica evidente na Figura 1.2. O plano hipotético em  $x_{\theta}$  está sendo sempre cruzado por moléculas que vêm de cima e de baixo, em virtude do movimento aleatório das mesmas. No entanto, as moléculas que vêm de cima do plano estão associadas às temperaturas mais elevadas do que àquelas das moléculas que vêm de baixo; neste caso, deve haver uma transferência líquida de energia na direção dos x positivos. Pode-se dizer que a transferência líquida de energia provocada pelo movimento molecular aleatório é uma difusão de energia.

São inúmeros os exemplos de transmissão de calor por condução:

- o cabo de uma colherinha de metal imersa numa xícara de café fica quente em virtude da condução de energia através do metal da colher.
- num dia de inverno, há perda significativa de calor de um aposento aquecido para a atmosfera externa. Esta perda se deve principalmente à condução de calor através da parede do aposento que separa a atmosfera interna da externa.

É possível quantificar o processo de transferência de calor em termos da equação de transferência de calor. Esta pode ser usada para calcular a quantidade de energia transferida por unidade de tempo. Na condução de calor, a equação da taxa é conhecida como Lei de Fourier. No caso da parede plana unidimensional que aparece na Figura 1.3, com a distribuição de temperatura T(x), a equação da taxa exprime-se como:

$$q_x'' = -k \frac{dT}{dx} \tag{1.1}$$

Figura 1.3 - Transferência de calor por condução unidimensional (difusão de energia).

O fluxo de calor  $q_x^*$  [W/m²] é a taxa de transferência de calor x por unidade de área perpendicular à direção de transferência, e é proporcional ao gradiente de temperatura, dT/dx, nesta direção. A constante de proporcionalidade k é uma propriedade de transporte conhecida como condutividade térmica [W/mK] e é característica de o calor se transferir na direção da temperatura decrescente.

Nas condições de regime permanente da Figura 1.3, quando a distribuição de temperatura for linear, o gradiente de temperatura pode ser expresso como:

$$\frac{dT}{dx} = \frac{T_2 - T_1}{L} \quad \text{e o fluxo de calor \'e então} \quad q_x'' = -k \frac{T_2 - T_1}{L} \quad \text{ou}$$

$$q_x'' = k \frac{T_1 - T_2}{L} = k \frac{\Delta T}{T} \tag{1.2}$$

Observa-se que esta equação calcula o fluxo de calor, isto é a taxa de transferência de calor por unidade de área. A taxa de condução de calor  $q_x$  [W] através de uma parede plana de área A é então o produto do fluxo pela área,  $q_x = q_x'' \cdot A$ .

#### Exemplo 1.1

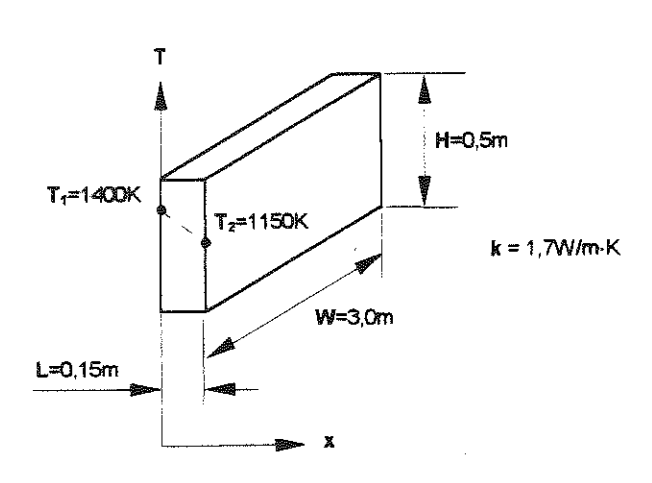
A parede de um forno industrial é construída de tijolo refratário com 15cm de espessura e condutividade térmica de 1,7W/m K. As medidas realizadas em condições de estado permanentes mostram que as temperaturas nas superficies interna e externa são 1400K e 1150K. Qual é a taxa de perda de calor através de uma parede de 0,5m por 3,0m?

#### Solução:

<u>Dados</u>: Operações em estado permanentes, espessura da parede, área da parede e condutividade térmica da parede, temperaturas superficiais.

Incógnita: Perda térmica pela parede.

#### Esquema:



#### Hipóteses:

- 1. Condições de regime permanente.
- 2. Condução unidimensional através da parede.
- 3. Propriedades constantes.

Análise: Como a transferência de calor através da parede ocorre por condução, o fluxo de calor pode ser determinado pela lei de Fourier. Com a equação (1.2),

$$q_x'' = k \frac{\Delta T}{T} = 1.7 \frac{W}{m \cdot K} \times \frac{250 K}{0.15 m} : q_x'' = 2833 \frac{W}{m^2}$$

o fluxo de calor representa a taxa de transferência de calor através de uma seção de área unitária. A perda de calor pela parede é então:

$$q_x = (H \cdot W) \cdot q_x'' = (0.5m \times 3.0m) \cdot 2833W/m^2 = 4250W$$

#### Comentários:

- 1. Observa-se que a direção do fluxo é na direção decrescente da temperatura.
- 2. Observa-se que há uma entre o fluxo de calor e a taxa de condução de calor.

#### 1.2.2 - Convecção

O modo de transferência de calor pela convecção compreende dois mecanismos. Além da transferência de energia provocada pelo movimento molecular aleatório (difusão), a energia também, se transfere pelo movimento de massa (ou macroscópico) do fluido. Esse movimento do fluido está associado ao fato de, em qualquer instante, um grande número de moléculas estar se movendo coletivamente ou em agregados. Esse movimento, na presença de um gradiente de temperatura, provoca a transferência de calor. Em virtude de as moléculas nos agregados continuarem a ter os respectivos movimentos aleatórios, a transferência total de calor se deve à superposição do transporte de energia pelo movimento aleatório das moléculas ao transporte de energia provocado pelo movimento de massa do fluido. É habitual utilizar o termo convecção para identificar esse transporte acumulado e o termo advecção para identificar o transporte devido ao movimento de massa do fluido.

O objetivo principal aqui é a transferência de calor por convecção entre o fluido em movimento e uma superficie limitante, quando os dois estão em temperaturas diferentes. Considere o escoamento de uma fluido sobre uma superficie aquecida, como na Figura 1.4.

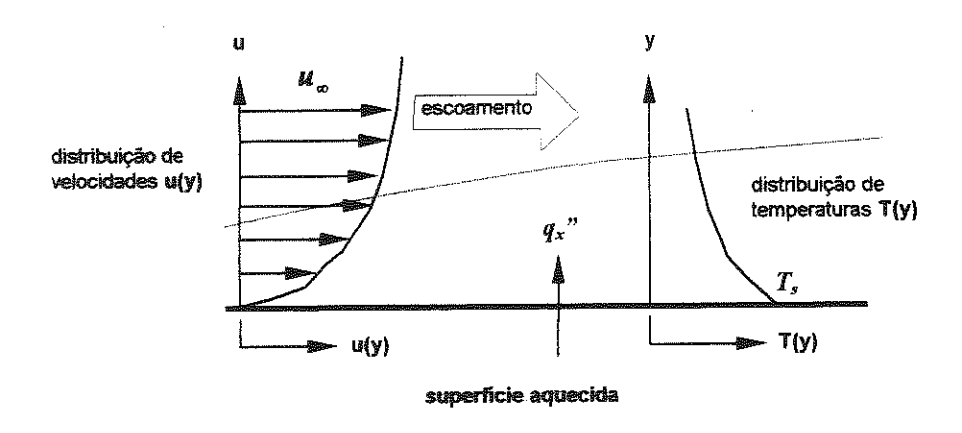


Figura 1.4 - Desenvolvimento de uma camada limite na transferência convectiva de calor.

Uma consequência da interação do fluido com a superficie é o desenvolvimento de uma região no fluido na qual a velocidade varia desde zero, na superficie, até um valor finito  $u_{\infty}$ , associado ao escoamento. Essa região do fluido é conhecida como a camada hidrodinâmica ou a camada limite. Além disso, se a superficie e o fluido que escoa apresentarem temperaturas diferentes, haverá uma região no fluido através da qual a temperatura varia desde  $T_s$ , em y=0, até  $T_{\infty}$ , na região externa. Esta região, denominada a camada térmica, pode ser menor ou maior que a camada através da qual a velocidade varia, ou ter o mesmo tamanho que esta. Em qualquer caso, se  $T_s > T_{\infty}$ , a transferência convectiva de calor ocorrerá da superficie para o escoamento externo.

O modo de transferência convectiva de calor é sustentado pelo movimento molecular aleatório e pelo movimento macroscópico do fluido no interior da camada limite. A contribuição devida ao movimento molecular aleatório (difusão) domina nas vizinhanças da superficie, onde a velocidade do fluido é baixa. Na realidade, na interface entre a superfície e o fluido ( $y = \theta$ ), a velocidade do fluido é nula e o calor é transferido exclusivamente pelo movimento molecular. A contribuição devido ao movimento macroscópico do fluido se deve ao fato de a camada limite crescer à medida que o escoamento avança na direção x. Na realidade, o calor conduzido para essa camada é arrastado pela corrente do fluido e se transfere, no final, para o fluido externo à camada limite. É por esta a razão que a disciplina Mecânica dos Fluidos é tão importante na análise da transferência de calor por convecção.

A transferência convectiva de calor pode ser classificada de acordo com a natureza do escoamento. Fala-se de *convecção forçada* quando o escoamento for provocado por meios externos, como por exemplo, um ventilador ou uma bomba, ou por ventos na atmosfera. Um exemplo é o da utilização de um ventilador para provocar a convecção forçada do ar de resfriamento dos componentes elétricos numa montagem de placas de circuito impresso (Figura 1.5a). Em contraste, na convecção livre (ou natural) o escoamento é provocado pelas forças de empuxo que se originam das diferenças de densidade devido às variações de temperaturas no fluido. Um exemplo é o da transferência convectiva de calor que ocorre dos componentes quentes de uma montagem vertical de placas de circuito para o ar quiescente (Figura 1.5b).

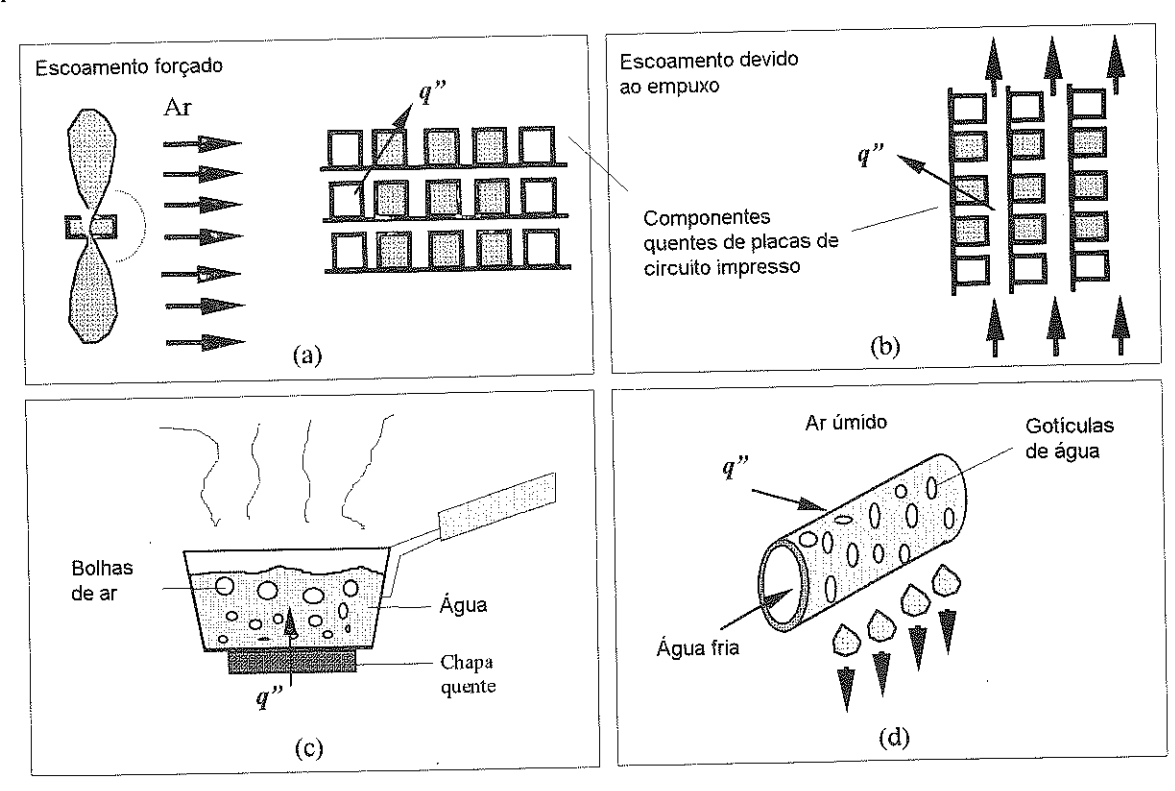


Figura 1.5 - Processo de transferência convectiva de calor por (a) convecção forçada, (b) convecção natural, (c) ebulição e (d) condensação.

Na Figura 1.5b, o ar que entra em contato com os componentes sofre elevação de temperatura e por isso a sua densidade se reduz, ficando assim mais leve que o ar circundante; desta forma, o empuxo provoca um movimento vertical, fazendo com que o ar quente ascendente pelas placas seja substituído por um fluxo de ar mais frio, que vem do ambiente. É útil observar que, embora tenhamos imaginado uma convecção forçada pura na Figura 1.5a e uma convecção natural pura na Figura 1.5b, podem existir condições que correspondam à ambas combinadas. Por exemplo, se as velocidades associadas ao escoamento da Figura 1.5a forem pequenas e/ou se as forças de empuxo forem grandes, será possível induzir um escoamento secundário comparável ao escoamento forçado imposto pelo ar. O escoamento induzido pelo empuxo sobreviria na direção normal ao escoamento forçado e teria efeito significativo sobre a transferência convectiva de calor dos componentes. Na Figura 1.5b, a convecção mista seria provocada se fosse utilizado um ventilador para forçar o ar a circular para cima, através das placas de circuito, com o que ficaria reforçado o escoamento do empuxo, ou, então, se o ventilador forçasse o ar para baixo, seria contrariado o escoamento do empuxo.

Descreve-se o modo de transferência convectiva de calor como a transferência de energia que ocorre no interior de um fluido em virtude dos efeitos combinados da condução e do movimento macroscópico do fluido. Tipicamente, a que se transfere é a energia térmica interna do fluido. No entanto, há processos de convecção nos quais há também troca de calor latente, geralmente associada à mudança de fase entre os estados líquido e vapor de um fluido. Dois casos de interesse especial para este texto são os da *ebulição* e o da *condensação*. Por exemplo, a transferência convectiva de calor provocada pelas bolhas de vapor que se formam no fundo de uma panela com água fervente (Figura 1.5c), ou pela condensação de vapor de água na superficie externa de um tubo de água fria (Figura 1.5d). Independentemente da natureza particular do processo de transferência de calor por convecção, a equação da taxa apropriada tem a forma:

$$q'' = h \cdot (T_s - T_{\infty}) \tag{1.3a}$$

onde q", o fluxo de calor convectivo  $[W/m^2]$ , é proporcional à diferença entre as temperaturas da superficie e do fluido,  $T_s$  e  $T_\infty$ , respectivamente. Esta expressão é conhecida como a Lei do Resfriamento de Newton e a constante de proporcionalidade h  $[W/m^2\cdot K]$  é o coeficiente de transferência convectiva de calor, a condutância da pelicula ou o coeficiente de película. Tal coeficiente inclui todos os parâmetros que influenciam a transferência convectiva de calor; em particular, ele depende das condições na camada limite, influenciadas pela geometria da superficie, pela natureza do movimento do fluido e por um conjunto de propriedades termodinâmicas e de transporte do fluido. Além disso, qualquer investigação sobre convecção se reduz, essencialmente, à investigação sobre os métodos de determinação de h. Na solução de problemas admite-se, no entanto, que h seja conhecido (Tabela 1.1).

Tabela 1.1 - Valores típicos do coeficiente de transferência convectiva de calor.

PROCESSO	h (W/m <sup>2</sup> ·K)
Convecção livre	
Gases	2-25
Líquidos	50-1000
Convecção forçada	
Gases	25-250
Liquidos	50-20000
Convecção com mudança de fase	,
Ebulição ou condensação	2500-100000

Quando se usa a Equação (1.3a), o fluxo convectivo de calor é *positivo* se o calor for transferido *da* superficie  $(T_s > T_{\infty})$ , e *negativo* se o calor for transferido *para* a superficie  $(T_{\infty} > T_s)$ . No entanto, se  $(T_{\infty} > T_s)$ , nada impede que se escreva a Lei de Newton do resfriamento na forma:

$$q'' = h \cdot (T_{\infty} - T_{\epsilon}) \tag{1.3b}$$

e neste caso, a transferência de calor será positiva se ocorrer para a superficie.

## 1.2.3 - Radiação

A radiação térmica pode ser entendida com sendo a energia emitida pela matéria que estiver numa temperatura finita. Embora este texto se concentre principalmente na radiação de superficies sólidas, a emissão pode também provir de liquidos e de gases. Independentemente do estado da matéria, a emissão pode ser atribuída às modificações das configurações eletrônicas dos átomos ou das moléculas que a constituem. A energia do campo de radiação é transportada por ondas eletromagnéticas (fótons). Enquanto a transferência de calor por condução ou por convecção exige a presença de um meio material, a radiação não precisa de qualquer meio. Na realidade, a transferência pela radiação ocorre com maior eficiência no vácuo.

O fluxo máximo de calor [W/m²] que pode ser emitido por uma superficie é dado pela Lei de Stefan-Boltzmann:

$$q'' = \sigma \cdot T_s^4 \tag{1.4}$$

onde  $T_s$  é a temperatura absoluta [K] da superficie e  $\sigma$  é a constante de Stefan-Boltzmann ( $\sigma = 5,67 \times 10^{-8} \text{ W/m}^2 \cdot \text{K}$ ). Esta superficie é denominada um radiador ideal ou um *corpo negro*. O fluxo de calor emitido por uma superficie real, menor que o emitido por um radiador ideal, é dado por:

$$q'' = \varepsilon \cdot \sigma \cdot T_s^4 \tag{1.5}$$

onde  $\varepsilon$  é uma propriedade radiativa da superficie, a *emissividade*. Esta propriedade, cujo valor está no intervalo  $0 \le \varepsilon \le 1$ , indica a eficiência da emissão da superficie, comparada com um radiador ideal. Inversamente, se houver incidência de radiação sobre uma superficie, uma parcela será absorvida, e a taxa na qual a energia é absorvida pela unidade de área superficial pode ser calculada mediante o conhecimento de uma propriedade radiativa da superficie denominada *absortividade*  $\alpha$ , isto é:

$$q_{abs}'' = \alpha \cdot q_{inc}'' \tag{1.6}$$

onde  $\theta \le \alpha \le 1$ . Enquanto a emissão de radiação reduz a energia térmica da matéria, a absorção aumente esta energia.

As equações (1.5) e (1.6) determinam a taxa na qual a energia radiante é emitida e absorvida por uma superficie, respectivamente. A determinação da *taxa liquida* na qual a radiação é trocada entre superficies é, em geral, bastante mais complicada. Um caso particular, no entanto, envolve a troca líquida de radiação entre uma pequena superficie e uma outra muito maior, que envolve completamente a superficie menor (Figura 1.6).

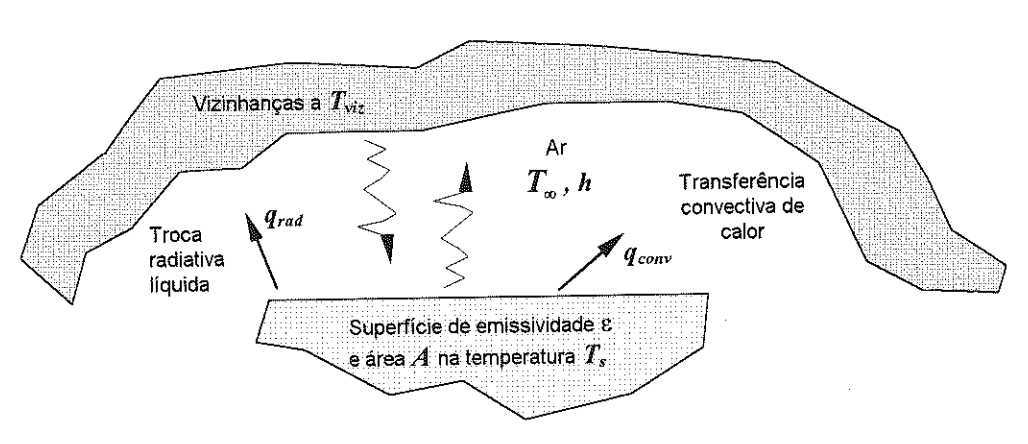


Figura 1.6 - Troca radiativa entre uma superfície e as suas vizinhanças.

A superficie e as vizinhanças estão separadas por um gás que não tem efeito sobre a transferência de radiação. Admitindo que a superficie tenha α=ε (superficie cinzenta), a taxa líquida da troca de radiação térmica entre a superficie e as suas vizinhanças, expressa por unidade de área da superficie, é:

$$q'' = \frac{q}{A} = \varepsilon \cdot \sigma \cdot (T_s^4 - T_{viz}^4) \tag{1.7}$$

Nesta expressão, A é a área da superficie,  $\varepsilon$  é a sua emissividade e  $T_{viz}$  é a temperatura das vizinhanças. Neste caso, a área e a emissividade das vizinhanças não influenciam a taxa líquida de troca térmica. Em muitas aplicações é conveniente exprimir a troca líquida de radiação térmica na forma:

$$q_{rad} = h_r \cdot A \cdot (T_s - T_{vir}) \tag{1.8}$$

onde pela equação (1.7), o coeficiente de transferência radiativa de calor h, e dado por

$$h_r = \varepsilon \cdot \sigma \cdot \left(T_s + T_{vix}\right) \cdot \left(T_s^2 + T_{vix}^2\right) \tag{1.9}$$

Nesta fórmula, modelamos o modo radiativo de maneira semelhante ao modo convectivo, linearizando a equação da taxa de radiação e fazendo com que a taxa de calor irradiado seja proporcional a uma diferença simples de temperatura, e não à diferença das quartas potências de duas temperaturas. Observa-se, no entanto, que  $h_r$  depende fortemente da temperatura, enquanto que a dependência entre h (coeficiente de transferência convectiva de calor) e a temperatura é, em geral, fraca.

A superficie imersa em gás circundante pode também transferir calor por convecção para este, simultaneamente (Figura 1.6). A taxa total de transferência de calor <u>da</u> superficie é então igual à soma das duas taxas térmicas, isto é  $q = q_{conv} + q_{rad}$  ou

$$q = h \cdot A \cdot (T_s - T_m) + \varepsilon \cdot \sigma \cdot A \cdot (T_s^4 - T_{vit}^4)$$
(1.10)

Observe que a taxa de transferência convectiva de calor  $q_{conv}$  é igual ao produto do fluxo, dado pela equação (1.3a), pela área superficial.

#### Exemplo 1.2

Um tubo, sem isolamento, passa por uma sala na qual o ar e as paredes estão a 25°C. O diâmetro do tubo é 70mm, a temperatura superficial 200°C, e a emissividade 0,8. Se o coeficiente associado à transferência convectiva livre de calor da superficie para o ar for de 15W/m², qual será a taxa de perda de calor através da superficie do tubo por unidade de comprimento?

#### Solução:

#### Hipóteses:

- 1. As condições são de regime permanente.
- 2. A troca de radiação entre o tubo e o ambiente é uma troca entre uma pequena superficie e uma outra muito maior, que a envolve.

Análise: A perda térmica do tubo ocorre por convecção para o ar ambiente e pela troca radiativa com as paredes. Portanto, pela equação (4.10), com  $A = \pi DL$ :

$$q = h \cdot (\pi DL) \cdot (T_s - T_{\infty}) + \varepsilon \cdot \sigma \cdot (\pi DL) \cdot (T_s^4 - T_{\infty}^4)$$

a perda térmica por unidade de comprimento do tubo é, então:

$$q' = \frac{q}{L} = (\pi \cdot D) \cdot (h \cdot (T_s - T_{\infty}) + \varepsilon \cdot \sigma \cdot (T_s^4 - T_{vix}^4))$$

$$= (\pi \times 0.07) \cdot (15 \cdot (473 - 298) + 0.8 \cdot 5.67 \times 10^{-8} \cdot (473^4 - 298^4))$$

$$\therefore q' = 998 \frac{W}{m}$$

#### Comentários:

- Observa-se que a temperatura pode ser expressa de duas maneiras (isto é em °C ou K) quando se calcula uma diferença de temperaturas na taxa de transferência convectiva (ou condutiva) de calor. A temperatura no entanto, deve ser expressa em K quando se calcula uma taxa de transferência radiativa de calor.
- 2. Nesta situação, as taxas de transferência de calor por radiação e convecção são comparáveis, pois T<sub>s</sub> é grande em comparação com T<sub>vic</sub> e o coeficiente associado à convecção livre é pequeno. Com um valor mais moderado de T<sub>s</sub>, e com valores mais elevados de h associado à convecção forçada, o efeito da radiação pode ser, muitas vezes, desprezado. O coeficiente de transferência radiativa de calor pode ser calculado pela equação (1.9), e nas condições do problema o seu valor é h<sub>r</sub> = 11W/m². K

# 1.3 - A Exigência da Conservação da Energia

Os objetivos da Termodinâmica e da Transferência de Calor são, em grande parte, complementares. Por exemplo, a transferência de calor e uma extensão da termodinâmica, pois considera a taxa na qual a energia é transportada. Além disso, em muitas análises de transferência de calor, a *Primeira Lei da Termodinâmica* (Lei da Conservação de Energia) tem um papel muito importante

# 1.3.1 - Conservação da Energia num Volume de Controle

Na aplicação da Lei da Conservação de Energia, devemos inicialmente identificar o volume de controle, isto é, uma região do espaço limitada por uma superficie de controle através da qual podem passar energia e matéria. Nas aplicações deste texto, a região será fixa, o que corresponde à existência de um volume estacionário e constante. Uma vez identificado o volume de controle, é necessário especificar uma base de tempo apropriada. Há duas possibilidades de escolha. Uma vez que a primeira lei deve ser obedecida em qualquer instante de tempo t, uma escolha envolve a formulação da lei na base das taxas onde, em qualquer instante, deve haver um equilibrio entre todas as taxas de energia, medidas em Joules por segundo [W]. A outra corresponde à necessidade da primeira lei ser

obedecida em qualquer intervalo de tempo  $\Delta t$ . Num destes intervalos deve haver um equilíbrio entre as quantidades de todas as modificações de energia, medidas em Joules.

De acordo com a base de tempo escolhida, as formulações da primeira lei, bastante apropriadas para a análise da transferência de calor, podem ser expressas da seguinte forma:

#### Num instante t

A taxa na qual a energia térmica e a energia mecânica entram num volume de controle, mais a taxa na qual a energia térmica for gerada no interior do volume de controle, menos a taxa na qual a energia térmica e a energia mecânica saem do volume de controle, é igual à taxa de aumento da energia armazenada no interior do volume de controle.

## Num intervalo de tempo $(\Delta t)$

A quantidade de energia térmica e de energia mecânica que entram num volume de controle, mais a quantidade de energia térmica gerada no interior do volume de controle, menos a quantidade de energia térmica e de energia mecânica que saem do volume de controle, é igual ao aumento da quantidade de energia acumulada no volume de controle.

Se a afluência (entrada) e a geração de energia excederem, em conjunto, a efluência (saída), haverá um aumento na quantidade de energia acumulada no volume de controle; a afirmação inversa é correta, e haverá então uma diminuição da energia acumulada. Se a afluência e a geração de energia forem iguais, em conjunto, à efluência de energia, prevalece uma condição de estado permanente, na qual não há variação na quantidade de energia acumulada no volume de controle.

Ao se analisar a aplicação da conservação de energia ao volume de controle que aparece na Figura 1.7, primeiramente deve-se identificar a superficie de controle mediante a linha tracejada. A segunda etapa é a identificação dos termos de energia.

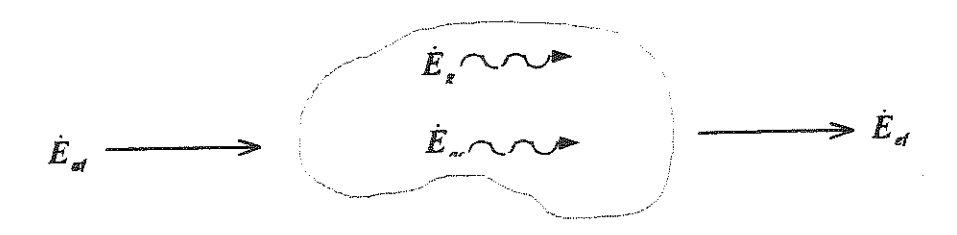


Figura 1.7 - Conservação de energia num volume de controle: aplicação num certo instante.

Num certo instante, os termos de energia incluem as taxas nas quais a energia térmica e a energia mecânica afluem e efluem através da superficie de controle  $\dot{E}_{af}$  e  $\dot{E}_{ef}$ . A energia térmica também pode entrar no volume de controle em virtude da conversão de outras formas de energia. Este processo é denominado geração de energia, e a taxa em que ocorre é simbolizada de controle  $dE_{ac}/dt$  é simbolizada por  $\dot{E}_{ac}$ . Pode-se então escrever uma forma geral da conservação da energia, na base das taxas:

$$\dot{E}_{sf} + \dot{E}_{s} - \dot{E}_{ef} = \frac{dE_{sc}}{dt} \equiv \dot{E}_{sc} \tag{111a}$$

A equação (1.11a) pode ser utilizada em qualquer instante de tempo. A outra opção aplica-se ao intervalo de tempo  $\Delta t$  e se obtém pela integração da equação (1.11a) sobre o tempo

$$E_{af} + E_s - E_{ef} = \Delta E_{ac} \tag{1.11b}$$

Esta relação mostra que as quantidades de energia afluente e de energia gerada contribuem para aumentar a quantidade de energia acumulada no volume de controle, enquanto que a quantidade de energia efluente contribui para diminuí-la

Os termos das taxas de afluência e de efluência  $\dot{E}_{af}$  e  $\dot{E}_{ef}$  são fenômenos de superficie, isto é, são associados exclusivamente aos processos que ocorrem na superficie de controle, e a taxa em que ocorrem é proporcional à área superficial. A situação mais comum envolve entrada e saída de energia em virtude da transferência de calor pelos modos condutivo, convectivo ou radiativo. Numa situação que envolva o escoamento de fluido através da superficie de controle,  $\dot{E}_{af}$  e  $\dot{E}_{ef}$ , a energia transportada pelo fluido para dentro e para fora do volume de controle também é inclusa. Esta energia pode ser constituída por formas potencial, cinética ou térmica.

O termo da taxa de geração de energia térmica  $E_s$  esta associado à taxa de convecção de uma forma de energia (química, elétrica, eletromagnética ou nuclear) em energia térmica. É um fenômeno volumétrico, ou seja, acontece dentro do volume de controle e tem uma grandeza proporcional ao volume. Por exemplo, uma reação química exotérmica pode estar se processando e convertendo energia química em energia térmica. O efeito líquido é o do crescimento da energia térmica do volume de controle. Outra fonte é a conversão da energia elétrica em energia térmica que ocorre no aquecimento de um resistor R percorrido por uma corrente elétrica I. Num volume de controle, a energia elétrica e dissipada à taxa  $I^2 \cdot R$ , correspondendo à energia térmica gerada (libertada) no interior do volume.

É importante não confundir o processo físico de acumulação de energia com o de geração de energia. Embora a geração de energia possa contribuir, com toda a certeza, para a acumulação de energia, os dois processos são fundamentalmente diferentes. A

acumulação de energia também é um *fenômeno volumétrico*, mas está associado, simplesmente, ao aumento  $(\dot{E}_{ac}>\theta)$ , ou à diminuição  $(\dot{E}_{ac}<\theta)$ , da energia da matéria que ocupa o volume de controle. Como é claro, nas condições de estado permanente, não haverá modificação na energia acumulada  $(\dot{E}_{ac}=\theta)$ .

#### Exemplo 1.3

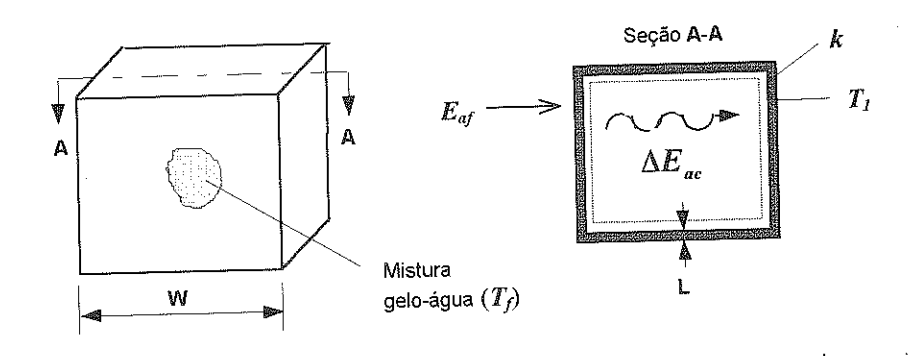
Um pedaço de gelo de massa M, na temperatura de fusão ( $T_f = 0^{\circ}C$ ) está dentro de uma cavidade cúbica de aresta W. A espessura das paredes da cavidade é L e a condutividade térmica k. No instante t=0, a superficie externa da parede fica na temperatura  $T_1 > T_f$ . Obter uma expressão para o intervalo de tempo necessário para fundir completamente o gelo.

#### Solução:

<u>Dados</u>: Massa e temperatura inicial do gelo. Dimensões, condutividade térmica e temperatura da superficie externa das paredes da cavidade.

Incógnita: Expressão do tempo necessária para fundir o gelo.

## Esquema:



#### Hipóteses:

- 1. A superficie interna da parede da cavidade é Tf durante todo o processo.
- 2. As propriedades são constantes.
- 3. A condução de calor é unidimensional através de cada parede.
- 4. A área de condução de cada parede é aproximadamente  $W^2$  (L << W).

Análise: Uma vez que queremos determinar o tempo necessário à fusão  $t_m$ , a primeira lei deve ser usada no intervalo de tempo  $\Delta t = t_m$ . Então, aplicando a equação (1.11b) ao volume de controle em torno da mistura de gelo-água, segue-se que:

$$E_{mf} = \Delta E_{mc}$$

Uma vez que a diferença de temperatura através da parede permanece igual a  $(T_I - T_f)$  durante o processo de fusão, a taxa de condução através da parede é uma constante dada por:

$$q_{cond} = k \cdot (6W^2) \frac{T_1 - T_f}{L}$$

e então a quantidade de energia afluente é:

$$E_{af} = \left[ k \cdot \left( 6W^2 \right) \frac{T_1 - T_f}{L} \right] \cdot t_m$$

O aumento da energia acumulada no interior do volume de controle se deve exclusivamente à variação da energia latente associada à conversão do sólido em líquido. A quantidade de energia necessária para efetuar esta modificação, por unidade de massa do sólido, é o calor latente de fusão  $h_{sf}$ . Assim, o aumento da energia acumulada é dado por:

$$\Delta E_{ac} = M \cdot h_{sf}$$

Fazendo-se as substituições na expressão da primeira lei, segue-se que:

$$t_m = \frac{M \cdot h_{sf} \cdot L}{6W^2 \cdot k \cdot (T_1 - T_f)}$$

#### Comentários:

Diversas complicações ocorreriam se o gelo estivesse inicialmente sub-resfriado. O termo da energia acumulada teria que incluir a variação na energia (interna térmica) sensível necessária para fazer o gelo passar do estado sub-resfriado até a temperatura de fusão. Durante este processo, instalar-se-iam gradientes de temperatura no gelo.

# 1.3.2 - Balanço de energia em superfícies

Existem muitas oportunidades para se aplicar a conservação de energia à superficie de um meio. Neste caso especial, a superficie de controle não inclui massa e nem tem volume, conforme aparece na Figura 1.8.

Por isso, as parcelas de geração e acumulação, na expressão de conservação de energia (equação 1.11a) não são relevantes, e basta considerar os fenômenos de superficie. Neste caso, a exigência da conservação fica:

$$\dot{E}_{af} - \dot{E}_{ef} = 0 \tag{1.12}$$

Mesmo que possa haver geração de energia térmica no meio, o processo não afeta o balanço de energia na superficie de controle. Além disso, as condições da conservação valem para as condições de estado permanente e de estado transiente.

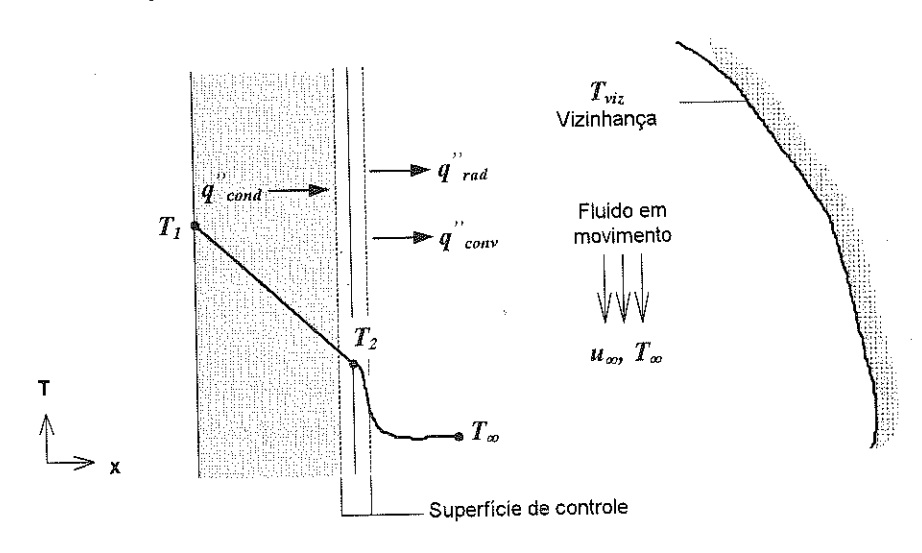


Figura 1.8 - Balanço de energia para se ter a conservação de energia na superfície de um meio.

Na Figura 1.8 aparecem três termos de transferência de calor na superficie de controle. Na base de uma área unitária, os termos são a condução do meio para a superficie de controle  $(q''_{cond})$ , a convecção da superficie para um fluido  $(q''_{conv})$  e a troca líquida de radiação entre a superficie e as vizinhanças  $(q''_{rad})$ . O balanço de energia assume então a forma:

$$q''_{cond} - q''_{conv} - q''_{rad} = 0$$
 (1.13)

e podemos exprimir cada um dos termos de acordo com a equação apropriada (equações 1.2, 1.3a e 1.7).

## Exemplo 1.4

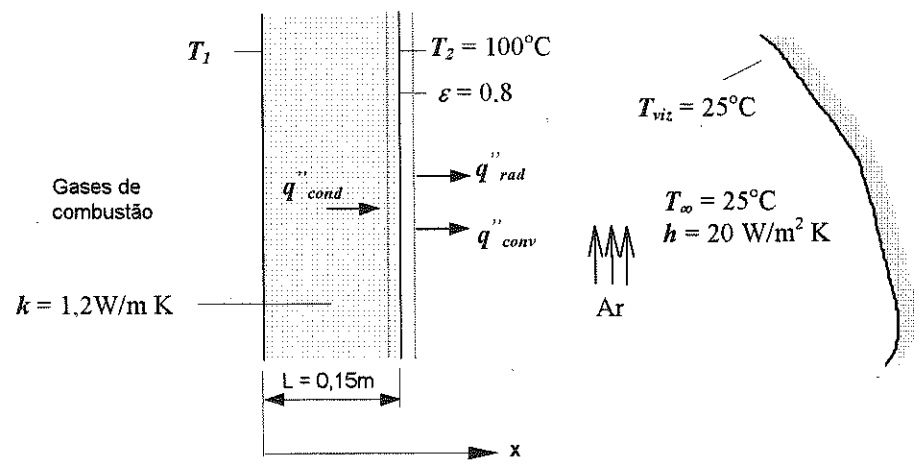
Os gases de combustão, numa fornalha, estão separados da atmosfera ambiente e das vizinhanças, ambas a 25°C, por uma parede de tijolo de 0,15m de espessura. O tijolo tem condutividade térmica de 1,2W/m·K e emissividade superficial de 0,8. Nas condições de regime permanente, a temperatura da superficie externa é 100°C. A transferência convectiva de calor para o ar adjacente a esta superficie é caracterizada por um coeficiente de convecção de 20W/m²-K. Qual é a temperatura da superficie interna do tijolo?

#### Solução:

<u>Dados</u>: A temperatura das paredes de uma fornalha, a espessura, a condutividade térmica e a emissividade da parede.

Incógnita: A temperatura da superficie interna da parede.

Esquema:



#### Hipóteses:

- 1. Condições de regime permanente.
- 2. Transferência de calor, unidimensional, por condução através da parede.
- 3. A troca radiativa entre a superficie externa da parede e as vizinhanças é uma troca entre uma pequena superficie e uma grande superficie que a envolve.

Análise: A temperatura da superficie interna pode ser obtida mediante um balanço de energia na superficie externa. Pela equação (1.12):

$$\dot{E}_{af} - \dot{E}_{ef} = 0$$

e segue-se então, com base na unidade de área,

$$q^{"cond} - q^{"conv} - q^{"rad} = 0$$

ou depois de reordenado e substituído a partir das equações (1.2), (1.3a) e (1.7):

$$k \cdot \frac{T_1 - T_2}{L} = h \cdot (T_2 - T_{\infty}) + \varepsilon \cdot \sigma \cdot (T_2^4 - T_{vic}^4)$$

Portanto, com a substituição dos valores numéricos apropriados, tem-se:

$$1,2\frac{(T_1-373)}{0,15}=20\cdot (373-298)+0,8\cdot (5,67\times 10^{-8})\cdot (373^4-298^4)$$

$$8T_1-2984=1500+520$$

Resolvendo,

$$T_1 = \frac{1500 + 520 + 2984}{8} = 625 K = 352°C$$

#### Comentários:

- 1. Observe que a contribuição da transferência radiativa de calor da superficie externa é significativa. A contribuição relativa diminuiria, no entanto, com o crescimento de h e/ou com a diminuição de  $T_2$ .
- 2. Quando se fazem balanços de energia que envolvem trocas radiativas e outros modos de transferência de calor, é uma boa prática exprimir todas as temperaturas na unidade Kelvin. Esta prática é necessária, já que a temperatura desconhecida aparece no termo da radiação e também em outros termos.

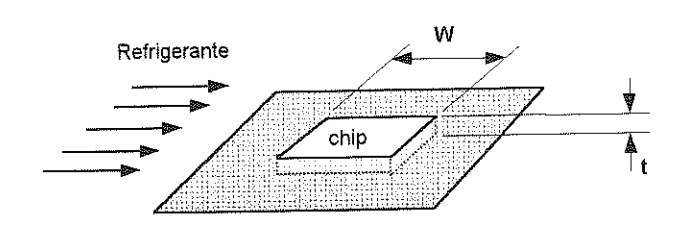
#### Referências

- [1]. Incropera, F. P.; Witt, D. P., Fundamentos da Transferência de Calor e Massa, Ed. Edgard Blücher, São Paulo, 1991.
- [2]. Van Wylen, G.; Sonntag, R.; Borgnakke, C., Fundamentos da Termodinâmica Clássica, Ed. Edgard Blücher, São Paulo, 1995.

## **Exercícios Propostos**

#### Condução

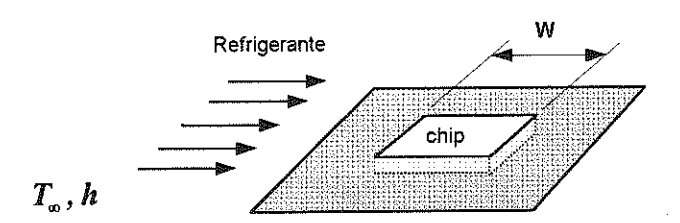
- 1.1 Através de uma seção de material isolante, com área de seção reta de 10m² e espessura de 2,5cm, passa um fluxo de calor de 3kW. A temperatura na superficie interna (quente) do material é 415°C e a condutividade térmica do material é 0.2W/m·K. Qual é a temperatura da superficie externa?
- 1.2 As temperaturas das faces interna e externa de uma janela de vidro, com espessura de 5mm, são 15°C e 5°C respectivamente. Qual a perda térmica através da janela de 1m por 3m? A condutividade térmica do vidro é 1.4W/m<sup>2</sup>K.
- 1.3 Um *chip* quadrado de silício (k = 150 W/m·K) tem aresta de 5mm e espessura 1mm. O *chip* está montado numa chapa que isola as suas faces laterais e traseira, mas expõe a face frontal a uma corrente de resfriamento.



Havendo uma dissipação de 4W nos circuitos montados na face traseira do chip, qual deve ser a diferença da temperatura, nas condições de estado permanente, entre a face frontal e a traseira?

## Convecção

- 1.4 O coeficiente de transferência convectiva de calor entre uma superficie a 40°C e o ar ambiente, a 20°C é 20W/m²·K. Calcular o fluxo de calor que sai da superficie por condução.
- 1.5 O ar a 300°C escoa sobre uma chapa plana de 50cm por 25cm. Se o coeficiente de transferência convectiva de calor for de 240W/m²·K, determinar a taxa de transferência de calor através de uma face da chapa quando a sua temperatura for mantida a 40°C.
- 1.6 Um chip isotérmico e quadrado, com aresta de 5 mm, está montado numa chapa que isola termicamente as faces laterais e a face traseira, enquanto a face frontal fica exposta a uma corrente de resfriamento a 15°C. A temperatura do chip, por exigências de segurança e confiabilidade, não pode ser maior que 85°C.



Se o resfriamento for constituído por uma corrente de ar, com o coeficiente de convecção de 200W/m²·K, qual é a potência máxima permissível no *chip*? Se o resfriamento for o de uma corrente de líquido, com coeficiente de transferência convectiva de calor de 3W/m²·K, qual é a potência máxima permissível?

#### Radiação

- 1.7 Uma esfera refrigerada a água, com diâmetro 10mm e emissividade 0,9 está mantida a 80°C dentro de um grande forno a vácuo cujas paredes se mantêm a 400°C. Qual a transferência líquida de calor entre as paredes do forno e a esfera?
- 1.8 Considere as condições do problema (1.6). Com transferência de calor por convecção para o ar, a potência máxima permissível no *chip* foi calculada como sendo de 0,35W. Qual será o crescimento percentual da potência máxima permissível no *chip* se também houver transferência de calor por radiação entre a superficie do *chip* e uma grande superficie envolvente a 15°C? A face exposta do chip tem emissividade 0,9.

# Capítulo 2 - Introdução à Condução de Calor

Relembrando, a *Condução* (transferência de calor por difusão) refere-se ao transporte de energia num meio provocado por um gradiente de temperatura, onde o movimento aleatório dos átomos ou moléculas é o mecanismo físico a ele intrínseco. Neste item analisar-se-á minuciosamente a equação da taxa de condução de calor e as relações da conservação de energia no processo de condução.

# 2.1 - A Equação da Taxa de Condução

Embora a equação da taxa de condução (difusão de energia) tenha sido introduzida no item 1.1, cabe-se analisar a sua origem. A Lei de Fourier é uma lei desenvolvida a partir de fenômenos observados e não fenômenos fundamentais. Por isso, vê-se a equação da taxa de condução como uma generalização baseada numa grande soma de evidências experimentais. Exemplificando, considere a condução em regime permanente na experiência esquematizada na Figura 2.1.

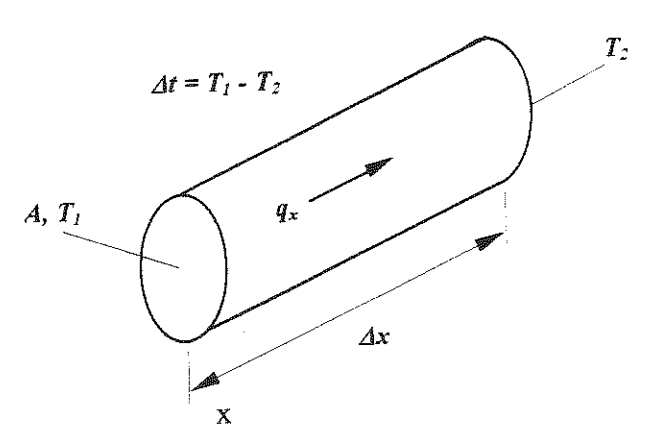


Figura 2.1 - Experiência de condução de calor em regime permanente.

Uma barra cilíndrica de material conhecido está isolada na superficie cilíndrica, enquanto as duas faces terminais são mantidas em temperaturas diferentes, com  $T_I > T_2$ . A diferença de temperatura provoca a transferência de calor por condução na direção do x positivo. A taxa de transferência de calor q pode ser determinada, e a partir dai, definir a relação entre a taxa  $q_x$  e as seguintes variáveis:  $\Delta T$  (diferença de temperatura),  $\Delta x$  (comprimento da barra) e A (área da seção transversal).

Inicialmente, imaginemos que  $\Delta T$  e  $\Delta x$  sejam constantes e A, variável. Desta forma, encontra-se que  $q_x$  é diretamente proporcional a A. Analogamente, mantendo-se  $\Delta T$  e A constantes, observa-se que  $q_x$  varia inversamente com  $\Delta x$ . Finalmente, mantendo-se A e  $\Delta x$  constantes, encontra-se que  $q_x$  é diretamente proporcional a  $\Delta T$ . Assim, temos que:

$$q_x \propto A \cdot \frac{\Delta T}{\Delta x}$$

Modificando o material (por exemplo, trocando-se um metal por um plástico), verifica-se que a proporcionalidade mencionada continua válida. No entanto, também se descobre que para os mesmos valores de A, de  $\Delta x$  e de  $\Delta T$ , o valor de  $q_x$  será menor no caso do plástico comparado ao metal. Isto sugere que a proporcionalidade pode ser convertida numa igualdade, mediante a introdução de um coeficiente definido como a medida do comportamento do material. Escreve-se, assim

$$q_x = -k \cdot A \cdot \frac{\Delta T}{\Delta x}$$

onde k, a condutividade térmica [W/m·K], é uma propriedade importante do material. Ao se efetuar o limite desta expressão quando  $\Delta x$  tende a zero, obtém-se para a taxa de calor transferido:

$$q_x = -k \cdot A \cdot \frac{dT}{dx} \tag{2.1}$$

ou para o fluxo de calor

$$q_x'' = \frac{q_x}{A} = -k \cdot \frac{dT}{dx} \tag{2.2}$$

Observa-se que o sinal negativo é necessário, já que o calor se transfere sempre na direção das temperaturas decrescentes, e k ser um parâmetro positivo.

A Lei de Fourier, escrita sob a forma da equação (2.2), mostra que o fluxo de calor é uma grandeza direcional. Em particular, a direção de  $q_x^n$  é normal à seção transversal de área A. Ou, na forma mais geral, a direção do fluxo térmico sempre será normal à uma superficie com temperatura constante, denominada superficie isotérmica. A Figura 2.2 ilustra a direção do fluxo de calor  $q_x^n$  num sistema de coordenadas unidimensional, quando o gradiente de temperaturas dT/dx é negativo.

Pela equação (2.2) segue-se que  $q_x''$  é positivo. Observe-se que as superficies isotérmicas são planos normais á direção x. Sabendo que o fluxo de calor é uma grandeza vetorial, podemos escrever uma formulação mais geral para a equação da taxa de condução (Lei de Fourier) da seguinte maneira:

$$q'' = -k \cdot \nabla T = -k \cdot \left( i \frac{\partial T}{\partial x} + j \frac{\partial T}{\partial y} + k \frac{\partial T}{\partial z} \right)$$
 (2.3)

onde  $\nabla$  é o operador tridimensional e T(x,y,z) é o campo escalar de temperaturas. Está implícito na equação (2.3) que o vetor fluxo térmico está na direção perpendicular às superficies isotérmicas.

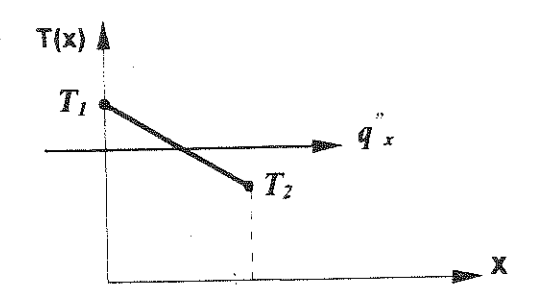


Figura 2.2 - A relação entre o sistema de coordenadas, a direção do fluxo térmico e o gradiente de temperatura num caso unidimensional.

Uma outra forma da Lei de Fourier é então:

$$q_x'' = -k \cdot \frac{\partial T}{\partial n} \tag{2.4}$$

onde  $q_x''$  é o fluxo térmico na direção normal a uma superficie isotérmica (isoterma), conforme mostra o caso bidimensional da Figura 2.3. Observa-se que a transferência de calor é sustentada por um gradiente de temperatura ao longo de n. Assim, o vetor do fluxo de calor pode ser resolvido em suas componentes (em coordenadas cartesianas), e a expressão geral de q" fica:

$$q'' = iq''_x + jq''_y + kq''_z (2.5)$$

enquanto, pela equação (2.3), vem:

$$q_x'' = -k \cdot \frac{\partial T}{\partial x}$$
  $q_y'' = -k \cdot \frac{\partial T}{\partial y}$   $q_z'' = -k \cdot \frac{\partial T}{\partial z}$  (2.6)

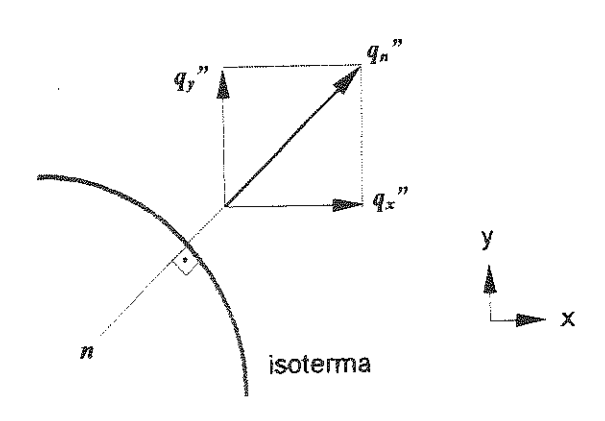


Figura 2.3 - O vetor do fluxo térmico, normal a uma isoterma, num sistema de coordenadas bidimensional.

Cada uma destas expressões relaciona o fluxo térmico ao gradiente de temperatura na direção perpendicular à superficie através da unidade de área de uma superficie Está também implícito na equação (2.3) que o meio no qual ocorre a condução é um meio

isotrópico, onde o valor da condutividade térmica independe da direção. Em virtude da Lei de Fourier ser a essência da transferência condutiva de calor, as suas características fundamentais resumem-se da seguinte forma:

- Não é uma expressão que possa ser deduzida de primeiros princípios; ao contrário, é uma generalização baseada na evidência experimental.
- É uma expressão que define uma propriedade material importante: a condutividade térmica.
- É uma expressão vetorial que indica a direção do fluxo térmico: normal à superficie isotérmica, no sentido das temperaturas decrescentes.
- Aplica-se a três estados da matéria: sólido, líquido e gases.

# 2.2 - As Propriedades Térmicas da Matéria

Para se usar a Lei de Fourier é necessário conhecer a condutividade térmica dos materiais. Esta, conhecida como propriedade de transporte, proporciona uma indicação sobre a taxa de transferência de energia através do processo de difusão. Tal propriedade depende da estrutura física da matéria (atômica e molecular) relacionada ao estado da matéria. Nesta seção analisam-se diversas formas da matéria, identificam-se os aspectos importantes do respectivo comportamento, e apresentam-se valores típicos de condutividade térmica.

#### 2.2.1 - Condutividade Térmica

Pela Lei de Fourier, equação (2.6), a condutividade térmica é definida por:

$$k = -\frac{q_x''}{\partial T/\partial x}$$

Para um gradiente de temperatura definido, o fluxo térmico de condução aumenta com a elevação da condutividade térmica. Relembrando o mecanismo físico associado à condução (item 1.1), segue-se que, em geral, a condutividade térmica de um sólido é maior que a de um líquido, que por sua vez, é maior que a de um gás. Conforme a ilustração da Figura 2.4, a condutividade térmica de um sólido pode ser mais de quatro vezes maior que a de um gás. Esta tendência se deve, em grande parte, às diferenças do espaçamento intermolecular nos dois estados.

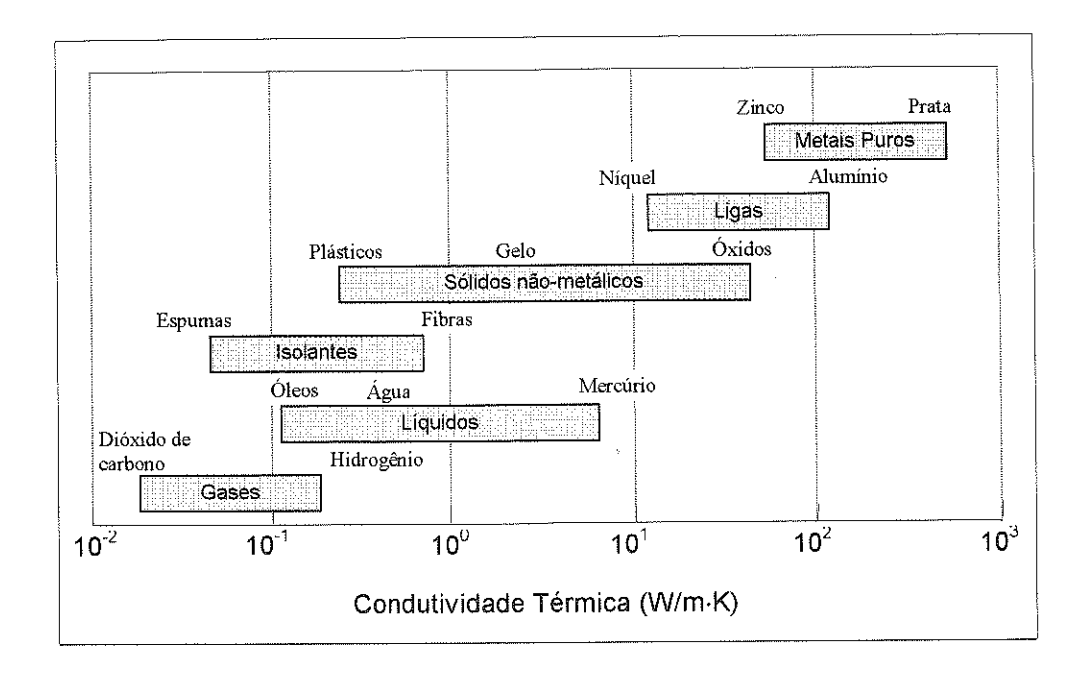


Figura 2.4 - Domínio das condutividades térmicas de diversos estados da matéria em temperaturas e pressões normais.

Pela concepção moderna de estrutura dos materiais, um sólido é constituído por elétrons livres e por átomos interligados numa disposição espacial periódica, denominada rede. Desta forma, o transporte de energia térmica se deve a dois efeitos: à migração dos elétrons livres, e às ondas vibracionais da rede. Estes efeitos são aditivos, de modo que a condutividade térmica k é a soma da componente eletrônica  $k_e$ , e da componente de rede  $k_l$  ( $k = k_r + k_l$ ). Numa primeira aproximação,  $k_e$  é inversamente proporcional à resistividade elétrica  $\rho_e$ . Nos metais puros, com  $\rho_e$  baixo, não é surpresa que  $k_e$  seja muito maior que  $k_l$ . Em contraste, nas ligas, que apresentam  $\rho_e$  bem maior, a contribuição de  $k_l$  para k não é desprezível. Nos sólidos não-metálicos, k é determinada principalmente por  $k_l$ , a qual depende da frequência de interações entre os átomos da rede. A regularidade da disposição espacial da rede tem efeito importante sobre  $k_l$ . Os materiais cristalinos (com rede bem ordenada) como o quartzo, apresentam k maior que os materiais amorfos como o vidro. Na realidade, nos sólidos não-metálicos, como o diamante e o óxido de berílio,  $k_l$  pode ser muito grande e exceder os valores de k associados a bons condutores como o alumínio.

A dependência entre k e a temperatura pode ser observada na Figura 2.5, no caso de sólidos metálicos e não-metálicos representativos.

Na Tabela A.1 (sólidos metálicos) e nas Tabelas A.2 e A.3 (sólidos não-metálicos) estão os valores de k de alguns materiais de importância técnica. A referência [1] apresenta um tratamento mais detalhado da condutividade térmica.

Os isolantes térmicos são constituídos por materiais de baixa condutividade térmica combinados, a fim de se obter condutividades térmicas baixas para os sistemas. Nos isolamentos térmicos constituídos por fibras, pós ou escamas, o material sólido está finamente disperso num espaço cheio de ar. Estes sistemas caracterizam-se por uma condutividade térmica efetiva que depende da condutividade térmica, das propriedades radiativas da superficie do material sólido, e da natureza e fração volumétrica do ar ou do espaço vazio. Um parâmetro especial do sistema é a densidade mássica (massa sólida/massa total), que depende muito de como o material sólido está ligado.

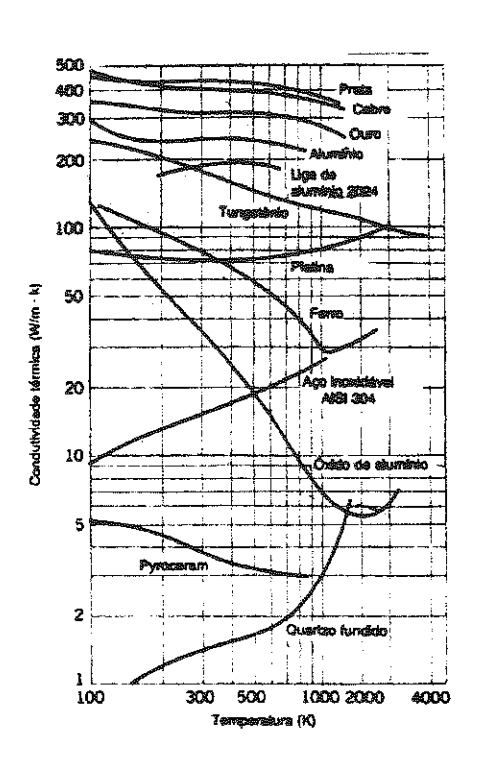


Figura 2.5 - Dependência entre a condutividade térmica de alguns sólidos e a temperatura.

Quando se formam pequenos espaços vazios, ou ocos, mediante a adesão ou a fusão de parte do material sólido, constitui-se uma matriz rígida. Quando estes espaços estão isolados uns dos outros, o sistema é denominado isolamento celular. Exemplos desses isolamentos rígidos são os sistemas de espumas, especialmente os constituídos por materiais plásticos ou vítreos. Os isolamentos reflexivos são compostos por multicamadas de folhas ou películas delgadas; as camadas têm elevada reflexividade e estão espaçadas para refletir o calor radiante de volta para a fonte emissora. O espaçamento entre as camadas é calculado a fim de restringir o movimento do ar entre elas e, nos isolamentos de alto desempenho, o espaço é evacuado. Em todos os tipos de isolamento, o evacuamento do ar nos espaços vazios reduz a condutividade térmica efetiva do sistema.

É importante reconhecer que a transferência de calor através de qualquer sistema de isolamento inclui diversos modos:

- a condução através de materiais sólidos;
- a condução ou a convecção através do ar nos espaços vazios;
- a troca radiativa entre as superficies da matriz sólida (se a temperatura for suficientemente elevada).

A condutividade térmica efetiva leva em consideração todos estes processos, e os valores de alguns sistemas isolantes escolhidos estão resumidos na Tabela A.3. Mais detalhes podem ser encontrados nas referências [2] e [3].

Uma vez que o espaçamento intermolecular é muito maior no estado fluido que no sólido, e que o movimento das moléculas é mais caótico no primeiro do que no segundo estado, o transporte de energia térmica no estado fluido é mais efetivo. Assim, a condutividade térmica dos gases e dos líquidos é, em geral, menor que a dos sólidos.

O efeito da temperatura, da pressão e da natureza química sobre a condutividade de um gás pode ser explicado de acordo com a *Teoria Cinética dos Gases* [4]. Por esta teoria, sabe-se que a condutividade térmica é diretamente proporcional ao número de partículas por unidade de volume n, à velocidade molecular média  $\bar{c}$ , e ao percurso livre médio  $\lambda$  (distância que em média é percorrida por uma molécula entre duas colisões sucessivas). Então:

$$k \propto n \cdot \overline{c} \cdot \lambda$$

Uma vez que  $\bar{c}$  aumenta com a elevação da temperatura e com a diminuição da massa molecular, a condutividade de um gás aumenta com o aumento de  $\bar{c}$ . Esta tendências aparecem na Figura 2.6.

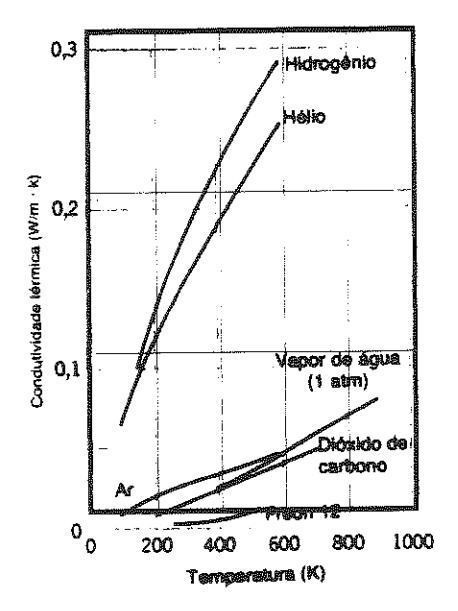


Figura 2.6 - Dependência entre a condutividade térmica de alguns gases nas pressões normais, e a temperatura.

Uma vez que n e  $\lambda$  são respectivamente proporcionais direta e indiretamente a pressão do gás, a condutividade térmica é independente da pressão. Esta hipótese e apropriada para as pressões de gás que serão tratadas neste texto. Assim, embora os valores de k da Tabela A.4 se refiram a gases na pressão atmosférica, ou na pressão de saturação correspondente à temperatura mencionada, é possível utilizá-los sobre um dominio muito mais amplo.

As condições moleculares associadas ao estado líquido são mais dificeis de descrever e os mecanismos físicos para a explicação da condutividade térmica não são bem entendidos [5]. Conforme mostra a Figura 2.7, a condutividade térmica dos líquidos não-metálicos em geral diminui com a elevação da temperatura, e as exceções notáveis são as da glicerina e da água

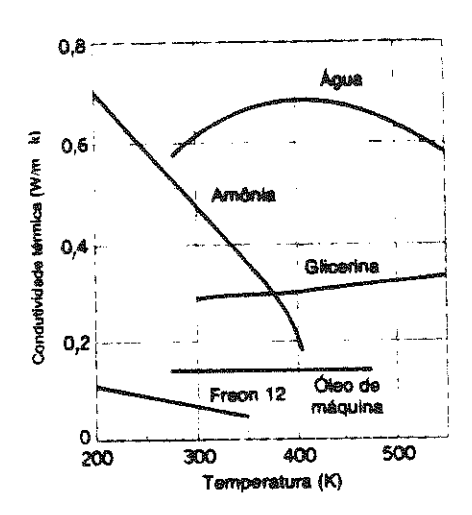


Figura 2.7 - Dependência entre a condutividade térmica de alguns líquidos não-metálicos. em condições saturadas, e a temperatura.

Esta propriedade é insensível à pressão, exceto nas vizinhanças do ponto crítico Como regra geral, pode-se afirmar que a condutividade térmica diminui com a elevação da massa molecular. Os valores da condutividade térmica são em geral tabelados em função da temperatura do líquido no estado saturado. As Tabelas A.5 e A.6 apresentam estes dados para diversos líquidos comuns.

Os metais líquidos são comumente usados em aplicações que exigem fluxos térmicos elevados, como as feitas nas usinas nucleares de potência. A condutividade térmica desses líquidos está na Tabela A.7. Observa-se que os valores são muito mais elevados que os dos sólidos não-metálicos [6].

### 2.2.2 - Outras Propriedades Relevantes

Na análise de transferência de calor será necessário utilizar muitas propriedades dos materiais. Estas são, em geral, denominadas propriedades termofisicas e incluem duas categorias distintas: as propriedades de transporte e as termodinâmicas. As de transporte incluem os coeficientes de taxas de difusão, como a condutividade térmica (k), no caso de transferência de calor e a viscosidade cinemática ( $\nu$ ), no caso de transporte de momento. Por outro lado, as propriedades termodinâmicas referem-se a estados de equilíbrio do sistema, como por exemplo a densidade ( $\rho$ ) e o calor específico ( $c_p$ ). Tais propriedades são aplicadas extensivamente na análise termodinâmica. O produto  $\rho \cdot c_p$  [J/m³·K], denominado capacidade calorífica volumar, mede a aptidão do material em armazenar energia térmica. Tendo em vista que as substâncias com densidades elevadas possuem geralmente calores específicos pequenos, muitos sólidos e líquidos (meios ótimos para armazenar energia) apresentam capacidades caloríficas comparáveis ( $\rho \cdot c_p > 1 \text{MJ/m}^3 \cdot \text{K}$ ). No entanto, pelas densidades serem muito pequenas, os gases são pouco apropriados para armazenar energia térmica ( $\rho \cdot c_p \approx 1 \text{kJ/m}^3 \cdot \text{K}$ ). As densidades e os calores específicos de muitos sólidos, líquidos e gases aparecem no Apêndice A.

Na análise da transferência de calor, a razão entre a condutividade térmica e a capacidade calorífica é uma propriedade importante denominada difusividade térmica  $\alpha$  [m<sup>2</sup>/s]:

$$\alpha = \frac{k}{\rho \cdot c_p}$$

Esta propriedade mede a relação entre as capacidades do material conduzir e armazenar energia térmica. Os materiais com  $\alpha$  grande respondem rapidamente às variações do ambiente térmico, enquanto aqueles com  $\alpha$  pequeno respondem mais lentamente e levam mais tempo para atingir novas condições de equilíbrio.

A precisão nos cálculos de engenharia depende da exatidão com que as propriedades termofisicas são conhecidas [7-9]. Numerosos exemplos de falhas nos projetos de equipamentos e processos, ou de fracassos no atendimento de especificações de desempenho podem ser citados, devido às informações de má qualidade associadas à escolha dos valores das propriedades mais importantes, usados na análise inicial dos sistemas. A escolha de dados confiáveis das propriedades é uma parcela integral de qualquer análise cuidadosa de engenharia. Deve-se evitar o uso descuidado da literatura ou de manuais que não tenham sido bem caracterizados e avaliados. Na referência [10] podem ser obtidos valores recomendados de muitas propriedades termofisicas. Essa referência, possivelmente presente na maior parte das bibliotecas institucionais, foi preparada pelo Centro de Pesquisas de Propriedades Termofisicas (TPRC) da Universidade de Purdue.

Existe uma certa continuidade no programa de publicações com o intuito de se estabelecer uma cobertura atualizada e ampla das propriedades termofisicas [11].

#### Exemplo 2.1

A difusividade térmica  $\alpha$  é a propriedade de transporte que controla a condução transiente. Calcular  $\alpha$  para os seguintes materiais, nas temperaturas mencionadas, mediante os valores apropriados de k, de  $\rho$  e de  $c_p$  do Apêndice A

- a) aluminio puro a 300K.
- b) alumínio puro a 700K.
- c) carbeto de silício a 1000K,
- d) parafina a 300K.

#### Solução:

Dados: Definição da difusividade térmica α

Incógnitas: Os valores de a de alguns materiais em certas temperaturas.

#### Propriedades:

(a) Tabela A.1, alumínio puro (300K):

$$\rho = 2702 \text{ kg/m}^3$$
  
 $c_p = 903 \text{ J/kg/K}$   
 $k = 237 \text{ W/m/K}$ 

$$\alpha = \frac{k}{\rho \cdot c_p} = \frac{237}{2702 \times 903} = 97,1 \times 10^{-6} \text{ m}^2/\text{s}$$

(b) Tabela A.1, alumínio puro (700K):

$$\rho = 2702 \text{ kg/m}^3$$
 a 300K  
 $c_p = 1090 \text{ J/kg/K}$  a 700K (por interpolação linear)  
 $k = 225 \text{ W/m/K}$  a 700K (por interpolação linear)

$$\alpha = \frac{k}{\rho \cdot c_p} = \frac{225}{2702 \times 1090} = 76.0 \times 10^{-6} \ m^2/s$$

(c) Tabela A.2, carbeto de silício (1000K):

$$\rho = 3160 \text{ kg/m}^3$$
 a 300K  
 $c_p = 1195 \text{ J/kg/K}$  a 1000K  
 $k = 87 \text{ W/m/K}$  a 1000K

$$\alpha = \frac{k}{\rho \cdot c_p} = \frac{87}{3160 \times 1195} = 23.0 \times 10^{-6} \ m^2/s$$

(d) Tabela A.3, parafina (300K):

$$\rho = 900 \text{ kg/m}^3$$
 $c_p = 2890 \text{ J/kg/K}$ 
 $k = 0.020 \text{ W/m/K}$ 

$$\alpha = \frac{k}{\rho \cdot c_p} = \frac{0.020}{900 \times 2890} = 7.7 \times 10^{-9} \, m^2 / s$$

#### Comentários:

- Observe a dependência das propriedades termofisicas do alumínio e do carbeto de silício frente às temperaturas mencionadas. Por exemplo, no caso do carbeto de silício, α(1000K) ≈ 0,1 α(300K); por isso, as propriedades deste material dependem fortemente da temperatura.
- 2. A interpretação física de  $\alpha$  visa proporcionar uma medida de relação entre o transporte de calor (k) e a acumulação de energia  $(\rho \cdot c_p)$ . Em geral, os sólidos metálicos têm um valor de  $\alpha$  mais elevado, enquanto os sólidos não-metálicos (a parafina por exemplo) têm valores mais baixos de  $\alpha$ .
- 3. A interpolação linear dos valores das propriedades é, em geral, aceitável nos cálculos de engenharia.
- 4. O uso da densidade em temperaturas baixas (300K) em lugar das mais elevadas ignora os efeitos da expansão térmica, também aceitável nos cálculos de engenharia.

# 2.3 - A Equação da Difusão do Calor

O objetivo mais importante na análise de condução de calor é determinar o campo de temperaturas num meio, resultante das condições impostas às suas fronteiras, ou seja, deseja-se saber a distribuição de temperaturas que represente a variação desta no meio. Uma vez conhecida, o fluxo de calor em qualquer ponto do meio (ou na sua superficie) pode ser calculado pela Lei de Fourier. Podem ainda ser obtidas outras grandezas importantes a um sólido, além do conhecimento sobre a distribuição de temperaturas, o qual pode ser usado para julgamento da integridade estrutural através da determinação das tensões, das expansões e das deflexões térmicas. A distribuição de temperaturas também pode ser usada para se otimizar a espessura de um material isolante ou para determinar a compatibilidade entre este material e revestimentos ou adesivos especiais.

Analisar-se-á agora a maneira pela qual se pode determinar a distribuição de temperaturas. A abordagem parte da aplicação das exigências da conservação da energia, ou seja:

- define-se um volume de controle infinitesimal;
- identificam-se os processos de transferência de energia relevantes;
- introduzem-se as equações de taxa de transferência apropriadas.

O resultado é uma equação diferencial cuja solução, nas condições de contorno fornecidas, representa a distribuição de temperaturas no meio.

Considere um meio homogêneo no qual existam gradientes de temperatura, e a distribuição de temperaturas T(x,y,z) seja expressada em coordenadas cartesianas. De acordo com a metodologia de aplicação da conservação de energia, define-se inicialmente um volume de controle diferencial infinitesimalmente pequeno (dx, dy, dz) conforme mostra a Figura 2.8:

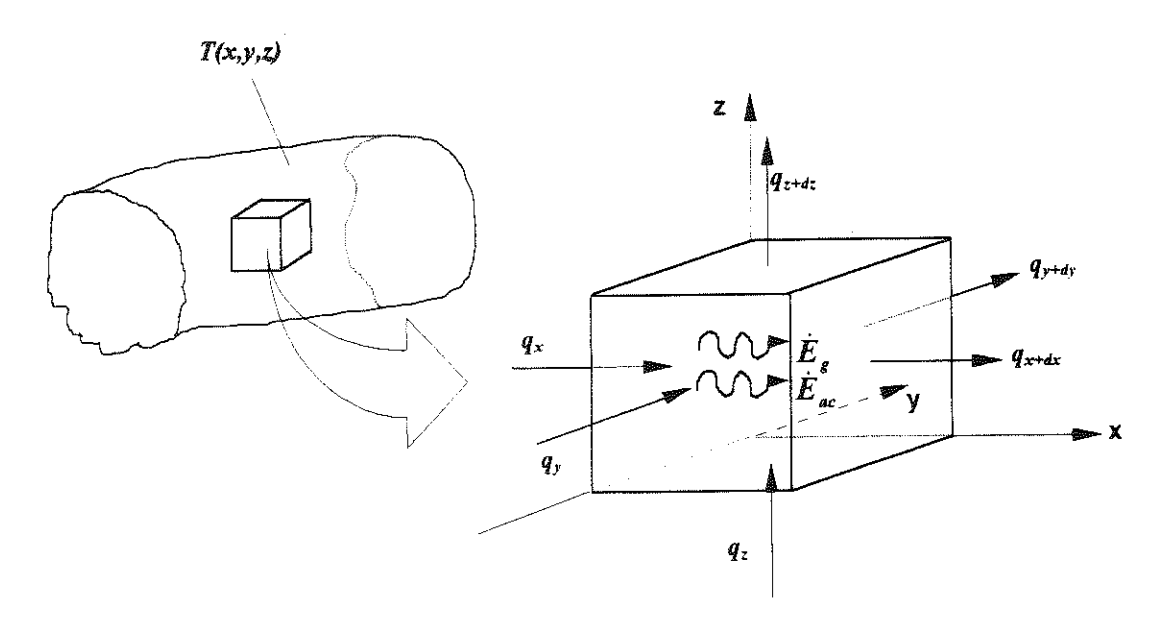


Figura 2.8 - Volume de controle infinitesimal, dx, dy, dz para análise da condução de calor em coordenadas cartesianas.

Em seguida, considere os processos de energia que são relevantes neste volume de controle. Uma vez que existam gradientes de temperatura, haverá transferência de calor através de cada uma das superficies de controle. As taxas de condução de calor, perpendiculares a cada superficie, são simbolizadas pelos termos  $q_x$ ,  $q_y$  e  $q_z$  em relação ao sistema de coordenadas x, y e z respectivamente. Tais taxas podem, desta forma, ser expressas em cada superficie oposta numa expansão em série de Taylor, desprezando-se os termos de ordem superior. Assim, temos que:

$$q_{x+dx} = q_x + \frac{\partial q_x}{\partial x} dx \tag{2.7a}$$

$$q_{y+4y} = q_y + \frac{\partial q_y}{\partial y} dy \tag{2.7b}$$

$$q_{z+dz} = q_z + \frac{\partial q_z}{\partial z} dz \tag{2.7c}$$

A equação (2.7) simplesmente mostra que a componente x da taxa de transferência de calor no ponto x + dx é igual ao valor da componente em x mais o produto da variação da taxa em relação a x por dx. Dentro do meio pode haver também uma fonte de energia que proporciona um termo associado à taxa de geração de energia térmica. Este termo é representado por:

$$\dot{E}_{g} = \dot{q} dx dy dz \tag{2.8}$$

onde  $\dot{q}$  é a taxa de geração de energia por unidade de volume do meio [W/m³]. Pode também ocorrer modificação na quantidade de energia térmica acumulada pelo material no volume de controle. Com base numa taxa de geração, pode-se exprimir este termo de acumulação de energia como:

$$\dot{E}_{ac} = \rho c_{p} \frac{\partial T}{\partial t} dx dy dz \tag{2.9}$$

onde  $\rho c_p \frac{\partial T}{\partial t}$  é a taxa de variação, com o tempo, da energia (térmica) interna do meio, por unidade de volume. Mais uma vez é importante observar que os termos  $\dot{E}_g$  e  $\dot{E}_{sc}$  representam processos físicos diferentes.

O sinal do termo de geração de energia que envolve, por um lado, energia térmica e, por outro, energia química, elétrica ou nuclear: será positivo caso houver geração de energia térmica no material à custa de uma outra forma de energia (há uma fonte); será negativo caso a energia térmica estiver sendo consumida (haverá um sorvedouro). Em contraste com isto, o termo de acumulação de energia  $\dot{E}_{ac}$  refere-se à taxa de variação da energia interna acumulada no material.

A última etapa da metodologia é a de exprimir a conservação da energia com as equações anteriores das taxas de geração. Na base das taxas, a forma geral da conservação da energia é:

$$\dot{E}_{af} + \dot{E}_{g} - \dot{E}_{ef} = \dot{E}_{ac}$$

Então, reconhecendo que as taxas de condução constituem uma entrada (afluxo) de energia  $\dot{E}_{gf}$ , e uma saída (efluxo) de energia  $\dot{E}_{gf}$  e fazendo as substituições com as equações (2.8) e (2.9), obtém-se:

$$q_x + q_y + q_z + q \frac{\partial x}{\partial y} \frac{\partial y}{\partial z} - q_{x+dx} - q_{y+dy} - q_{z+dx} = \rho c_y \frac{\partial T}{\partial t} \frac{\partial x}{\partial y} \frac{\partial x}{\partial z}$$
 (2.10)

Fazendo a substituição das equações (2.7) tem-se:

$$-\frac{\partial q_x}{\partial x}dx - \frac{\partial q_y}{\partial y}dy - \frac{\partial q_z}{\partial z}dz + \dot{q}dxdydz = \rho c_y \frac{\partial T}{\partial t}dxdydz$$
 (2.11)

As taxas de condução de calor podem ser dadas pela Lei de Fourier:

$$q_x = -k dy dz \frac{\partial T}{\partial x} \tag{2.12a}$$

$$q_{y} = -kdxdz \frac{\partial T}{\partial v} \tag{2.12b}$$

$$q_z = -k dx dy \frac{\partial T}{\partial z}$$
 (2.12c)

onde cada componente do fluxo de calor da equação (2.6) foi multiplicada pela área da superficie infinitesimal de controle, a fim de se obter a taxa de transferência de calor. Levando-se as equações (2.12) na equação (2.11) e dividindo-se pelas dimensões do volume de controle (dx, dy, dz), obtém-se:

$$\frac{\partial}{\partial x} \left( k \frac{\partial T}{\partial x} \right) + \frac{\partial}{\partial y} \left( k \frac{\partial T}{\partial y} \right) + \frac{\partial}{\partial z} \left( k \frac{\partial T}{\partial z} \right) + \dot{q} = \rho c_p \frac{\partial T}{\partial t}$$
(2.13)

A equação (2.13) é a forma geral da equação da difusão do calor em coordenadas cartesianas. Esta é conhecida também como a equação da condução de calor, a qual constitui o instrumento teórico básico para análise da condução do calor. A partir da sua solução pode-se obter a distribuição de temperatura T(x,y,z) em função do tempo. A complexidade aparente desta expressão não deve encobrir o fato dela descrever uma condição física importante: a conservação da energia. Deve-se ter um entendimento claro do significado físico de cada parcela que aparece na equação. Por exemplo, o termo  $\frac{\partial}{\partial x} \left( k \frac{\partial T}{\partial x} \right)$  está relacionado ao fluxo líquido de condução de calor para dentro do volume

$$\frac{\partial}{\partial x} \left( k \frac{\partial T}{\partial x} \right) dx = q_x'' - q_{x+dx}''$$
(2.14)

de controle, na direção da coordenada x (isto é, multiplicado por dx):

Expressões semelhantes valem para os fluxos nas direções y e z. A equação da condução de calor (equação 2.13) nos mostra que em qualquer ponto de um meio, a taxa líquida de condução de calor para um volume de controle unitário, mais a taxa volumétrica de geração de energia térmica, é igual à taxa de variação de energia térmica acumulada dentro do volume. Muitas vezes é possível operar com versões simplificadas da equação (2.13).

Por exemplo, se a condutividade térmica for constante, a equação da condução do calor torna-se:

$$\frac{\partial^2 T}{\partial x^2} + \frac{\partial^2 T}{\partial y^2} + \frac{\partial^2 T}{\partial z^2} + \frac{\dot{q}}{k} = \frac{1}{\alpha} \frac{\partial T}{\partial t}$$
 (2.15)

onde  $\alpha = k/\rho c_p$  é a difusividade térmica. Outras simplificações da forma geral também são possíveis. Por exemplo, sob condições de regime permanente, não pode haver variação na quantidade de energia acumulada. Então, a equação (2.13) se reduz a:

$$\frac{\partial}{\partial x} \left( k \frac{\partial T}{\partial x} \right) + \frac{\partial}{\partial y} \left( k \frac{\partial T}{\partial y} \right) + \frac{\partial}{\partial z} \left( k \frac{\partial T}{\partial z} \right) + \dot{q} = 0$$
 (2.16)

Além disso, se a transferência de calor for unidimensional (por exemplo, na direção x) e se não houver geração de energia, a equação (2.16) se reduz a:

$$\frac{d}{dx}\left(k\frac{dT}{dx}\right) = 0 \tag{2.17}$$

A importante dedução deste resultado é que, em uma transferência sem geração de energia sob regime permanente, o fluxo de calor é uma constante na direção da transferência  $(dq^{''}/dx = 0)$ . A equação da condução do calor pode também ser expressa em coordenadas cilíndricas ou esféricas. Os volumes de controle infinitesimais nesses dois sistemas de coordenadas aparecem nas Figuras 2.9 e 2.10 respectivamente.

 Coordenadas Cilíndricas: Quando o operador ∇ da equação (2.3) for expresso em coordenadas cilíndricas, a forma do vetor do fluxo de calor fica:

$$q'' = -k\nabla T = -k\left(i\frac{\partial T}{\partial r} + j\frac{1}{r}\frac{\partial T}{\partial \phi} + k\frac{\partial T}{\partial z}\right)$$
 (2.18)

onde

$$q_r'' = -k \frac{\partial T}{\partial r}$$
  $q_{\phi}'' = -\frac{k}{r} \frac{\partial T}{\partial \phi}$   $q_z'' = -k \frac{\partial T}{\partial z}$  (2.19)

são as componentes do fluxo de calor nas direções radial, circunferencial e axial, respectivamente. Aplicando um balanço de energia ao volume de controle infinitesimal da Figura 2.8, chega-se à seguinte forma geral da equação do calor:

$$\frac{1}{r}\frac{\partial}{\partial r}\left(kr\frac{\partial T}{\partial r}\right) + \frac{1}{r^2}\frac{\partial}{\partial \phi}\left(k\frac{\partial T}{\partial \phi}\right) + \frac{\partial}{\partial z}\left(k\frac{\partial T}{\partial z}\right) + \dot{q} = \rho c_p \frac{\partial T}{\partial t}$$
(2.20)

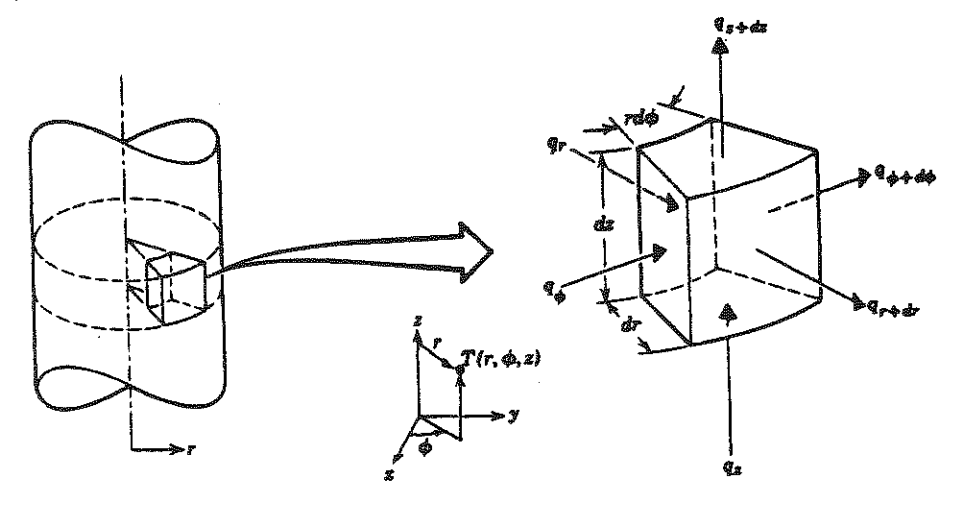


Figura 2.9 - Volume de controle infinitesimal, dr, rd\$, dz para a análise da condução de calor em coordenadas cilíndricas.

• <u>Coordenadas Esféricas</u>: Em coordenadas esféricas, a forma geral do vetor do fluxo de calor e da Lei de Fourier é:

$$q'' = -k\nabla T = -k\left(i\frac{\partial T}{\partial r} + j\frac{1}{r}\frac{\partial T}{\partial \theta} + k\frac{1}{r \operatorname{sen}\theta}\frac{\partial T}{\partial \phi}\right)$$
(2.21)

onde

$$q_r'' = -k \frac{\partial T}{\partial r} \qquad q_{\theta}'' = -\frac{k}{r} \frac{\partial T}{\partial \theta} \qquad q_{\phi}'' = -\frac{k}{r \operatorname{sen} \theta} \frac{\partial T}{\partial \phi}$$
 (2.22)

são as componentes do fluxo de calor nas direções radial, polar e azimutal, respectivamente. Fazendo-se um balanço de energia no volume de controle infinitesimal da Figura 2.10, consegue-se a seguinte forma para a equação da condução de calor:

$$\frac{1}{r^{2}} \frac{\partial}{\partial r} \left( k r^{2} \frac{\partial T}{\partial r} \right) + \frac{1}{r^{2}} \frac{\partial}{\operatorname{sen}^{2} \theta} \frac{\partial}{\partial \phi} \left( k \frac{\partial T}{\partial \phi} \right) + \frac{1}{r^{2}} \frac{\partial}{\operatorname{sen} \theta} \frac{\partial}{\partial \theta} \left( k \operatorname{sen} \theta \frac{\partial T}{\partial \theta} \right) + \dot{q} =$$

$$= \rho \cdot c_{p} \frac{\partial T}{\partial t} \tag{2.23}$$

Observe que o gradiente de temperatura na Lei de Fourier deve ter as unidades K/m. Então, ao se estimar o gradiente para uma coordenada angular, ele deverá ser expresso em termos de uma variação de comprimento de arco. Por exemplo, a componente do fluxo de calor na direção circunferencial de um sistema de coordenadas cilíndricas é

$$q''_{\phi} = -\left(\frac{k}{r}\right)\left(\frac{\partial T}{\partial \phi}\right)$$
 e não  $q''_{\phi} = -k\cdot\left(\frac{\partial T}{\partial \phi}\right)$ 

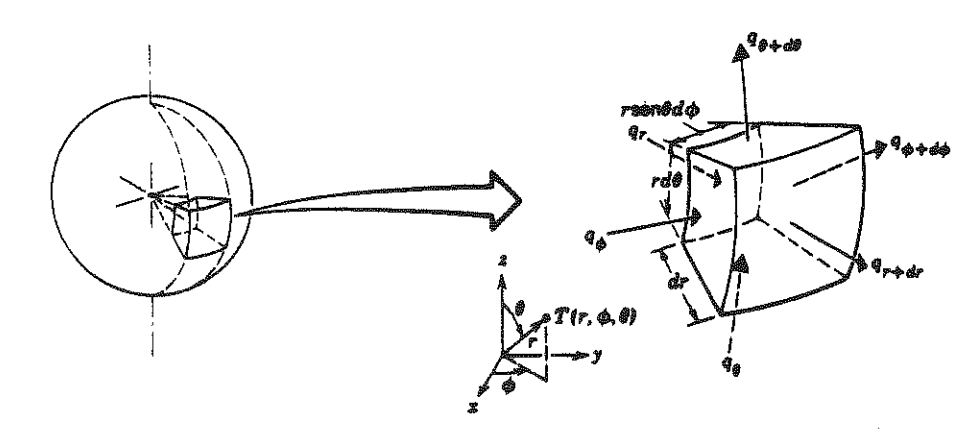


Figura 2.10 - Volume de controle infinitesimal, dr,  $rsen\theta d\phi$ ,  $rd\theta$  para a análise da condução de calor em coordenadas esféricas  $(r, \phi, \theta)$ .

## Exemplo 2.2

A distribuição de temperatura numa parede de 1 m de espessura, num certo instante, é dada por  $T(x) = a + bx + cx^2$ ,  $(T [^{\circ}C], x [m])$  com  $a = 900^{\circ}C$ ,  $b = -300^{\circ}C/m$  e  $c = -50^{\circ}C/m^2$ . Uma geração de calor uniforme  $\dot{q} = 1000 \, W/m^3$  atua na parede, numa área  $A = 10m^2$ . As propriedades da parede são  $\rho = 1600 \, \text{kg/m}^3$ ,  $k = 40 \, \text{W/m} \cdot \text{K}$  e  $c_p = 4 \, \text{kJ/kg/K}$ . Determine:

- a) a taxa de transferência de calor afluente (x = 0) e efluente da parede (x = 1 m).
- b) a taxa de variação da energia acumulada na parede.
- c) a variação da temperatura com o tempo em x = 0, 25 e 50cm.

#### Solução:

<u>Dados</u>: Distribuição de temperatura T(x) num instante t, numa parede unidimensional com geração uniforme de calor.

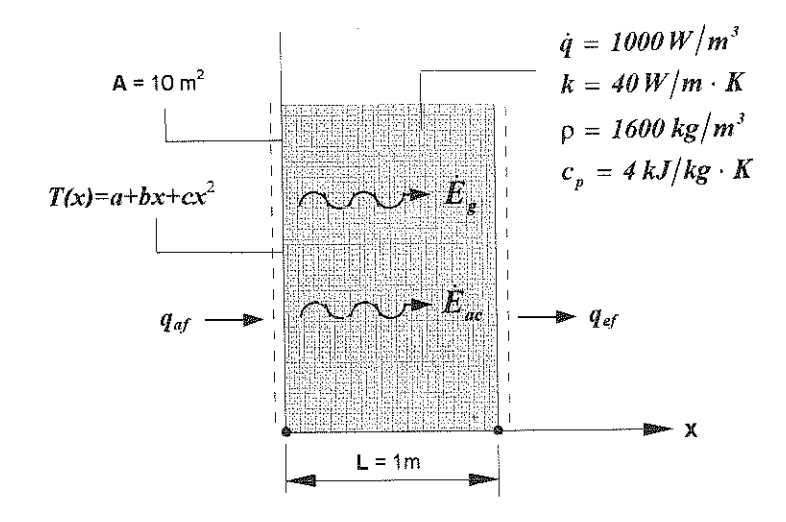
#### Incógnitas:

- 1. As taxas de calor afluente,  $q_{ef}(x = 0)$  e efluente  $q_{ef}(x = 1)$ , na parede
- 2. A taxa de variação da energia acumulada na parede,  $\dot{E}_{ac}$
- 3. A variação da temperatura com o tempo em x = 0, 25 e 50cm.

#### Hipóteses:

- 1. Condução de calor unidimensional na direção x.
- 2. Meio homogêneo com propriedades constantes.
- 3. Geração de calor interna e homogênea,  $\dot{q}(W/m^3)$ .

Esquema:



# <u>Análise</u>:

1. Se a distribuição de temperatura for conhecida num meio, é possível determinar a taxa de transferência de calor em qualquer ponto do meio, ou nas suas superficies, mediante a Lei de Fourier. Dessa forma, as taxas desejadas devem ser determinadas mediante a distribuição de temperatura dada e da equação (2.1). Assim,

$$q_{af} = q_x(\theta) = -kA \frac{\partial T}{\partial x}\Big|_{x=\theta} = -k \cdot A \cdot (b + 2cx)_{x=\theta}$$
  

$$\therefore q_{af} = -b \cdot k \cdot A = 300 \times 40 \times 10 = 120kW$$

Analogamente,

$$q_{ef} = q_x(L) = -kA \frac{\partial T}{\partial x}\Big|_{x=L} = -kA(b + 2cx)_{x=L}$$
  

$$\therefore q_{ef} = -k \cdot A \cdot (b + 2cL) = -40 \times 10 \times [300 + 2(-50) \times 1] = 160kW$$

2. A taxa de variação da energia acumulada na parede ( $\dot{E}_{ac}$ ) pode ser determinada mediante um balanço global de energia na parede. Aplicando a equação (1.11) a um volume de controle em torno da parede:  $\dot{E}_{af} + \dot{E}_{g} - \dot{E}_{ef} = \dot{E}_{ac}$  onde  $\dot{E}_{g} = \dot{q} \cdot A \cdot L$ . Então:

$$\dot{E}_{ac} = \dot{E}_{af} - \dot{E}_{ef} + \dot{E}_{g} = q_{af} - q_{ef} + \dot{q} \cdot A \cdot L$$

$$\therefore \dot{E}_{ac} = 120 - 160 + (1000 \times 10 \times 1) = -30kW$$

3. A variação da temperatura com o tempo, em qualquer ponto do meio, pode ser determinada pela equação da condução do calor (equação 2.15), reescrita na forma:

$$\frac{\partial T}{\partial t} = \frac{k}{\rho c_n} \frac{\partial^2 T}{\partial x^2} + \frac{\dot{q}}{\rho c_n}$$

Com distribuição de temperatura dada, segue-se que

$$\frac{\partial^2 T}{\partial x^2} = \frac{\partial}{\partial x} \left( \frac{\partial T}{\partial x} \right) = \frac{\partial}{\partial x} (b + 2cx) = 2c = 2(-50) = -100^{\circ} C/m^2$$

Observe que esta derivada independe da posição no meio. Então, a variação da temperatura com o tempo é também independente da posição e dada por

$$\frac{\partial T}{\partial t} = \frac{40}{1600 \times 4} \left(-100\right) + \frac{1000}{1600 \times 4} = -6.25 \times 10^{-4} + 1.56 \times 10^{-4} = -4.69 \times 10^{-4} \, {}^{\circ}C/s$$

#### Comentários:

- 1. Pelo resultado anterior, é evidente que a temperatura, em qualquer ponto interno da parede, diminui com o tempo.
- A Lei de Fourier pode ser sempre usada no cálculo da taxa de condução a partir de uma distribuição de temperatura conhecida, mesmo no caso de regimes transientes com geração interna de calor

#### Referências

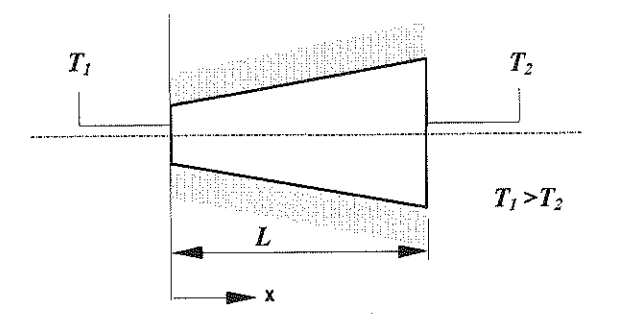
- [1]. Klemens, P. G., "Theory of the Thermal Conductivity of Solids," in R. P. Tye, Ed., Thermal Conductivity, Vol. 1, Academic Press, London, 1969.
- [2]. Mallory, John F., Thermal Insulation, Reinhold Book Corp., New York, 1969
- [3]. American Society of Heating, Refrigeration and Air Conditioning Engineers, *Handbook of Fundamentals*, Chapters 17 and 31, ASHRAE, New York, 1972.
- [4]. Vincenti, W. G., and C. H. Kruger, Jr., Introduction to Physical Gas Dynamics, Wiley, New York, 1965.
- [5]. McLaughlin, E., "Theory of the Thermal Conductivity of Fluids," in R. P. Tye, Ed., Thermal Conductivity, Vol. 2, Academic Press, London, 1969.
- [6]. Foust, O. J., Ed., "Sodium Chemistry and Physical Properties," in *Sodium-Nak Engineering Handbook*, Vol. 1, Gordon & Breach, New York, 1972.
- [7]. Sengers, J. V., and M. Klein, Eds., "The Technical Importance of Accurante Thermophysical Property Information," National Bureau of Standards Technical Note No. 590, 1980.
- [8]. Najjar, M. S., K. J. Bell, and R. N. Marddox, Heat Transfer Eng., 2, 27, 1981.

- [9]. Hanley, H. J. M., and M. E. Baltatu, Mech. Eng., 105, 68, 1983.
- [10]. Touloukian, Y. S., and C. Y. Ho, Eds., *Thermophysical Properties of Matter, The TPRC Data Series* (13 volumes de propriedades termofisicas: condutividade térmica, calor esperficico, radiatividade térmica, difusividade térmica e expansão térmica linear), Plenum Press, New York, 1970 through 1977.
- [11]. Center for Information and Numeriacal Data Analysis and Synthesis (CIDAS), Purdue University, 2595 Yeager Road, West Lafayette, IN \$&906.

# Exercícios Propostos

#### Lei de Fourier

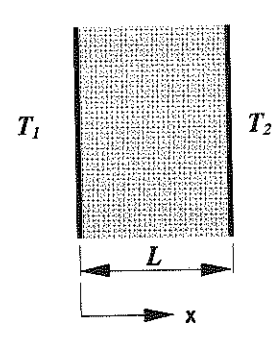
2.1 - Assuma a condução de calor, em regime permanente, no sólido com simetria cilíndrica que aparece na figura abaixo.



Admitindo que as propriedades sejam constantes, e que não haja geração interna de calor, esquematize a distribuição de temperatura nas coordenadas *T-x*. Explique, resumidamente, a forma da curva.

- 2.2 Um cano que conduz água quente a uma temperatura  $T_1$  com raio interno  $r_1$ , possui uma camada de isolamento espessa para reduzir a perda térmica. Sabendo que o raio externo do cano é  $r_2$  e a temperatura neste ponto é  $T_2$ , esquematize a distribuição de temperaturas no isolamento com relação às coordenadas T-r, no caso de uma transferência de calor em regime permanente, unidimensional, com propriedades constantes. Apresentar uma explicação resumida que justifique a forma da curva.
- 2.3 No sistema esquematizado pela figura, há condução de calor em regime permanente, sem geração de calor e unidimensional. A condutividade térmica é 25W/m·K e a espessura 50cm. Determine as grandezas desconhecidas em cada um dos casos da

tabela seguinte e esquematize a distribuição de temperaturas em cada caso, fazendo a indicação da direção do fluxo de calor.



i ekseli			aryas is ni	y Vari
1	400K	300K		
2	100°C		-250	
3	80°C		+200	
4		-5°C		4000
5	30°C			-3000

# Propriedades Termofísicas

2.4 - Um cilindro maciço de 10cm comprimento e 25 mm de diâmetro está bem isolado em sua superficie cilíndrica. As duas bases circulares estão mantidas a 100°C e 0°C. Qual a taxa de transferência de calor através do cilindro se ele for constituído por (a) cobre puro, (b) liga de alumínio 2024-T6, (c) aço inoxidável AISI302, (d) nitreto de silício, (e) madeira (carvalho), (f) magnésio a 85% e (g) vidro pyrex?

# Capítulo 3 - Condução Unidimensional em Regime Permanente

Este item trata de situações onde o calor se transfere por difusão, em condições unidimensionais e em regime permanente. O conceito "unidimensional" identifica o fato de apenas uma coordenada ser necessária para descrever a variação espacial das variáveis independentes. Assim, num sistema unidimensional, os gradientes de temperatura existem somente ao longo de uma única direção coordenada, e a transferência de calor ocorre exclusivamente nesta direção. O sistema está em condições de regime permanente se a temperatura em cada ponto for independente do tempo. Apesar da simplicidade intrínseca que lhes é própria, os modelos unidimensionais, em regime permanente, podem ser usados para representar com exatidão numerosos sistemas da engenharia.

Inicia-se a análise da condução unidimensional em regime permanente pela discussão da transferência de calor sem geração interna (itens 3.1 a 3.3). O objetivo é determinar as expressões da distribuição de temperatura e a taxa de transferência de calor em casos com geometrias comuns. Introduz-se o conceito de resistência térmica (análogo ao de resistência elétrica) como auxiliar para a solução dos problemas de transferência de calor.

# 3.1 - Parede Plana

Na condução unidimensional numa parede plana, a temperatura é uma função exclusiva da coordenada x, e o calor se transfere somente nesta direção. Na Figura 3.1a, uma parede plana separa dois fluidos em temperaturas diferentes, e a Figura 3.1b mostra o circuito elétrico equivalente.

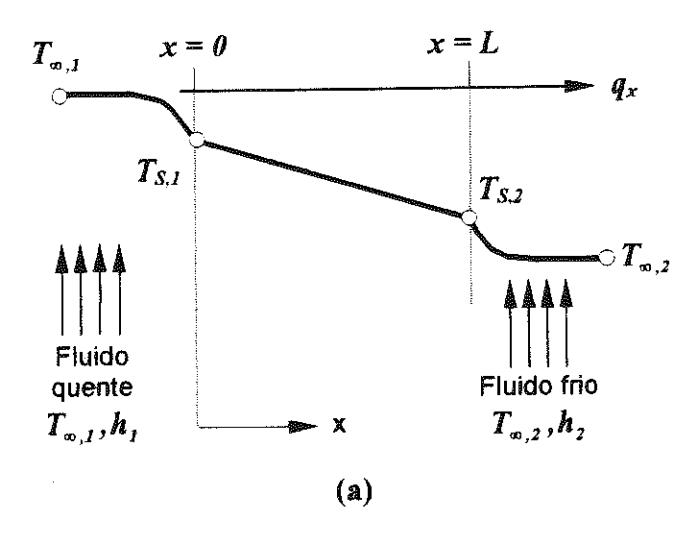


Figura 3.1a - Transferência de calor através de uma parede plana: distribuição de temperaturas.

A transferência de calor ocorre por convecção do fluido quente a  $T_{\infty,I}$  para uma face da parede a  $T_{S,I}$ , por condução através da parede, e por convecção novamente da outra face da parede a  $T_{S,2}$  para o fluido a  $T_{\infty,2}$ . Começa-se pelas condições internas (dentro da parede) onde inicialmente se determina a distribuição de temperatura, da qual pode se obter a taxa de transferência de calor

$$T_{\omega,1} \circ W \circ T_{\omega,2}$$

$$\frac{1}{h_1 A} \qquad \frac{L}{kA} \qquad \frac{1}{h_2 A}$$
(b)

Figura 3.1b - Circuito elétrico equivalente

# 3.1.1 - Distribuição de Temperatura

A distribuição de temperatura na parede pode ser determinada pela solução da equação da condução de calor, com as condições de contorno apropriadas. Em regime permanente, sem fontes nem turbilhões de energia distribuídos dentro da parede, a forma apropriada da equação da condução do calor é (equação 2.17):

$$\frac{d}{dx}\left(k\frac{dT}{dx}\right) = 0 \tag{3.1}$$

Portanto, pela equação (2.2), conclui-se que, na condução unidimensional em regime permanente, numa parede plana, sem geração de calor, o fluxo de calor é uma constante independente de x. Se a condutividade térmica do material da parede for constante, a equação pode ser integrada duas vezes para se ter a solução geral:

$$T(x) = C_1 x + C_2 \tag{3.2}$$

A fim de se obter as constantes de integração,  $C_1$  e  $C_2$ , é necessário a introdução das condições de contorno. Adota-se condições de primeira espécie em x = 0 e em x = L, e se tem

$$T(\theta) = T_{s,l}$$
  $e$   $T(L) = T_{s,2}$ 

Aplicando-se a condição em x = 0, na solução geral, segue-se que  $T_{s,1} = C_2$ .

Analogamente, em x = L  $T_{s,l} = C_1L + C_2 = C_1L + T_{s,l}$ 

e neste caso 
$$\frac{T_{s,2} - T_{s,1}}{L} = C_1$$

Fazendo as substituições na solução geral, a distribuição de temperatura fica:

$$T(x) = (T_{s,2} - T_{s,I}) \frac{x}{L} + T_{s,I}$$
 (3.3)

Este resultado mostra, evidentemente, que, na condução unidimensional, em regime permanente, numa parede plana, sem geração de calor e com a condutividade térmica constante, a temperatura varia linearmente com x.

Agora, com a distribuição de temperaturas, pode ser usada a Lei de Fourier (equação 2.1) para determinar a taxa de transferência condutiva de calor. Isto é:

$$q_x = -k \cdot A \cdot \frac{dT}{dx} = \frac{k \cdot A}{L} (T_{s,1} - T_{s,2}) \tag{3.4}$$

Observa-se que A, a área da parede normal à direção da transferência de calor, e uma constante independente de x. O fluxo de calor é então

$$q_x'' = \frac{q_x}{A} = \frac{k}{L} (T_{s,1} - T_{s,2})$$
 (3.5)

As equações (3.4) e (3.5) indicam que a taxa de transferência de calor  $q_x$ , e que o fluxo de calor,  $q_x$ , são constantes, independentes de x.

Nos parágrafos anteriores usou-se a abordagem padrão para resolver os problemas de condução. Inicialmente, a solução geral para a distribuição de temperatura foi obtida pela resolução da equação da condução de calor na forma apropriada. Aplicou-se então as condições de contorno para se obter uma solução particular que, com a Lei de Fourier, determinasse a taxa de transferência de calor. Observe que as temperaturas em x=0 e x=L foram fixas como as condições de contorno, embora sejam temperaturas dos fluidos, e não as superficiais (conhecidas nos caso típicos). No entanto, uma vez que as temperaturas de um fluido e de uma superfície a ele adjacente são facilmente relacionadas mediante um balanço de energia na superfície, é uma questão simples exprimir as equações (3.3), (3.4) e (3.5) em termos das temperaturas dos fluidos, e não das temperaturas superficiais. Resultados equivalentes também seriam obtidos diretamente por meio de balanços de energia na superfície (como condições de contorno de terceira espécie) para se estimar as constantes da equação (3.2).

#### 3.1.2 - Resistência Térmica

Neste ponto, observa-se um conceito muito importante sugerido pela equação (3.4): a analogia entre a difusão do calor e a condução de carga elétrica. Da mesma forma que uma resistência elétrica está associada à condução de eletricidade, pode-se associar uma resistência térmica a condução de calor Definindo a resistência como a razão entre o

potencial motriz e a taxa de transferência que a provoca, segue-se pela equação (3 4) que a resistência térmica na condução e

$$R_{i,cond} = \frac{T_{s,i} - T_{s,2}}{q_x} = \frac{L}{k - A}$$
 (3.6)

Analogamente, no caso da condução elétrica, a lei de Ohm proporciona uma resistência elétrica da forma

$$R_{e} = \frac{E_{s,1} - E_{s,2}}{I} = \frac{L}{\sigma \cdot A}$$
 (3.7)

A analogia entre as Equações (3 6) e (3 7) e obvia. Uma resistência termica também pode ser associada à transferência convectiva de calor numa superficie Pela lei do resfriamento. de Newton.

$$q = h \cdot A \cdot (T_s - T_s) \tag{3.8}$$

e a resistência térmica na convecção é então

$$R_{t,conv} = \frac{T_t - T_{\infty}}{q} = \frac{1}{h \cdot A} \tag{3.9}$$

A representação mediante circuitos proporciona um instrumento util para conceituar e quantificar os problemas de transferência de calor O circuito térmico equivalente numa parede plana, com condições superficiais de convecção aparece na Figura 3 lb. A taxa de transferência de calor pode ser determinada a partir da consideração isolada de cada elemento do circuito, isto e

$$q_x' = \frac{T_{\infty,1} - T_{s,1}}{1/h_1 A} = \frac{T_{s,1} - T_{s,1}}{L/k A} = \frac{T_{s,1} - T_{\infty,2}}{1/h_2 A}$$
(3.10)

Em termos da diferença global de temperatura, e da resistência térmica total  $R_{tot}$ , a taxa de transferência de calor pode exprimir-se também como

$$q_x = \frac{T_{\infty,1} - T_{\infty,2}}{R_{tot}} \tag{3.11}$$

Em virtude de as resistências condutiva e convectiva estarem em série e, portanto, poderem se somadas, segue-se que:

$$R_{tot} = \frac{1}{h_1 A} + \frac{L}{k A} + \frac{1}{h_2 A} \tag{3.12}$$

Uma outra resistência pode ser atribuída à superficie que estiver separada de uma vizinhança de grande porte por um gás. Em particular, a troca radiativa entre a superficie e as suas vizinhanças pode ser importante, e a taxa pode ser determinada pela equação (18). Segue-se, então, que a resistência térmica na radiação pode ser definida como

$$R_{t,rad} \equiv \frac{T_s - T_{viz}}{q_{rad}} = \frac{1}{h_r \cdot A} \tag{3.13}$$

onde  $h_r$  está definido pela equação (1.9). As resistências radiativas e convectivas da superfície atuam em paralelo, e se  $T_{\infty} = T_{vix}$ , as duas podem ser combinadas para se obter uma resistência efetiva única da superfície.

#### 3.1.3 - A Parede Composta

Os circuitos térmicos equivalentes também podem ser usados no caso de sistemas mais complicados, como por exemplo, as paredes compostas. Essas paredes podem envolver qualquer número de resistências térmicas em série e/ou paralelo, em virtude de camadas de matérias diferentes. Consideremos uma parede composta em série, como mostra a Figura 3.2.

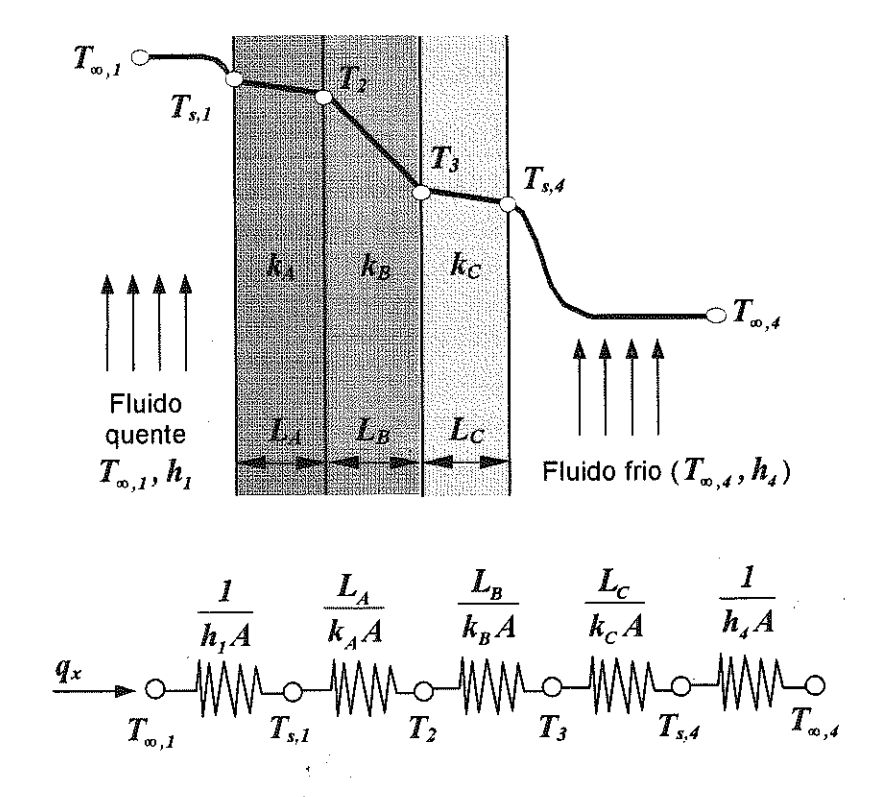


Figura 3.2 - Parede composta com circuito térmico equivalente.

A taxa de transferência unidimensional de calor, neste sistema, pode ser expressa por:

$$q_x = \frac{T_{\infty,1} - T_{\infty,4}}{\sum R_t} \tag{3.14}$$

onde  $T_{\infty,1} - T_{\infty,4}$  é a diferença global de temperatura e o somatório  $\sum R_t$  envolve todas as resistências térmicas. Então:

$$q_{x} = \frac{T_{\infty,I} - T_{\infty,A}}{\left[ \left( 1/h_{I}A \right) + \left( L_{A}/k_{A}A \right) + \left( L_{B}/k_{B}A \right) + \left( L_{C}/k_{C}A \right) + \left( 1/h_{A}A \right) \right]}$$
(3.15)

De outra maneira, a taxa de transferência de calor pode se relacionar com a diferença de temperatura e com a resistência associada a cada elemento. Por exemplo:

$$q_{x} = \frac{T_{\infty,1} - T_{s,1}}{(1/h_{1}A)} = \frac{T_{s,1} - T_{2}}{(L_{A}/k_{A}A)} = \frac{T_{2} - T_{3}}{(L_{B}/k_{B}A)} = \frac{T_{3} - T_{s,4}}{(L_{C}/k_{C}A)} = \frac{T_{s,4} - T_{\infty,4}}{(1/h_{4}A)}$$
(3.16)

Nos sistemas compostos, é conveniente muitas vezes trabalhar com um coeficiente global de transferência de calor (U), definido por uma expressão análoga à da lei do resfriamento de Newton. Assim:

$$q_{\star} \equiv U \cdot A \cdot \Delta T \tag{3.17}$$

onde  $\Delta T$  é a diferença global de temperatura. O coeficiente global de transferência de calor está relacionado à resistência térmica total e, pelas equações (3.14) e (3.17), tem-se que  $U \cdot A = 1/R_{tot}$ .

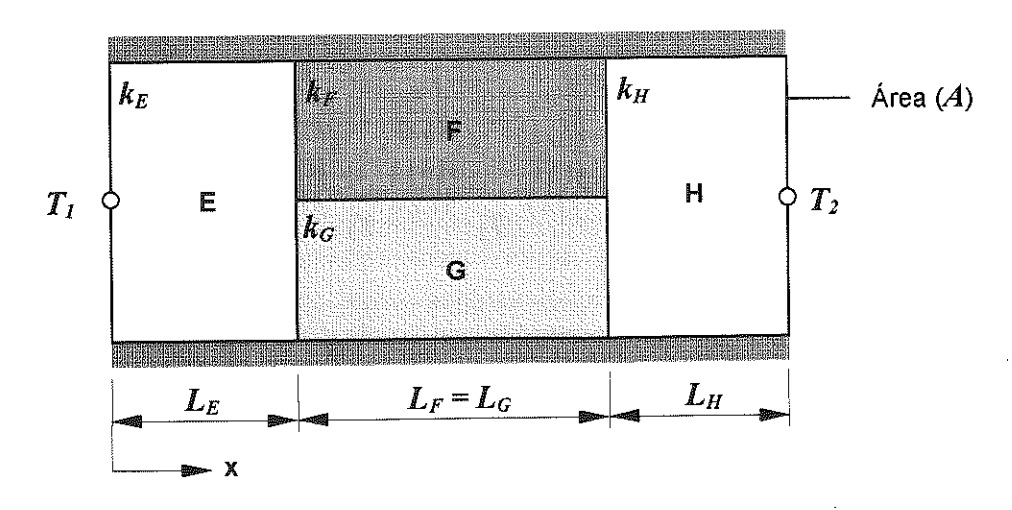
Então, na parede composta da Figura 3.2,

$$U = \frac{1}{R_{tot} \cdot A} = \frac{1}{\left[ (1/h_1) + (L_A/k_A) + (L_B/k_B) + (L_C/k_C) + (1/h_4) \right]}$$
(3.18)

Em geral, pode-se escrever:

$$R_{tot} = \sum R_t = \frac{\Delta T}{q} = \frac{1}{U \cdot A} \tag{3.19}$$

As paredes compostas também podem ser caracterizadas por configurações do tipo série-paralelo, conforme as que aparecem na Figura 3.3



Embora o fluxo de calor seja, neste caso, bidimensional, muitas vezes é razoável admitir condições unidimensionais. Com esta hipótese, podem ser usados dois circuitos térmicos (a e b) diferentes. No primeiro, admite-se que as superficies normais à direção x sejam isotérmicas, enquanto no segundo admite-se que as superficies paralelas à direção x sejam adiabáticas. Com isso, são obtidos resultados diferentes para  $R_{tot}$  e os valores correspondentes de q definem um intervalo que contém a taxa real de transferência de calor. As diferenças entre estes valores crescem com o aumento de  $k_F$ - $k_G$  e assim, os efeitos bidimensionais tornam-se mais significativos.

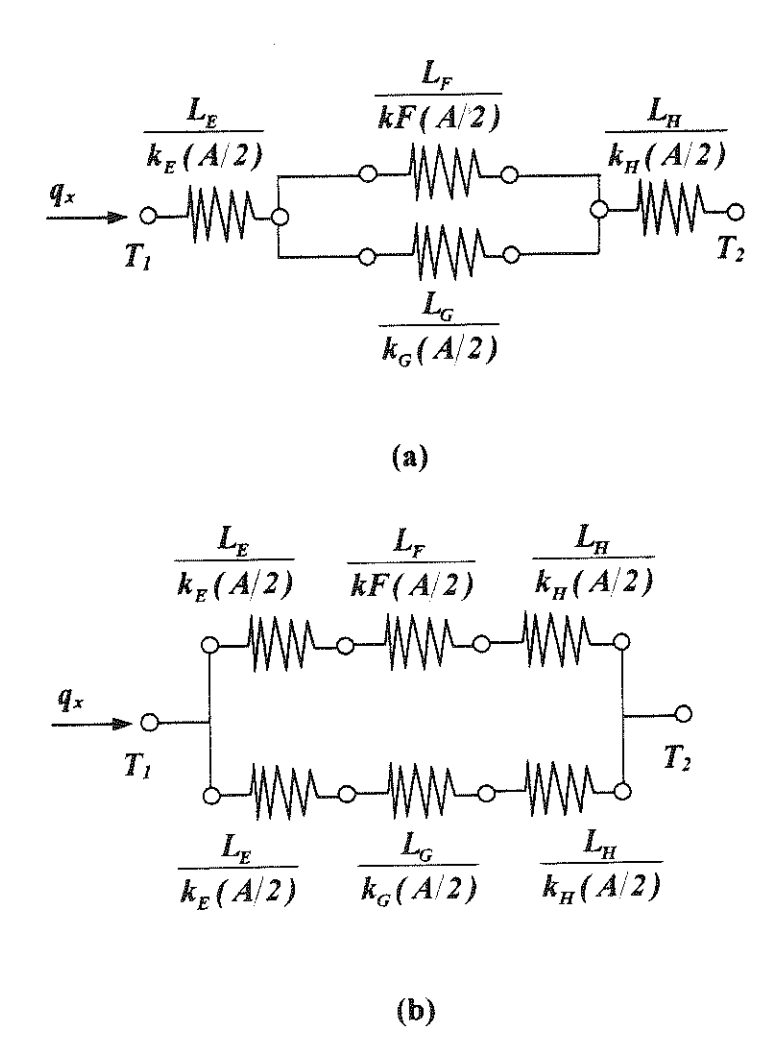


Figura 3.3 - Circuitos térmicos equivalentes numa parede composta em série-paralelo

# 3.1.4 - Resistência de Contato

Embora não tenha sido mencionado, é importante observar que, nos sistemas compostos, a queda de temperatura na interface entre dois materiais pode ser considerável. Esta alteração na temperatura se dá devido à resistência de contato térmico,  $R_{t.c.}$  O efeito desta pode ser visualizado pela Figura 3.4.

Para uma interface de área unitária, tal resistência se define como:

$$R_{t,c}'' = \frac{T_A - T_B}{q_x''} \tag{3.20}$$

A existência de uma resistência de contato finita se deve principalmente aos efeitos da rugosidade superficial. Existem pontos de contato entremeados por vales que, na maioria dos casos, estão cheios de ar. A transferência de calor deve-se então à condução através da área de contato real, e à condução e/ou radiação através dos vales. A resistência de contato pode se considerada como duas resistências em paralelo: a que provém dos pontos de contato real e a que provém dos vales. Nos casos típicos, a área de contato é pequena e, especialmente nas superficies rugosas, a contribuição mais importante à resistência é a proveniente dos vales.

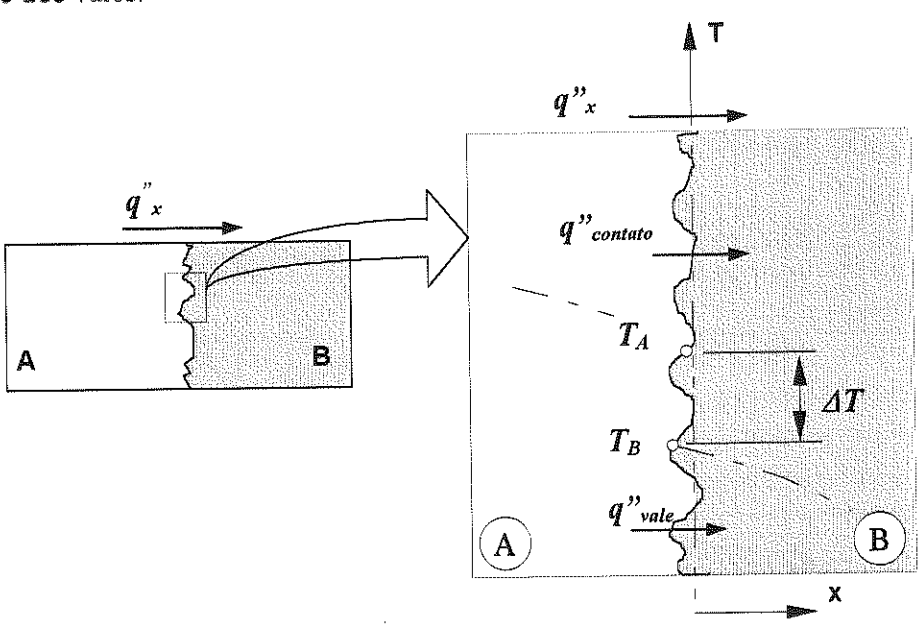


Figura 3.4 - Queda de temperatura devida à resistência térmica de contato.

Para os sólidos cujas condutividades térmicas são mais elevadas que a do fluido interfacial, a resistência de contato pode ser reduzida pelo aumento da área dos sítios de contato. Este aumento pode ser efetuado pelo aumento da pressão na junção mediante a redução da rugosidade das superficies em contato. A resistência de contato também pode ser reduzida pela escolha de um fluido interfacial de condutividade térmica elevada. A este respeito, a ausência de fluido (interface evacuada) elimina a condução através dos vales e, com isso, aumenta a resistência de contato.

Embora se tenha proposto teorias para a previsão de  $R''_{t,c}$ , os resultados mais confiáveis são os que se obtêm experimentalmente. O efeito de cargas sobre as interfaces metálicas pode ser observado na Tabela 3.1a, a qual apresenta intervalos aproximados dos valores da resistência térmica em condições de vácuo. O efeito do fluido interfacial sobre a resistência de uma interface de alumínio aparece na Tabela 3.1b.

Tabela 3.1 - Resistência térmica de contato (a) em interfaces metálicas sujeitas a vácuo e (b) em interfaces de alumínio (rugosidade superficial de 10μm (Ra), 10<sup>5</sup> N/m²) com vários fluidos interfaciais [1].

RESISTÊNCIA TÉRMICA R'' <sub>sc</sub> [×10 <sup>4</sup> m <sup>2</sup> ·K/W]								
(a) Interface à Vácuo			(b) Fluido Interfacial					
Pressão de contato [kN/m²]	100	10	Ar	2,75				
Aço Inoxidável	6-25	0,7-4,0	Hélio	1,05				
Cobre	1-10	0,1-0,5	Hidrogênio	0,720				
Magnésio	1,5-3,5	0,2-0,4	Óleo de silicone	0,525				
Alumínio	1,5-5,0	0,2-0,4	Glicerina	0,265				

Em contraste com os resultados da Tabela 3.1, muitas aplicações envolvem o contato entre sólidos diferentes e uma ampla variedade de possíveis materiais intersticiais (enchimentos), como mostra a Tabela 3.2.

Tabela 3.2 - Resistência térmica de interfaces sólido-sólido representativas.

<b>RESISTÊNCIA TÉRMICA</b> R', [× 10 <sup>4</sup> m <sup>2</sup> ·K/W]					
Interface	R"tc	Fonte			
Chip de silício - alumínio esmerilhado ao ar (27-500kN/m²)	0,3-0,6	[2]			
Alumínio - alumínio com enchimento de película de Índio (~100kN/m²)	~0,07	[1;3]			
Aço Inxoxidável -aço inoxidável com enchimento de película de Índio (~3500kN/m²)	~0,04	[1;3]			
Alumínio - alumínio com revestimento metálico (Pb)	0,01-0,1	[4]			
Alumínio - alumínio com graxa da Dow Coming (~100 kN/m²)	~0,07	[1;3]			
Aço inoxidável - aço inoxidável com graxa 340 da Dow Corning (3500 kN/m²)	~0,04	[1;3]			
Chip de silício - alumínio com 0.02 mm de epoxi	0,2-0,9	[5]			
Latão - latão com 15 μm de solda de estanho	0,025-0,14	[6]			

Qualquer substância intersticial que encha os vales entre as superficies em contato e cuja condutividade térmica seja maior que a do ar provocará uma diminuição da resistência de contato. Duas classes de material bem apropriados para este fim são os metais moles e as graxas térmicas. Os metais que incluem o Índio, o chumbo, o estanho e a prata, podem ser inseridos como uma folha delgada ou então aplicados como película delgada de revestimento a um dos componentes da interface. As graxas térmicas, com base em silicone,

são atrativas pois têm a capacidade de encher completamente os interstícios com um material cuja condutividade térmica chega a ser 50 vezes maior que a do ar.

Diferentemente das interfaces mencionadas, que não são permanentes, muitas interfaces envolvem juntas permanentemente ligadas. A junta pode ser formada por uma resina epoxi, ou por solda, tanto mole (rica em chumbo) quanto dura (liga com ouro e estanho). Em virtude de resistências interfaciais entre os materiais originais e os materiais de ligação, a resistência térmica real de uma junta é maior que o valor teórico (L/k) calculado a partir de espessura L e da condutividade térmica k do material da junta. A resistência térmica de juntas a epoxi, ou a soldas, também é afetada de forma adversa por vazios e fendas, que podem se formar durante a fabricação, ou como resultado do ciclo térmico durante a operação normal.

Em Snaith et al. [3], Madhusudana & Fletcher [7] e Yovanovich [8] encontram-se revisões amplas dos resultados e modelos referentes à resistência térmica de contato.

# Exemplo 3.1

Um fabricante de vanguarda de utilidades domésticas está propondo um modelo de forno autolimpante que envolve uma janela composta entre a cavidade do forno e o ar ambiente. A janela composta é constituída por dois plásticos (A e B), resistentes à altas temperaturas, com as espessuras  $L_A = 2L_B$  e condutividades térmicas  $k_A = 0.15$ W/m·K e  $k_B = 0.08$ W/m·K. Durante o processo de autolimpeza, as temperaturas da parede do forno e do ar no forno ( $T_m$  e  $T_a$  respectivamente) são iguais a  $400^{\circ}$ C, enquanto a temperatura do ar ambiente ( $T_m$ ) é  $25^{\circ}$ C. Os coeficientes de transferência convectiva e radiativa de calor no interior do forno ( $h_i$  e  $h_r$  respectivamente) e também o coeficiente de transferência convectiva ( $h_0$ ) são cada qual, aproximadamente iguais a 25W/m²-K. Qual é a espessura mínima da janela  $L = L_A + L_B$  necessária para garantir que a temperatura na superficie externa da janela seja de no máximo  $50^{\circ}$ C? (Esta temperatura, em virtude de razões se segurança, não deve ser excedida)

## Solução

<u>Dados</u>: As propriedades e as dimensões relativas de materiais plásticos usado numa janela de forno composta, e as condições associadas à operação de autolimpeza do forno.

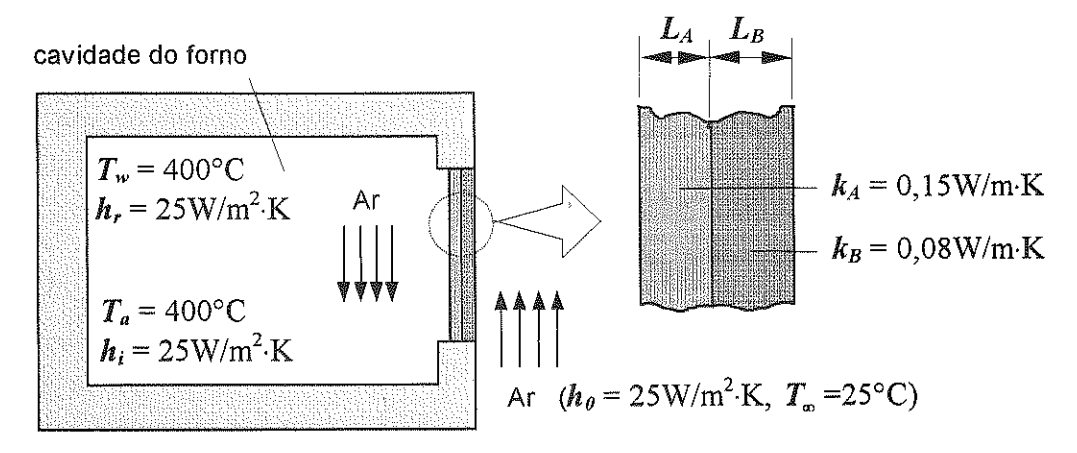
Incógnita: A espessura da janela  $L_A + L_B$  necessária para garantir a operação segura.

# Hipóteses:

- 1. O regime de operação é permanente.
- 2. A condução através da janela é unidimensional.
- 3 A resistência de contato é desprezível.

- 4. A absorção de radiação no interior do material da janela é desprezível; então não há geração interna de calor (há troca radiativa entre a janela e as paredes do forno na superficie interna da janela).
- 5. A troca radiativa entre a superficie interna da janela e as vizinhanças é desprezível.
- 6. Cada plástico é homogêneo e tem as propriedades constantes.

#### Esquema:



Análise: pode-se esquematizar o circuito térmico verificando que a resistência ao fluxo de calor está associada à convecção na superficie externa, à condução, e à convecção e radiação na superficie interna. Assim, o circuito e as resistências têm a seguinte forma:

$$T_{w} \circ \longrightarrow W \longrightarrow L_{A}/k_{A}A \quad L_{B}/k_{B}A \quad 1/h_{o}A \longrightarrow T_{a} (= T_{w}) \circ \longrightarrow W \longrightarrow T_{s,\theta} \qquad T_{\infty}$$

Uma vez que a temperatura da superficie externa da janela  $(T_{s,\theta})$  é dada, a espessura da janela pode ser obtida aplicando-se um balanço de energia a esta superficie, isto é,  $\dot{E}_{af} = \dot{E}_{ef}$ . Assim, a taxa de energia afluente é igual à taxa de energia efluente.

Com 
$$T_w = T_a$$
 e usando a equação (3.19):  $\dot{E}_{af} = q = \frac{T_a - T_{s,\theta}}{\sum R_t}$ 

e pela equação (3.8): 
$$\dot{E}_{ef} = q = h_{\theta} \cdot A \cdot (T_{s,\theta} - T_{\infty})$$
.

A resistência térmica total entre a cavidade do forno e a superficie externa da parede inclui uma resistência efetiva associada à convecção e à radiação atuantes paralelamente à superficie da janela, e as resistências à condução dos materiais da janela. Portanto:

$$\sum R_{t} = \left(\frac{1}{1/h_{t}A} + \frac{1}{1/h_{r}A}\right)^{-1} + \frac{L_{A}}{k_{A}A} + \frac{L_{B}}{k_{B}A}$$

ou 
$$\sum R_t = \frac{1}{A} \left( \frac{1}{h_i + h_r} + \frac{L_A}{k_A} + \frac{L_A}{2k_B} \right)$$

Levando as expressões ao balanço de energia, vem:

$$\frac{T_{s}-T_{s,\theta}}{\sum R_{t}}=h_{\theta}\cdot A\cdot (T_{s,\theta}-T_{\infty})$$

resolvendo-se em  $\sum R_n$  temos:

$$\sum R_{i} = \frac{T_{s} - T_{s,\theta}}{h_{\theta} \cdot A \cdot (T_{s,\theta} - T_{\infty})} = \frac{400 - 50}{25 \cdot A \cdot (50 - 25)} = \frac{\theta,56}{A}$$
 (I)

$$\sum R_{t} = \frac{1}{A} \left( \frac{1}{25 + 25} + \frac{L_{A}}{0.15} + \frac{L_{A}}{2 \cdot 0.08} \right) = \frac{0.02 + 6.67 L_{A} + 6.25 L_{A}}{A}$$
 (II)

Igualando (I) e (II), temos que  $L_A = 0.0418$ m

Uma vez que 
$$L_B = 2L_A = 0,0209 \text{ m},$$
  $L = L_A + L_B = 62,7 \text{ mm}$ 

Comentários: A operação de auto limpeza é um processo transiente, no que se refere à resposta térmica da janela. É possível que não se atinja o regime permanente no tempo necessário à limpeza. No entanto, as condições em regime permanente indicam o valor máximo possível de  $T_{s,\theta}$  e por isso são bem apropriadas para o cálculo do projeto.

# 3.2 - Abordagem Diferente na Análise da Condução

A análise da condução até agora, foi realizada usando-se a abordagem padrão, onde a equação da condução do calor foi resolvida com o intuito de se obter a distribuição de temperatura (equação 3.3). Depois, mediante a Lei de Fourier, foi obtida a taxa de transferência de calor (equação 3.4). Uma outra abalroação, porém, pode ser usada no caso das condições que se está tratando. Imagine a condução no sistema mostrado na Figura 3.5, onde verifica-se que, em condições de regime permanente, sem geração de calor e sem perda de calor pelas superficie laterais, a taxa de transferência de calor  $q_x$  deve ser uma constante independente de x, onde para qualquer elemento diferencial dx,  $q_x = q_{x+dx}$ .

Naturalmente, esta condição é uma consequência da conservação da energia e deve valer mesmo quando a área A(x) variar com a posição, e a condutividade térmica variar com a temperatura k(T). Além disso, mesmo quando a distribuição de temperatura for bidimensional, variando em x e y, muitas vezes é razoável desprezar a variação em y e admitir uma distribuição unidimensional em x. Nestas circunstâncias é possível operar exclusivamente com a Lei de Fourier para efetuar a análise da condução. Em particular, uma vez que a taxa de condução é uma constante, a equação da taxa pode ser integrada, embora a taxa e a distribuição de temperaturas sejam desconhecidas.

# $T_0, A(x)$ $q_x$ $q_x$ $q_{x+dx}$

Superfície Adiabática

Figura 3.5 - Sistema com uma taxa de transferência de calor constante

Considere a Lei de Fourier (equação 2.1), aplicada ao sistema da Figura 3.5. Embora não tenhamos conhecimento do valor de  $q_x$ , ou da forma de T(x), sabe-se que  $q_x$  é uma constante. Então pode-se exprimir a Lei de Fourier na forma geral:

$$q_x \int_{x_0}^{x} \frac{dx}{A(x)} = -\int_{T_0}^{T} k(T)dT$$
 (3.21)

A área da seção reta pode ser uma função conhecida de x, e a condutividade térmica do material pode variar (de maneira conhecida) com a temperatura. Se a integração for realizada desde um ponto  $x_{\theta}$ , no qual a temperatura  $T_{\theta}$  seja conhecida, a equação resultante proporciona a forma funcional de T(x). Além disso, se a temperatura  $T = T_{I}$ , em  $x = x_{I}$  for também conhecida, a integração entre  $x_{\theta}$  e  $x_{I}$  fornece uma expressão que permite o cálculo de  $q_{x}$ . Observe que se a área A for constante e se k for independente da temperatura, a equação (3.21)se reduz a

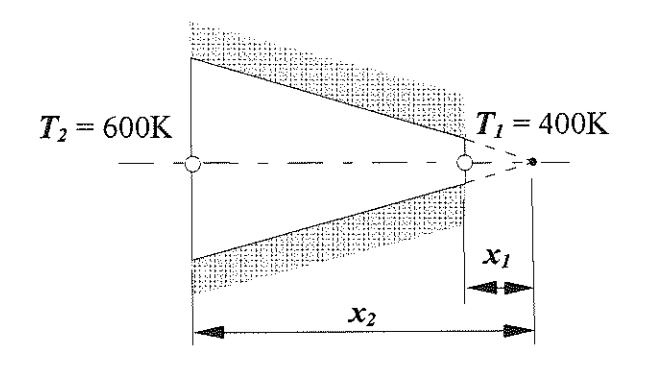
$$\frac{q_x \cdot \Delta x}{A} = -k \cdot \Delta T \tag{3.22}$$

onde 
$$\Delta x = x_1 - x_\theta$$
 e  $\Delta T = T_1 - T_\theta$ .

Muitas vezes é preferível resolver os problemas de difusão de calor através das formas integradas das equações das taxas de difusão. É preciso ter bem claras as condições limites que permitam a transferência unidimensional, em regime permanente, sem geração de calor.

### Exemplo 3.2

O diagrama mostra uma seção de um tronco de cone em *piroceram*. A seção reta é circular, com diâmetro D = ax, onde a = 0.25. A base menor está em  $x_1 = 50$ mm e a base maior em  $x_2 = 250$ mm. As temperaturas terminais são  $T_1 = 400$ K e  $T_2 = 600$ K, enquanto a superficie lateral está bem isolada.



- 1. Deduzir uma expressão para a distribuição de temperatura T(x) em forma simbólica, admitindo-se condições unidimensionais. Esquematizar a distribuição de temperatura.
- 2. Calcular a taxa de transferência de calor  $q_x$  através do cone.

# Solução:

<u>Dados</u>: Condução num tronco de cone circular com o diâmetro D = ax, com a = 0,25.

# Incógnitas:

- 1. Distribuição de temperatura T(x).
- 2. Taxa de transferência de calor  $q_x$ .

# Hipóteses:

- 1. As condições são de regime permanente
- 2. A condução é unidimensional na direção x.
- 3. Não há geração interna de calor
- 4. As propriedades são constantes

Propriedades: Tabela A2, piroceram (500K): k = 3,46W/m·K

# Análise:

1. Uma vez que a condução é unidimensional, em regime permanente e sem geração interna de calor, a taxa de transferência de calor  $q_x$  é uma constante independente de x. Então, pela Lei de Fourier (equação 2.1) pode-se determinar a distribuição de temperatura:

$$q_x = -k \cdot A \frac{dT}{dx}$$

Com  $A = \frac{\pi \cdot D^2}{4} = \frac{\pi \cdot a^2 \cdot x^2}{4}$ , a separação das variáveis resulta em

$$\frac{4 \cdot q_x \cdot dx}{\pi \cdot a^2 \cdot x^2} = -k \cdot dT$$

Integrando de  $x_1$  até x no interior do sólido, e lembrando que  $q_x$  e k são constantes:

$$\frac{4 \cdot q_x}{\pi \cdot a^2} \int_{x_1}^x \frac{dx}{x^2} = -k \int_{T_1}^T dT$$
 Então:

$$\frac{4 \cdot q_x}{\pi \cdot a^2} \cdot \left( -\frac{1}{x} + \frac{1}{x_1} \right) = -k \cdot \left( T - T_1 \right)$$

ou, resolvendo-se em T(x),

$$T(x) = T_1 - \frac{4 \cdot q_x}{\pi \cdot a^2 \cdot k} \cdot \left(\frac{1}{x_1} - \frac{1}{x}\right) \tag{I}$$

Embora  $q_x$  seja uma constante, ainda é desconhecida. Podemos porém determiná-la pelo cálculo da expressão anterior em  $x = x_2$ , onde  $T(x_2) = T_2$ . Daí,

$$T_2 = T_1 - \frac{4 \cdot q_x}{\pi \cdot a^2 \cdot k} \cdot \left(\frac{1}{x_1} - \frac{1}{x_2}\right)$$

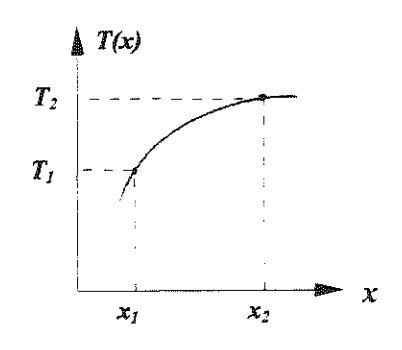
Resolvendo em 
$$q_x$$
:

$$q_x = \frac{\pi \cdot a^2 \cdot k \cdot (T_1 - T_2)}{4 \cdot [(1/x_1) - (1/x_2)]}$$

A substituição de  $q_x$  na expressão (I), faz com que a distribuição de temperatura fique:

$$T(x) = T_1 + (T_1 - T_2) \cdot \left[ \frac{(1/x) - (1/x_1)}{(1/x_1) - (1/x_2)} \right]$$

Deste resultado, a temperatura pode ser calculada em função de x e a distribuição tem o seguinte aspecto:



Uma vez que 
$$\frac{dT}{dx} = \frac{-4 \cdot q_x}{k \cdot \pi \cdot a^2 \cdot x^2}$$

(pela Lei de Fourier), observa-se que o gradiente de temperaturas e o fluxo diminuem quando x aumenta.

 Levando-se em conta os valores numéricos no resultado precedente, para a taxa de transferência de calor, vem:

$$q_{x} = \frac{\pi \times (0,25)^{2} \times 3,46 \times (400 - 600)}{4 \times \left(\frac{1}{0,05} - \frac{1}{0,25}\right)} = -2,12W$$

Comentários: Quando o parâmetro a aumenta, a hipótese da unidimensionalidade fica menos apropriada, ou seja, a hipótese fica mais fraca à medida que a variação da área da seção reta torna-se mais pronunciada - com a distância.

# 3.3 - Sistemas Radiais

Sistemas cilíndricos e esféricos têm muitas vezes gradientes de temperaturas numa única direção radial e podem, por isso, ser analisados como unidimensionais. Além disso, em condições de regime permanente sem geração de calor, estes sistemas podem ser analisados mediante dois métodos: padrão, a partir da forma apropriada da equação da condução de calor, ou alternativo, a partir da forma apropriada da Lei de Fourier. Nesta etapa, analisar-se-á sistemas cilíndricos pelo método padrão e sistemas esféricos pelo outro.

#### 3.3.1 - O Cilindro

Um exemplo comum é o cilindro oco cujas superficies interna e externa estão expostas a fluidos em temperaturas diferentes (Figura 3.6).

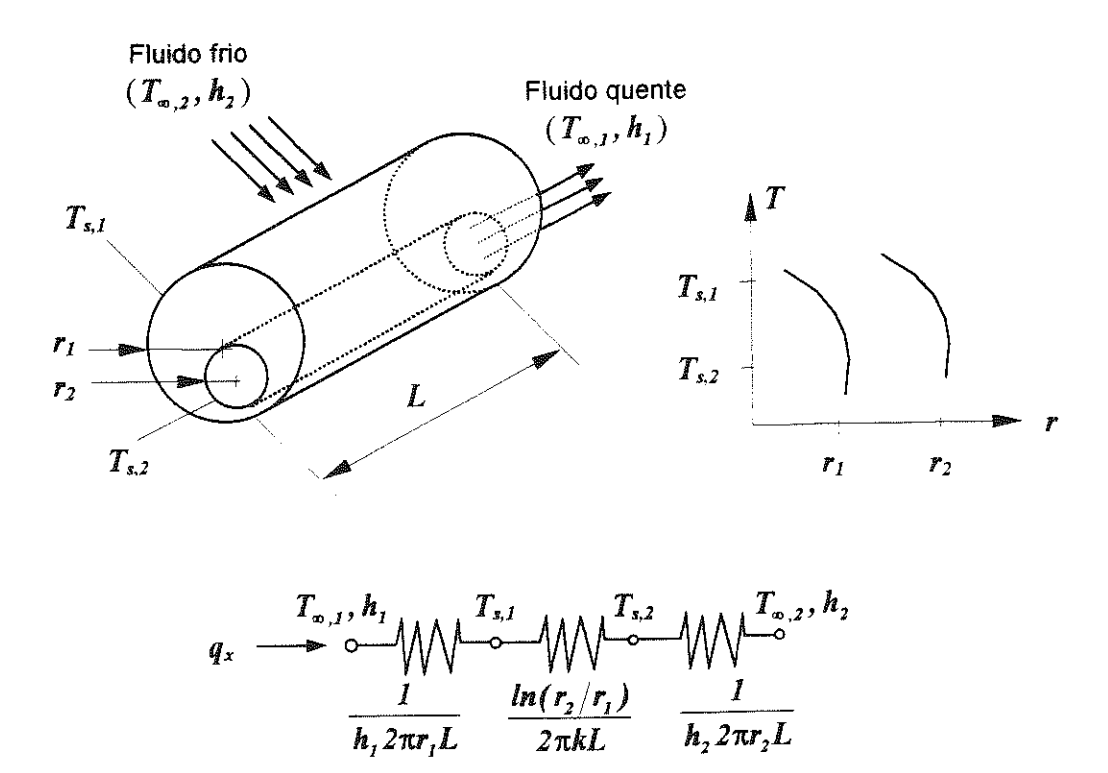


Figura 3.6 - Cilindro oco com condições superficiais convectivas.

Em regime permanente sem geração de calor, a forma apropriada da equação da condução de calor é (equação 2.20):

$$\frac{1}{r}\frac{d}{dr}\left(kr\frac{dT}{dr}\right) = 0\tag{3.23}$$

onde, por enquanto, k é tratada como variável. O significado fisico deste resultado se torna evidente considerando também a forma apropriada da Lei de Fourier. A taxa de condução de energia através de qualquer superficie cilíndrica no sólido pode ser expressa como:

$$q_r = -kA\frac{dT}{dr} = -k(2\pi rL)\frac{dT}{dr}$$
(3.24)

onde  $A = 2\pi rL$  é a área normal à direção de transferência de calor. Pelas equações (3.23) e (3.24), segue-se que a taxa de transferência de calor  $q_r$ , (não o fluxo de calor  $q_r$ ) é uma constante na direção radial. Pode-se determinar a distribuição de temperatura no cilindro mediante a resolução da equação (3.23) com as condições de contorno apropriadas. Admitindo-se que k seja constante, a equação 3.23 pode ser integrada duas vezes para se obter a solução geral:

$$T(x) = C, \ln r + C, \tag{3.25}$$

Para calcular as constantes de integração  $C_1$  e  $C_2$ , introduz-se as seguintes condições de contorno:

$$T(r_1) = T_{s,1}$$
 e  $T(r_2) = T_{s,2}$ 

Levando estas condições à solução geral, obtém-se:

$$T_{s,l} = C_1 \cdot ln(r_1) + C_2$$
 e  $T_{s,2} = C_1 \cdot ln(r_2) + C_2$ .

Resolvendo em C1 e C2 e retomando a solução geral, tem-se:

$$T(r) = \frac{T_{s,1} - T_{s,2}}{\ln(r_1/r_2)} \cdot \ln\left(\frac{r}{r_2}\right) + T_{s,2}$$
 (3.26)

Observe que a distribuição de temperatura, associada à condução radial através do cilindro, é logarítmica, e não linear (como no caso de uma parede plana, sob as mesmas condições). A distribuição logarítmica está representada num detalhe da Figura 3.6.

Se a distribuição de temperaturas (equação 3.26) for agora usada com a Lei de Fourier (equação 3.24), obtém-se a seguinte expressão para a taxa de transferência de calor:

$$q_{r} = \frac{2\pi L \cdot k \cdot (T_{s,1} - T_{s,2})}{\ln(r_{2}/r_{1})}$$
(3.27)

Deste resultado é evidente que na condução radial em cilindros ocos, a resistência térmica tem a forma:

$$R_{t,cond} = \frac{\ln(r_2/r_1)}{2\pi L \cdot k} \tag{3.28}$$

Esta resistência aparece no circuito em série da Figura 3.6. Note que em virtude de  $q_r$  ser independente de r, o resultado anterior poderia ter sido obtido mediante o método alternativo, ou seja, mediante a integração da equação (3.24).

Considere agora o sistema composto da Figura 3.7.

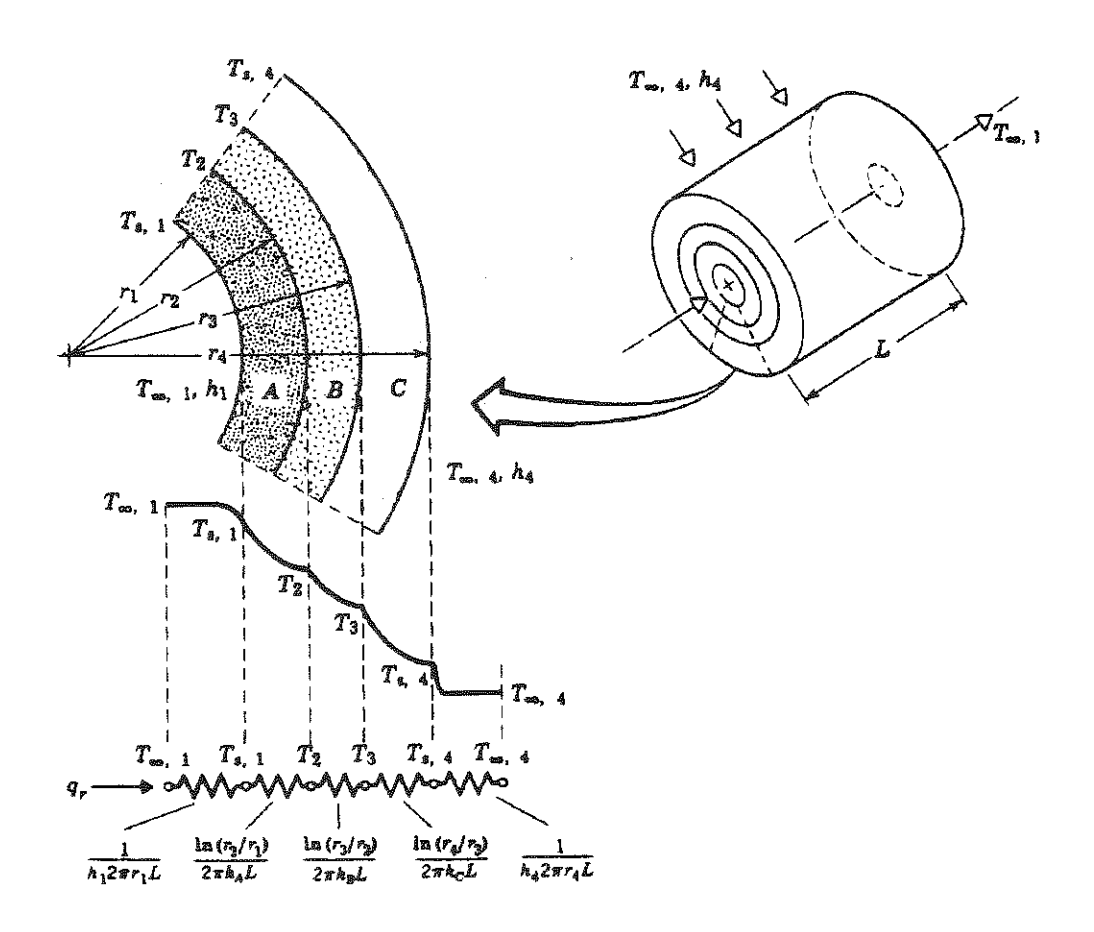


Figura 3.7 - Distribuição de temperatura num sólido cilíndrico composto.

Lembrando como foi o tratamento da parede plana composta, e desprezando as resistências de contato interfaciais, a taxa de transferência de calor pode ser exprimida como:

$$q_{r} = \frac{T_{\infty,I} - T_{\infty,4}}{\frac{1}{2\pi \cdot r_{1} \cdot L \cdot h_{1}} + \frac{\ln(r_{2}/r_{1})}{2\pi \cdot k_{A} \cdot L} + \frac{\ln(r_{3}/r_{2})}{2\pi \cdot k_{B} \cdot L} + \frac{\ln(r_{4}/r_{3})}{2\pi \cdot k_{C} \cdot L} + \frac{1}{2\pi \cdot r_{4} \cdot L \cdot h_{4}}}$$
(3.29)

O resultado anterior também pode ser representado em termos de um coeficiente global de transferência de calor, isto é:

$$q_{r} = \frac{T_{\infty,I} - T_{\infty,2}}{R_{tot}} = U_{I} \cdot A_{I} \cdot (T_{\infty,I} - T_{\infty,2})$$
(3.30)

onde  $A_1 = 2\pi \cdot r_1 \cdot L$  e

$$U_{1} = \frac{1}{\frac{1}{h_{1}} + \frac{r_{1}}{k_{A}} \ln\left(\frac{r_{2}}{r_{1}}\right) + \frac{r_{1}}{k_{B}} \ln\left(\frac{r_{3}}{r_{2}}\right) + \frac{r_{1}}{k_{C}} \ln\left(\frac{r_{4}}{r_{3}}\right) + \frac{r_{1}}{r_{4}} \frac{1}{h_{4}}}$$
(3.31)

A equação (3.30) define U em termos da área interna  $A_I$  do cilindro composto. Esta definição é arbitrária, e o coeficiente global pode também ser definido em termos de  $A_I$  ou de qualquer outra área intermediária. Observe que:

$$U_{1}A_{1} = U_{2}A_{2} = U_{3}A_{3} = U_{4}A_{4} = \frac{1}{\sum R_{r}}$$
 (3.32)

e as formas particulares de  $U_2$ , de  $U_3$ , e de  $U_4$  podem ser inferidas da equação (3.29).

# Exemplo 3.3

A presença de efeitos competitivos associados ao aumento da espessura de um isolamento sugere a possível existência de uma espessura ótima do isolamento em sistemas radiais. Em particular, embora a resistência condutiva aumente com o acréscimo de isolante, a resistência convectiva diminui em virtude do aumento da área da superficie externa. Então, pode existir uma espessura de isolamento que minimiza a perda térmica graças à maximização da resistência total à transferência de calor. Resolver esta questão considerando o seguinte sistema:

- 1. Um tubo de cobre, de paredes delgadas e raio  $r_i$ , é usado para transportar um refrigerante a baixa temperatura, numa temperatura  $T_i$ , menor que a do ambiente a  $T_{\infty}$ , em torno do tubo. Há uma espessura ótima à camada de isolante aplicada ao tubo?
- 2. Confirmar o resultado conseguido mediante o cálculo da resistência térmica total por unidade de comprimento num tubo de 10mm de diâmetro, com as seguintes espessuras de isolamento: 0, 2, 5, 10, 20, 40mm. O isolamento é constituído por vidro celular cujo coeficiente de convecção externo é 5W/m²-K.

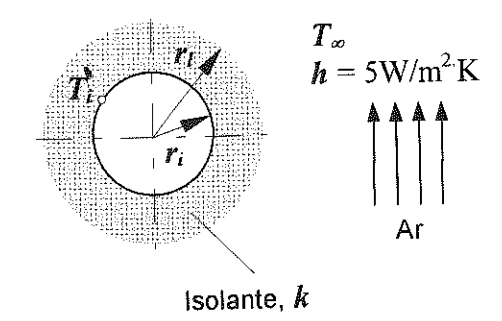
#### Solução:

 $\underline{\text{Dados}}$ : O raio  $r_i$  e a temperatura  $T_i$  de um tubo de cobre, de paredes delgadas, a ser isolado termicamente do ar ambiente.

#### Incognitas:

- 1 A existência de uma espessura de isolamento ótima que minimizaria a taxa de transferência de calor
- 2 A resistência térmica do isolamento com vidro celular de diferentes espessuras

## Esquema:



# Hipóteses:

- 1. As condições são de regime permanente.
- 2. A transferência de calor é unidimensional na direção radial do cilindro.
- 3. A resistência térmica da parede do tubo é desprezível.
- 4. A troca radiativa entre a superficie externa do isolamento e ambiente é desprezível.

<u>Propriedades</u>: Tabela A.3, vidro celular (285K, por hipótese):  $k = 0.055 \text{W/m} \cdot \text{K}$ .

# Análise:

1. A resistência à transferência de calor entre o refrigerante e o ar é dominada pela condução no isolamento e pela convecção para o ar. O circuito térmico é então:

$$\begin{array}{c|c}
T_{\infty} & q' \\
\hline
\frac{1}{2\pi rh} & \frac{\ln(r/r_i)}{2\pi k}
\end{array}$$

onde as resistências condutiva e convectiva, por unidade de comprimento do tubo, são dadas, respectivamente, pelas equações (3.28) e (3.29).

A resistência total, por unidade de comprimento do tubo, fica:  $R'_{tot} = \frac{ln(r/r_i)}{2\pi \cdot k} + \frac{1}{2\pi \cdot r \cdot h}$ 

onde a taxa de transferência de calor por unidade de comprimento do tubo é

$$q' = \frac{T_{\infty} - T_i}{R'_{mi}}$$

Uma espessura ótima do isolamento estaria associada ao valor de r que tornasse mínima q, ou máxima  $R'_{tot}$ . Este valor pode ser obtido pela equação

$$\frac{dR'_{tot}}{dr} = 0. \quad \text{Portanto}, \quad \frac{1}{2\pi \cdot k \cdot r} - \frac{1}{2\pi \cdot r^2 \cdot h} = 0 \quad \text{ou} \quad r = \frac{k}{h}$$

Para determinar se o resultado anterior torna máxima ou mínima a resistência total, é preciso calcular a derivada segunda. Então:

$$\frac{d^2R'_{tot}}{dr^2} = -\frac{1}{2\pi \cdot k \cdot r^2} + \frac{1}{\pi \cdot r^3 \cdot h} \quad \text{ou, em} \quad r = k/h$$

$$\frac{d^2 R'_{tot}}{dr^2} = \frac{1}{\pi (k/h)^2} \left( \frac{1}{k} - \frac{1}{2k} \right) = \frac{1}{2\pi \cdot k^3/h^2} > 0$$

Uma vez que este resultado é sempre positivo, r = k/h é o raio do isolamento que faz a resistência total um mínimo, e não um máximo. Então, não existe uma espessura ótima do isolamento.

Com o resultado anterior faz mais sentido falar em termos de um raio crítico de isolamento  $(r_{cr})$  abaixo do qual q cresce com o aumento de r e acima do qual q diminui com o aumento de r:

$$r_{cr} = \frac{k}{h}$$

2. Com 
$$h = 5\text{W/m}^2\text{K}$$
 e  $k = 0.055\text{W/m}\text{K}$ , o raio crítico é  $r_{cr} = \frac{0.055}{5} = 0.011\text{m}$ .

Então,  $r_{cr} > r_i$  e a transferência de calor aumenta com a adição de isolamento até uma espessura de  $r_{cr} - r_i = 0.011 - 0.005 = 0.006m$ 

A resistência térmica correspondente a cada espessura mencionada do isolante pode ser calculada e o resumo está na tabela seguinte:

Espessura do Isolamento (r - r <sub>i</sub> ) [mm]	Resistências Térmicas (r) [m]	Raios de Isolamento [mˈK/W]		
(, ,,, [,,		R cond	R conv	R tot
0	0,005	0	6,37	6,37
2	0,007	0,97	4,55	5,52
5	0,010	2,00	3,18	5,18
6	$r_{cr} = 0.011$	2,28	2,89	5,17
10	0,015	3,18	2,12	5,30
20	0,025	4,66	1,27	5,93
40	0,045	6,35	0,71	7,06

#### Comentários:

- 1. O efeito do raio crítico fica revelado pelo fato de 20mm de isolamento proporcionarem uma resistência total que não é tão grande quando a resistência sem isolamento.
- 2. Se  $r_i < r_{cr}$ , como neste caso, a resistência total diminui e a taxa de transferência de calor aumenta com a adição de isolamento. Esta tendência continua a prevalecer até que o raio

externo do isolamento corresponda ao raio crítico. A tendência é desejável no caso da passagem de uma corrente elétrica através de uma fio metálico, pois a adição de isolamento elétrico seria um fator auxiliar na transferência do calor dissipado no fio para o ambiente. Inversamente, se  $r_i > r_{cr}$ , qualquer adição do isolamento aumentaria a resistência total e propiciaria assim uma diminuição de perda de calor. Este comportamento seria desejável no caso do escoamento de vapor de água através de um tubo, quando se adiciona isolamento para reduzir a perda térmica para o ambiente.

- 3. Nos sistemas radiais, o problema de redução da resistência total mediante a utilização de um isolamento só existe no caso de fios de pequeno diâmetro, ou tubos de pequeno diâmetro, com coeficientes de convecção também pequenos, de modo que  $r_{cr} > r_i$ . Com um isolamento típico ( $k \approx 0.003 \text{W/m K}$ ) e convecção livre no ar ( $k \approx 10 \text{W/m}^2 \text{K}$ ), o  $r_{cr} = k/h \approx 0.003 \text{m}$ . Este pequeno valor nos mostra que normalmente,  $r_i > r_{cr}$ , sem que haja necessidade de se levar em conta os efeitos do raio crítico.
- 4. A existência de um raio crítico ocorre quando a área de transferência de calor se altera na direção da transferência, como é o caso da condução radial num cilindro (ou numa esfera). Numa parede plana, por exemplo, a área perpendicular à direção do fluxo de calor é constante e não há espessura crítica do isolamento (a resistência total sempre aumenta com o aumento da espessura do isolamento).

#### 3.3.2 - A Esfera

Considere a aplicação do método alternativo de análise da condução numa esfera oca (Figura 3.8).

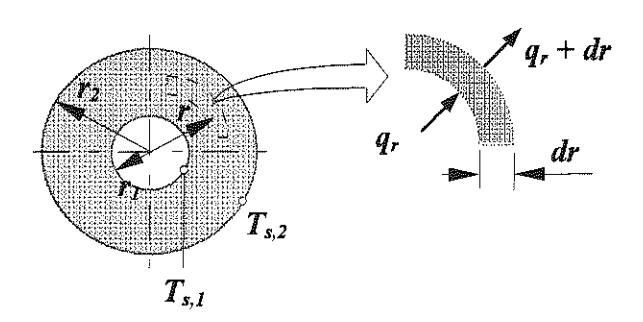


Figura 3.8 - Condução numa casca esférica.

No caso de condução unidimensional em regime permanente sem geração de calor, a conservação de energia exige que, no volume de controle infinitesimal da figura, se tenha  $q_r = q_r + dr$ . A forma apropriada da Lei de Fourier é

$$q_r = -k \cdot A \cdot \frac{dT}{dr} = -k \cdot \left(4\pi r^2\right) \cdot \frac{dT}{dr} \tag{3.33}$$

onde  $A = 4\pi r^2$  é a área normal à direção na transferência de calor.

Levando em conta que  $q_r$  é uma constante, independente de r, a equação (3.33) pode ser expressa na forma integral:

$$\frac{q_r}{4\pi} \int_{r_1}^{r_2} \frac{dr}{r^2} = -\int_{T_{t,1}}^{T_{t,2}} k(T) dT \tag{3.34}$$

Admitindo seja k constante, obtemos

$$q_r = \frac{4\pi \cdot k \cdot (T_{s,l} - T_{s,2})}{(1/r_1) - (1/r_2)} \tag{3.35}$$

Lembrando que a resistência térmica é definida como o quociente entre a diferença de temperatura e a taxa de transferência de calor, obtemos:

$$R_{t,\text{cond}} = \frac{1}{4\pi \cdot k} \cdot \left( \frac{1}{r_1} - \frac{1}{r_2} \right) \tag{3.36}$$

Observe que tanto a distribuição de temperaturas quanto as equações (3.35) e (3.36) poderiam ter sido obtidas mediante a abordagem padrão (a forma apropriada da equação da condução do calor).

Os sistemas compostos esféricos podem ser tratados de maneira muito semelhante ao que foi adotado no caso de paredes e cilindros compostos, onde podem ser determinadas as formas da resistência total e do coeficiente global de transferência de calor.

#### Exemplo 3.4

Um vaso metálico esférico, de paredes delgadas, é usado para guardar nitrogênio líquido a 77 K. O vaso tem diâmetro de 50cm e está dentro de um isolante evacuado, refletivo, constituído por pó de sílica. O isolamento tem 25mm de espessura e sua superficie externa está exposta ao ar ambiente, a 300 K. O coeficiente de convecção é 20W/m²-K. O calor latente de vaporização e a densidade do nitrogênio líquido são, respectivamente, 200kJ/kg e 804Kg/m³. Pergunta-se:

- 1. Qual é a taxa de transferência de calor para o mitrogênio líquido?
- 2. Qual é a taxa de perda do líquido por vaporização?

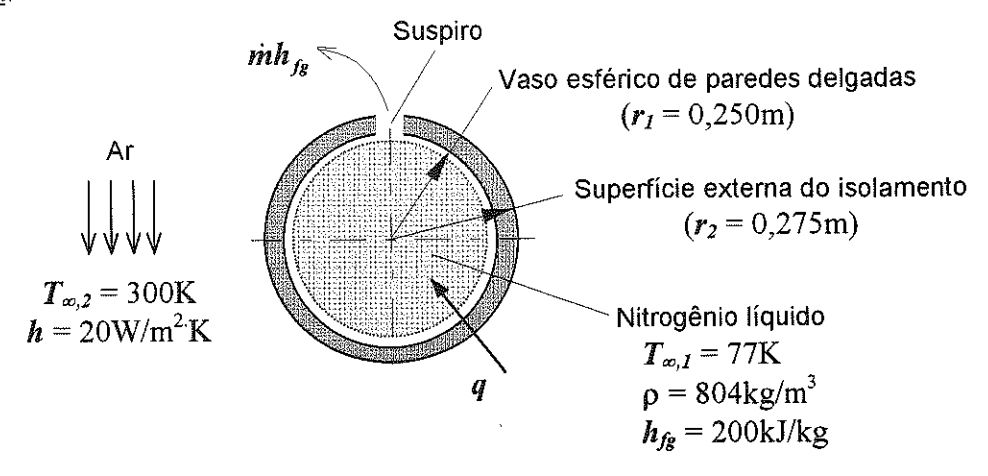
#### Solução:

Dados: O nitrogênio líquido está num vaso esférico que está isolado do ar ambiente.

#### Incógnitas:

- 1. A taxa de transferência de calor para o nitrogênio.
- 2. A taxa de perda do líquido por vaporização.

Esquema:



## Hipóteses:

- 1. As condições são as de regime permanente.
- 2. A transferência de calor é unidimensional na direção radial.
- 3. A resistência à transferência de calor através da parede do vaso, e desta para o nitrogênio são desprezíveis.
- 4. As propriedades são constantes.
- 5. A troca radiativa entre a superficie externa do isolamento e o ambiente é desprezível.

Propriedades: Tabela A.3, pó de sílica evacuado (300K): k = 0,0017 W/m/K.

#### Análise:

1. O circuito térmico envolve resistências condutiva e convectiva em série cuja representação é dada como se segue:

$$q \longrightarrow \bigcap_{\infty,2} \bigcap_{R_{t,conv}} \bigcap_{R_{t,cond}} \bigcap_{R_{t,cond}} \bigcap_{\infty,1} \bigcap_{$$

onde pela equação (3.36), 
$$R_{t,cond} = \frac{1}{4\pi \cdot k} \cdot \left(\frac{1}{r_1} - \frac{1}{r_2}\right)$$

e, pela equação (3.9), 
$$R_{t,conv} = \frac{1}{4\pi \cdot h} \cdot \frac{1}{r_2^2}$$

Então, a taxa de transferência de calor para o nitrogênio líquido fica:

$$q = \frac{T_{\infty,2} - T_{\infty,1}}{(1/4\pi \cdot k)[(1/r_1) - (1/r_2)] + (1/(4\pi \cdot h \cdot r_2^2))}.$$
 Assim,

$$q = \frac{(300-77)}{\left[\frac{1}{4\pi \cdot (0,0017)} \cdot \left(\frac{1}{0,250} - \frac{1}{0,275}\right) + \frac{1}{4\pi \cdot 20 \cdot (0,275)^2}\right]} = \frac{233}{17,02+0,05} = 13,06W$$

2. Fazendo um balanço de energia numa superficie de controle em torno do nitrogênio, segue-se, pela equação (1.12), que  $\dot{E}_{ef} - \dot{E}_{ef} = \theta$  onde  $\dot{E}_{af} = q$ , e  $\dot{E}_{ef} = \dot{m}h_{fg}$  está associada à perda de energia latente, em virtude da ebulição. Então:  $q - \dot{m}h_{fg} = \theta$  e a taxa de vaporização é  $\dot{m} = \frac{q}{h_{fg}}$ . Dessa forma:

$$\dot{m} = \frac{13,06 \ J/s}{2 \times 10^{5} \ J/kg} = 6,53 \times 10^{-5} \ kg/s$$

A perda por dia é

$$\dot{m} = 6.53 \times 10^{-5} \text{ kg/s} \times 3600 \text{ s/h} \times 24 \text{ h/dia}$$
  
 $\dot{m} = 5.64 \text{ kg/dia}$ 

ou, numa base volumétrica

$$\dot{V} = \frac{\dot{m}}{\rho} = \frac{5,64 \text{ kg/dia}}{804 \text{ kg/m}^3} = 0,007 \text{ m}^3/\text{dia} = 7 \text{ litros/dia}.$$

#### Comentários:

- 1.  $R_{t,conv} \ll R_{t,cond}$
- 2. Com o volume do vaso de  $\frac{4}{3}\pi r_I^3 = 0.065\text{m}^3 = 65$  litros, a perda diária corresponde a (7litros / 65litros)×100% = 10.8% da capacidade.

# 3.4 - Condução com Geração de Energia Térmica

Na parte precedente, considerou-se problemas de condução nos quais a distribuição de temperatura num meio era determinada exclusivamente pelas condições nas fronteiras do meio. Vamos considerar agora o efeito adicional de processos que possam estar ocorrendo no interior do meio sobre a distribuição de temperatura. Em particular, deseja-se considerar situações nas quais há geração de energia térmica em virtude da conversão de alguma outra forma de energia.

Um processo comum de geração de energia térmica envolve a conversão de energia elétrica em térmica num meio condutor de corrente (aquecimento resistivo). A taxa de geração de energia, pela passagem de uma corrente I através de um meio de resistência

elétrica  $R_e$ , é dada por  $\dot{E}_g = I^2 R_e$  (equação 3.37). Se a geração de potência [J/s ou W] ocorrer uniformemente num meio de volume V, a taxa de geração volumar [W/m<sup>3</sup>] é então:

$$\dot{q} = \frac{\dot{E}_s}{V} = \frac{I^2 R_c}{V} \tag{3.38}$$

A geração de energia pode também ocorrer em consequência da desaceleração e absorção de nêutrons num elemento combustível de um reator nuclear, ou em consequência de reações químicas exotérmicas que ocorrem no interior do meio. Evidentemente, as reações endotérmicas teriam o efeito inverso (haveria um sorvedouro de energia térmica), convertendo a energia térmica na energia de ligação química. Finalmente, é possível a conversão de energia eletromagnética em energia térmica em virtude da absorção de radiação pelo meio. O processo pode ocorrer, por exemplo, em virtude de raios gama serem absorvidos nos componentes externos de um reator nuclear (revestimento, blindagem térmica, vasos de pressão, etc.), ou em virtude de radiação visível ser absorvida num meio semitransparente. É bom lembrar que a geração de energia não se confunde com a acumulação de energia.

#### 3.4.1 - A Parede Plana

Considere uma parede plana na qual há geração *uniforme* de energia por unidade de volume ( $\dot{q}$  é constante) e as superficies mantidas a  $T_{s,1}$  e  $T_{s,2}$  (Figura 3.9a). Com condutividade térmica k constante, a forma apropriada da equação da condução do calor, (equação 2.16) é

$$\frac{d^2T}{dr^2} + \frac{\dot{q}}{k} = 0 \tag{3.39}$$

A solução geral é 
$$T = -\frac{\dot{q}}{2k}x^2 + C_I x + C_2$$
 (3.40)

onde  $C_1$  e  $C_2$  são constantes de integração. Com as condições de contorno dadas.

$$T(-L)=T_{s,1}$$
 e  $T(L)=T_{s,2}$ 

Assim, as constantes podem ser calculadas e têm a forma

$$C_1 = \frac{T_{s,2} - T_{s,1}}{2L}$$
 e  $C_2 = \frac{\dot{q}}{2k} \cdot L^2 + \frac{T_{s,1} + T_{s,2}}{2}$ .

Neste caso a distribuição de temperatura é

$$T(x) = \frac{\dot{q} \cdot L^2}{2k} \cdot \left(1 - \frac{x^2}{L^2}\right) + \frac{T_{s,2} - T_{s,1}}{2} \cdot \left(\frac{x}{L}\right) + \frac{T_{s,1} + T_{s,2}}{2}$$
(3.41)

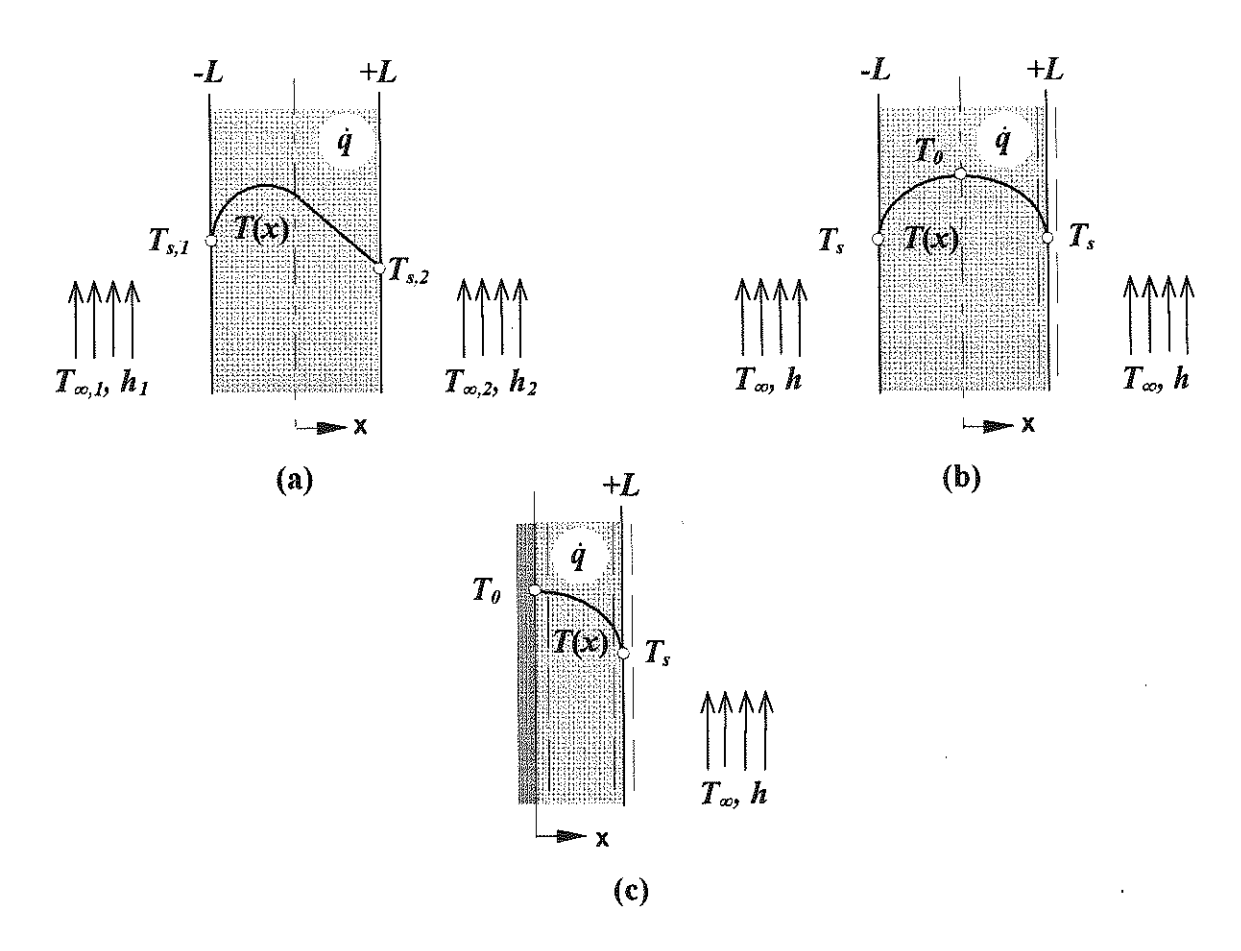


Figura 3.9 - Condução numa parede plana com geração uniforme de calor: (a) condições de contorno assimétricas; (b) condições de contorno simétricas; (c) superfície adiabática no plano mediano.

O fluxo de calor em qualquer ponto da parede pode ser determinado pela equação (3.41) e a pela Lei de Fourier. Observe, no entanto, que com a geração de calor, o fluxo de calor passa a depender de x.

O resultado precedente fica simplificado quando as duas superficies são mantidas a uma mesma temperatura,  $(T_{s,1} = T_{s,2} \equiv T_s)$ . A distribuição de temperatura é então simétrica em relação ao plano mediano (Figura 3.9b), e dada por

$$T(x) = \frac{\dot{q} \cdot L^2}{2k} \cdot \left(1 - \frac{x^2}{L^2}\right) + T_s \tag{3.42}$$

A temperatura máxima ocorre no plano mediano:

$$T(0) \equiv T_0 = \frac{\dot{q} \cdot L^2}{2k} + T_s \tag{3.43}$$

e neste caso a distribuição de temperatura (equação 3.42) pode ser exprimida como

$$\frac{T(x)-T_{\theta}}{T_{c}-T_{\theta}} = \left(\frac{x}{L}\right)^{2} \tag{3.44}$$

É importante observar que, no plano de simetria da Figura 3.9b, o gradiente de temperatura é nulo  $((dT/dx)_{x=0} = 0)$ . Então, este plano pode ser representado pela superficie adiabática que aparece na Figura 3.9c. Uma consequência deste fato é o emprego da equação (3.42) em paredes planas perfeitamente isoladas numa face (x = 0) e mantidas a uma temperatura fixa  $T_x$  na outra face (x = L).

Para usar os resultados anteriores, as temperaturas superficiais  $T_s$  devem ser conhecidas. No entanto, uma situação comum é aquela em que se conhece a temperatura de um fluido adjacente à parede,  $T_{\infty}$ , e não  $T_s$ . Faz-se necessário relacionar  $T_s$  a  $T_{\infty}$ . Esta relação pode ser deduzida mediante um balanço de energia na superficie. Consideremos a superficie em x = L, da parede plana simétrica (Figura 3.9b), ou da parede plana isolada (Figura 3.9c). Desprezando a radiação, e com as equações de taxas apropriadas, o balanço de energia, dado pela equação (1.12), se reduz a

$$-k\frac{dT}{dx}\bigg|_{x=1} = h \cdot \left(T_s - T_{\infty}\right) \tag{3.45}$$

Voltando para a equação (3.42) a fim de se ter o gradiente de temperatura em x = L, e fazendo a substituição, vem

$$T_{s} = T_{\infty} + \frac{\dot{q} \cdot L}{h} \tag{3.46}$$

Então  $T_{\sigma}$  pode ser calculada a partir do conhecimento de  $T_{\infty}$ ,  $\dot{q}$ , L e h

A equação (3.46) também pode ser deduzida por um balanço global de energia na parede plana das Figuras 3.9b ou 3.9c. Por exemplo, em relação à superficie de controle em torno da parede (Figura 3.9c), a taxa de geração de energia no interior da parede deve ser anulada pela taxa de saída de energia da parede, em consequência da convecção na fronteira. A equação (1.1a) se reduz a

$$\dot{E}_s = \dot{E}_{cf} \tag{3.47}$$

ou, numa área superficial unitária

$$\dot{q} \cdot L = h \cdot (T_s - T_{\infty}) \tag{3.48}$$

Resolvendo (3.48) em T<sub>s</sub>, chega-se à equação (3.46)

A equação (3.46) pode ser combinada com a equação (3.42) a fim de se eliminar  $T_s$  da distribuição de temperaturas, que fica então expressa em termos das grandezas conhecidas  $\dot{q}$ , L, k, h, e  $T_{\infty}$ . O mesmo resultado pode ser obtido diretamente através da equação (3.45) como condição de contorno, a fim de se calcularem as constantes de integração da equação (3.40).

### Exemplo 3.5

Uma parede plana é composta de dois materiais ( $A \in B$ ). A parede de material A tem uma geração uniforme de calor  $\dot{q} = 1500 \text{kW/m}^3$ ,  $k_A = 75 \text{W/m} \cdot \text{K}$  e espessura  $L_A = 50 \text{mm}$ . A parede de material B não tem geração de calor,  $k_B = 150 \text{W/m} \cdot \text{K}$  e espessura  $L_B = 20 \text{mm}$ . A superficie interna do material A está bem isolada, enquanto a superficie externa do material B está resfriada por uma corrente de água com  $T_\infty = 30^\circ \text{C}$  e  $h = 1 \text{kW/m}^2 \cdot \text{K}$ . (1) Fazer o gráfico da distribuição de temperatura na parede composta, em regime permanente. (2) Determinar a temperatura  $T_\theta$  da superficie isolada e a temperatura  $T_2$  da superficie resfriada.

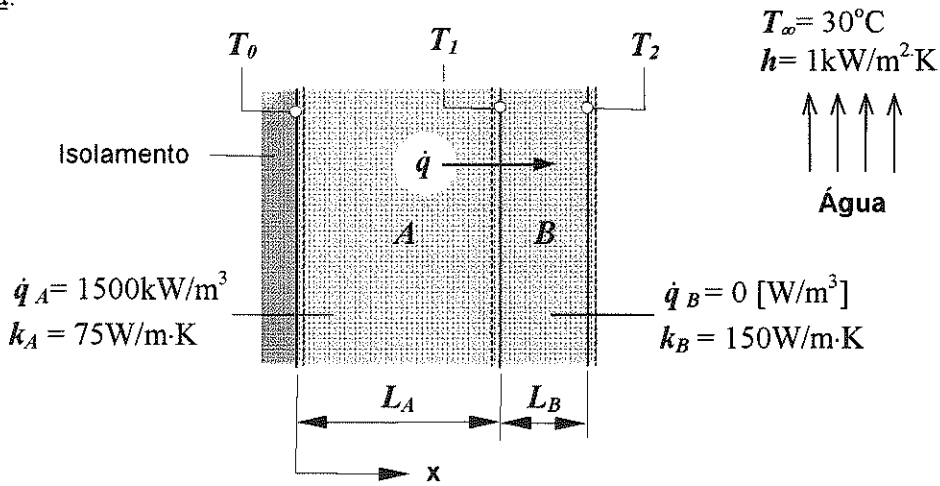
### Solução:

<u>Dados</u>: A parede plana de material *A* tem geração interna de calor, está isolada numa face e limitada na outra face por uma segunda parede de material *B*, que não tem geração de calor e está sujeita a resfriamento convectivo.

### Incógnitas:

- 1. O gráfico da distribuição de temperatura, em regime permanente, na parede composta.
- 2. As temperaturas nas faces interna e externa da parede composta.





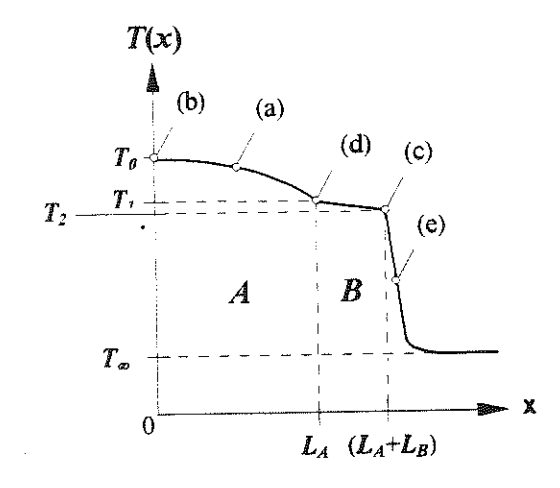
### Hipóteses:

- 1. As condições são de regime permanente.
- 2. A condução é unidimensional na direção x.
- 3. A resistência de contato entre as paredes é desprezível.
- 4. A superficie interna de A é adiabática.
- 5. Os materiais A e B têm propriedades constantes.

#### Análise:

1. De acordo com as condições físicas descritas, a distribuição de temperatura na parede composta tem as seguintes características, conforme o gráfico abaixo:

- (a) É parabólica no material A.
- (b) Tem inclinação nula na fronteira isolada.
- (c) É linear no material B.
- (d) Tem uma variação de inclinação na interface  $(k_B/k_A = 2)$ .
- A distribuição de temperatura na água é caracterizada por:
  - (e) Grandes gradientes nas vizinhanças da superficie.



3. A superficie externa tem uma temperatura  $T_2$  que pode ser calculada mediante um balanço de energia num volume de controle em torno do material B. Uma vez que não há geração de calor neste material, segue-se que, em condições de regime permanente, e numa área superficial unitária, o fluxo de calor que entra no material em  $x = L_A$  deve ser igual ao fluxo de calor que sai do material em virtude da convecção em  $x = L_A + L_B$ . Então,  $q'' = h \cdot (T_2 - T_{\infty})$ 

O fluxo de calor q'' pode ser determinado mediante um segundo balanço de energia, num volume de controle em torno do material A. Em particular, uma vez que a superficie em x=0 é adiabática, não há afluxo, e a taxa em que a energia é gerada deve ser igual à taxa de saída. Assim, numa área superficial unitária,  $q \cdot L_A = q''$  (II)

Combinando as equações (I) e (II), a temperatura da face externa é

$$T_2 = T_{\infty} + \frac{\dot{q} \cdot L_A}{h_{2}} = 30 + \frac{1.5 \times 10^6 \times 0.05}{1000}$$
 :  $T_2 = 105^{\circ} C$ 

Pela equação (3.43), a temperatura da face isolada é  $T_{\theta} = \frac{\dot{q} \cdot L_A^2}{2k_A} + T_I$  (III)

onde  $T_I$  pode ser calculada mediante o seguinte circuito térmico:

$$q'' \longrightarrow T_1 \qquad T_2 \qquad T_\infty$$

$$R''_{cond,B} \qquad R''_{conv}$$

Isto é,  $T_1 = T_{\infty} + (R''_{cond,B} + R''_{conv}) \cdot q''$  onde as resistências nas áreas superficiais unitárias

são: 
$$R''_{cond,B} = \frac{L_B}{k_B}$$
  $e$   $R''_{conv} = \frac{1}{h}$ 

Portanto: 
$$T_1 = 3\theta + \left(\frac{\theta,02}{15\theta} + \frac{1}{1000}\right) \times 1,5 \cdot 10^6 \times \theta,05m = 3\theta + 85$$
 :  $T_1 = 115^{\circ}C$ 

Da equação (III): 
$$T_{\theta} = \frac{1.5 \cdot 10^6 \times (\theta.05)^2}{2 \times 75} + 115 = 25 + 115 \quad \therefore \quad T_{\theta} = 140^{\circ} C$$

### Comentários:

1. O material A, no qual há geração de calor, não pode ser representado por um elemento do circuito.

2. 
$$\frac{T_2 - T_{\infty}}{T_1 - T_2} = \frac{R''_{conv}}{R''_{cond,B}} = 7.5$$

### 3.4.2 - Sistemas Radiais

A geração de calor pode ocorrer em diversas geometrias radiais. Considere o cilindro comprido e maciço da Figura 3.10, que pode representar um fio condutor de corrente elétrica, ou um elemento combustível num reator nuclear.

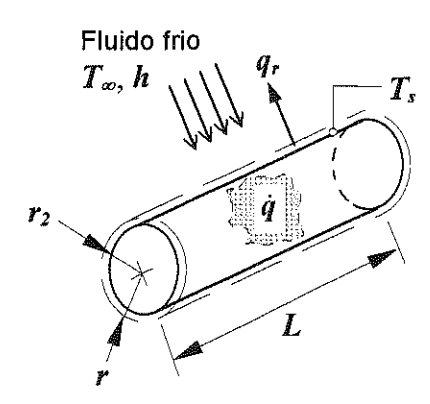


Figura 3.10 - Condução de calor num cilindro maciço com geração uniforme de calor.

Em condições de regime permanente, a taxa de geração de calor no interior do cilindro deve ser igual à taxa de transferência convectiva de calor para um fluido em movimento na superficie do cilindro. Esta condição permite que a temperatura superficial seja mantida num valor fixo  $(T_s)$ .

Para determinar a distribuição de temperatura num cilindro, inicia-se com a forma apropriada da equação de condução do calor. Coma condutividade térmica k constante, a equação (2.20) se reduz a

$$\frac{1}{r}\frac{d}{dr}\left(r\frac{dT}{dr}\right) + \frac{\dot{q}}{k} = 0 \tag{3.49}$$

Separando as variáveis e admitindo que a geração de calor seja uniforme, esta expressão pode ser integrada, levando a:

$$r\frac{dT}{dr} = -\frac{\dot{q}}{2k}r^2 + C_1 \tag{3.50}$$

Repetindo a integração, a solução geral para a distribuição de temperaturas fica

$$T(r) = -\frac{\dot{q}}{4k}r^2 + C_1 \cdot \ln(r) + C_2 \tag{3.51}$$

A fim de se terem as constantes de integração  $C_1$  e  $C_2$ , usamos as condições de contorno

$$\frac{dT}{dr}\Big|_{r=0} = 0$$
 e  $T(r_0) = T_s$ 

A primeira condição é consequência da simetria do problema. No cilindro maciço, o eixo é a linha de simetria da distribuição de temperaturas e nele, o gradiente de temperatura deve ser nulo. É bom lembrar que as mesmas condições existiam no plano mediano de uma parede com condições de contorno simétricas (figura 3.9b). Pela condição de simetria em r = 0, e pela equação (3.50), é evidente que  $C_1 = 0$ . Com a condição de contorno em  $r = r_0$ , a equação (3.51) leva a

$$C_2 = T_s + \frac{\dot{q}}{4k} r_\theta^2 \tag{3.52}$$

A distribuição de temperaturas fica

$$T(r) = \frac{\dot{q} \cdot r_{\theta}^2}{4k} \left( 1 - \frac{r^2}{r_{\theta}^2} \right) + T_s \tag{3.53}$$

Calculando a temperatura no eixo pela equação (3.53) e dividindo esta equação pelo seu resultado, a distribuição de temperatura aparece na forma adimensional

$$\frac{T(r)-T_s}{T_\theta-T_s}=1-\left(\frac{r}{r_\theta}\right)^2\tag{3.54}$$

onde  $T_{\theta}$  é a temperatura no eixo. Evidentemente, a taxa de transferência de calor a qualquer distância do eixo pode ser calculada pela equação (3.53) e pela Lei de Fourier.

A fim de relacionar a temperatura superficial  $(T_s)$  à temperatura do fluido frio  $(T_{\infty})$ , pode-se fazer tanto um balanço de energia na superficie quanto de energia global. Escolhendo o segundo caso, obteremos

$$\dot{q} \cdot (\pi \cdot r_0^2 \cdot L) = h \cdot (2\pi \cdot r_0 \cdot L) \cdot (T_s - T_{\infty}) \quad \text{ou}$$

$$T_s = T_{\infty} + \frac{\dot{q} \cdot r}{2h} \tag{3.55}$$

O raciocínio anterior pode ser usado para se obter a distribuição de temperatura em esferas maciças, e em cascas cilíndricas e esféricas, com diversas condições de contorno.

# Exemplo 3.6

Considere um tubo comprido sólido, com um isolamento no raio externo  $r_{\theta}$  e resfriado no raio interno  $r_i$ , com uma geração uniforme de calor  $\dot{q}$  [W/m<sup>3</sup>] na parede.

- 1. Determinar a solução geral da distribuição de temperatura no tubo.
- 2. Numa certa aplicação, há um limite na temperatura máxima admissível  $T_{\theta}$  na superficie isolada  $(r = r_{\theta})$ . Determinar as condições de contorno apropriadas para determinar as constantes arbitrárias que aparecem na solução geral.
- 3. Determinar a taxa de remoção de calor por unidade de comprimento do tubo.
- 4. Sendo disponível um refrigerante na temperatura  $T_{\infty}$ , deduzir uma expressão para o coeficiente de convecção que teria que existir na superficie interna a fim de ser possível a operação na temperatura  $T_{\theta}$ , com a taxa de geração  $\dot{q}$

### Solução:

<u>Dados</u>: Um tubo, com geração uniforme de calor na parede, está isolado na superficie externa e resfriado na superficie interna.

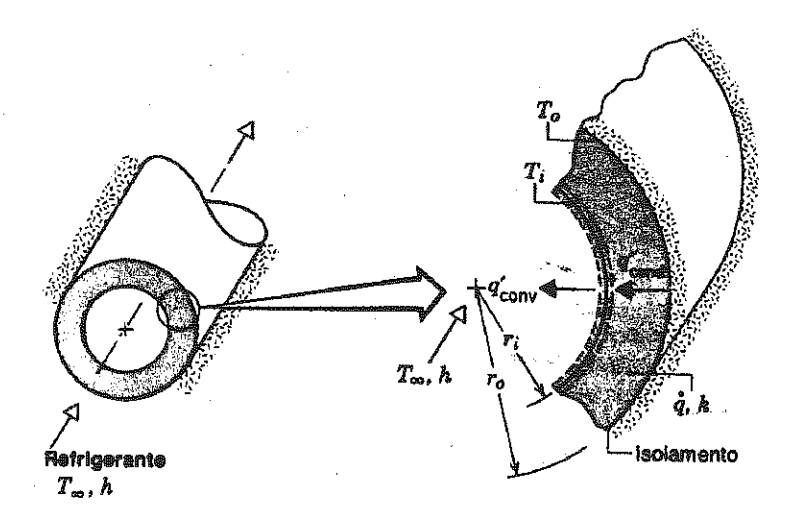
### Incógnitas:

- 1. A solução geral para a distribuição de temperatura T(r).
- 2. As condições de contorno apropriadas e a forma correspondente da distribuição de temperatura.
- 3. A taxa de remoção do calor.
- 4. O coeficiente de convecção na superficie interna.

# Hipóteses:

- 1. As condições são de regime permanente.
- 2. A condução é unidimensional na direção radial.
- As propriedades são constantes.
- 4. A geração volumétrica de calor é uniforme.
- 5 A superficie externa é adiabática.

Esquema:



### Análise:

- 1. Para se determinar T(r), é necessário resolver a forma apropriada da equação da condução de calor (equação 2.20). Nas condições descritas, esta expressão se reduz à equação (3.49), e a solução geral é dada pela equação (3.51). Então, esta solução se aplica não só a uma casca cilíndrica, mas também a um cilindro maciço (Figura 3.10).
- 2. São necessárias duas condições de contorno para calcular  $C_1$  e  $C_2$ , e neste problema é conveniente especificar as duas condições em  $r_{\theta}$ . Invocando o limite de temperatura mencionado,

$$T(r_{\theta}) = T_{\theta} \tag{I}$$

e aplicando a Lei de Fourier (equação 3.24) na superficie externa adiabática

$$\left. \frac{dT}{dr} \right|_{r_0} = 0 \tag{II}$$

Mediante as equações (3.51) e (I), segue-se que

$$T_0 = -\frac{\dot{q}}{4k} \cdot r_0^2 + C_1 \cdot \ln(r_0) + C_2 \tag{III}$$

Analogamente, pelas equações (3.50) e (II)

$$\theta = -\frac{\dot{q}}{2k} \cdot r_0^2 + C_I \tag{IV}$$

Portanto, pela equação (IV),

$$C_1 = \frac{\dot{q}}{2k} \cdot r_\theta^2 \tag{V}$$

e pela equação (III) 
$$C_2 = T_0 + \frac{\dot{q}}{4k} \cdot r_0^2 - \frac{\dot{q}}{2k} \cdot r_0^2 \cdot ln(r_0)$$
 (VI)

Retornando, com as equações (V) e (VI) na solução geral (equação 3.51), segue-se que

$$T(r) = T_o + \frac{\dot{q}}{4k} \cdot \left(r_o^2 - r^2\right) - \frac{\dot{q}}{2k} \cdot r_o^2 \cdot ln\left(\frac{r_o}{r}\right)$$
 (VII)

3. A taxa de remoção de calor pode ser determinada, ou pelo cálculo da taxa de condução em r<sub>i</sub>, ou pelo cálculo da taxa total de geração de calor no tubo. Pela Lei de Fourier,

$$q_r' = -k \cdot 2\pi r \cdot \frac{dT}{dr}$$

Então, calculando a derivada pela equação (VII) e determinando o resultado em ri, vem

$$q'(r_i) = -k \cdot 2\pi \cdot r_i \cdot \left( -\frac{\dot{q}}{2k} \cdot r_i + \frac{\dot{q}}{2k} \cdot \frac{r_o^2}{r_i} \right) = -\pi \cdot \dot{q} \cdot \left( r_o^2 - r_i^2 \right)$$
(VIII)

De outra maneira, em virtude de o tubo estar isolado em  $r_{\theta}$ , a taxa de geração de calor no tubo deve ser igual à taxa de remoção em  $r_{i}$ . Isto é, num volume de controle em torno do tubo, a conservação de energia (equação 1.11a), se reduz a  $\dot{E}_{g} - \dot{E}_{ef} = \theta$ , onde

$$\dot{E}_{g} = \dot{q} \cdot \pi \cdot (r_{\theta}^{2} - r_{i}^{2}) \cdot L \qquad \text{e} \qquad \dot{E}_{ef} = q'_{cond} \cdot L = -q'_{r} \cdot (r_{i}) \cdot L \qquad \text{Então},$$

$$q'_{r}(r_{i}) = -\pi \cdot \dot{q} \cdot (r_{\theta}^{2} - r_{i}^{2}) \qquad (IX)$$

4. Com a conservação de energia, equação (1.12), na superficie interna, conclui-se que  $q'_{cond} = q'_{conv}$  ou  $\pi \cdot \dot{q} \cdot (r_{\theta}^2 - r_i^2) = h \cdot 2\pi \cdot r_i \cdot (T_i - T_{\infty})$ .

Daí, 
$$h = \frac{\dot{q} \cdot \left(r_o^2 - r_i^2\right)}{2r_i \cdot \left(T_i - T_\infty\right)}$$
 (X)

onde  $T_i$  pode ser obtida para se estimar a equação (VII) em  $r = r_i$ .

<u>Comentários</u>: Observe que, com a aplicação da Lei de Fourier na Análise 3, o sinal de  $q_r(r_i)$  ficou negativo (equação VIII), ou seja, o fluxo de calor está na direção negativa de r. No entanto, ao se fazer o balanço de energia, verifica-se que o fluxo de calor ocorre para fora da parede. Por isso, representa-se  $q_{cond}$  como  $-q_r(r_i)$ , e exprime-se  $q_{conv}$  em termos de  $(T_i - T_{\infty})$  e não de  $(T_{\infty} - T_i)$ 

# 3.5 - Transferência de Calor em Superfícies Expandidas

Usa-se comumente o termo superficie expandida para caracterizar um sólido que sofre transferência de energia por condução no interior das suas fronteiras e também por convecção (ou por radiação, ou por ambos) entre suas fronteiras e as vizinhanças. Um destes sistemas aparece esquematizado na Figura 3.11

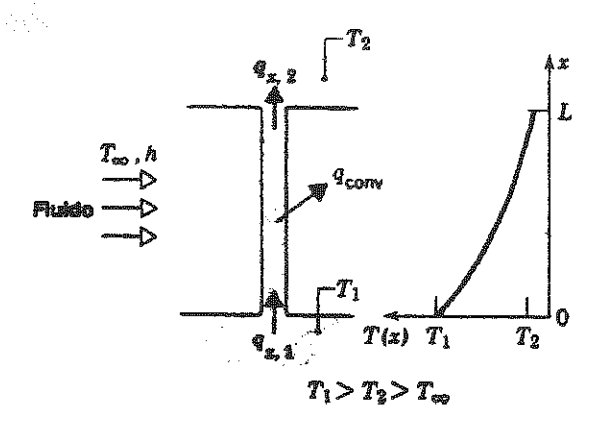


Figura 3.11 - Condução e convecção combinadas num elemento estrutural.

Um montante proporciona o suporte mecânico das duas chapas que estão à temperaturas diferentes. O gradiente de temperaturas na direção x sustenta a transferência de calor interna e condutiva; ao mesmo tempo, há transferência de energia por convecção na superfície. Embora existam muitas situações diferentes que envolvem os efeitos combinados da condução e da convecção, a aplicação mais frequente é aquela na qual uma superfície expandida é usada especificamente para aumentar a taxa de transferência de calor entre um sólido e um fluido adjacente. Esta superfície expandida é uma aleta.

Considere uma chapa plana, conforme a Figura 3.12a. Se  $T_s$  for fixa, há duas formas pelas quais a taxa de transferência de calor pode ser aumentada. Pode-se aumentar o coeficiente de convecção(h) mediante (1) o aumento da velocidade do fluido, ou (2) pela diminuição da temperatura ( $T_{\infty}$ ) do fluido, ou ainda pelos dois efeitos. No entanto, encontram-se muitas situações nas quais o aumento de h até o valor máximo possível ou é insuficiente para se conseguir a taxa de transferência de calor desejada, ou está associada a custos proibitivos. Esses custos estão relacionados às exigências da potência do soprador ou da bomba que se precisa para aumentar h, graças ao aumento da velocidade do fluido. Além disso, a redução de  $T_{\infty}$  é frequentemente inviável (segunda opção).

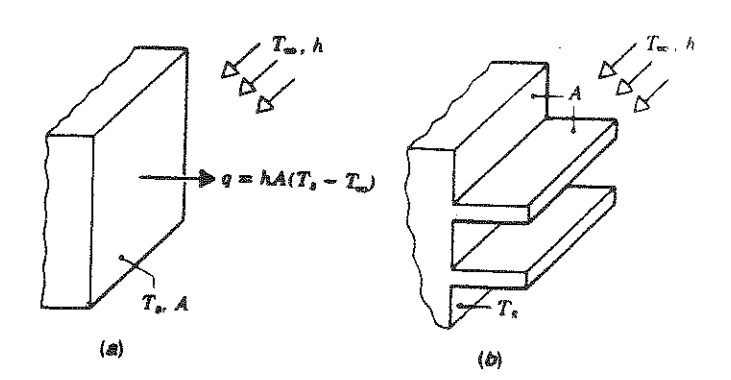


Figura 3.12 - Utilização de aletas para aumentar a transparência de calor de uma chapa plana:

(a) Superfície Desnuda. (b) Superfície aletada.

Ao se examinar a Figura 3.12b, verifica-se que existe uma terceira escolha: a taxa de transferência de calor pode ser aumentada mediante o aumento da área superficie através da qual ocorre a convecção. Isto pode ser feito mediante *aletas* que se *estendem* da chapa para dentro do fluido circundante.

A condutividade térmica do material da *aleta* tem um efeito significativo sobre a distribuição de temperatura ao longo desta, e influencia o grau de aumento da taxa de transferência de calor. Nos casos ideais, esse material deve possuir uma condutividade térmica grande a fim de minimizar as variações de temperatura entre sua base e sua ponta. No limite, com a condutividade térmica infinitamente grande, toda a *aleta* estaria na temperatura da superfície da base e proporcionaria, assim, o aumento máximo possível da transferência de calor. São exemplos as aletas de resfriamento dos cabeçotes de motores de motocicletas. Outro exemplo é o dos tubos aletados que se usam para promover a troca de calor entre o ar e o fluido de operação de um condicionador de ar.

A Figura 3.13 mostra duas montagens comuns de tubos aletados, e a Figura 3.14 mostra diferentes configurações de aletas.

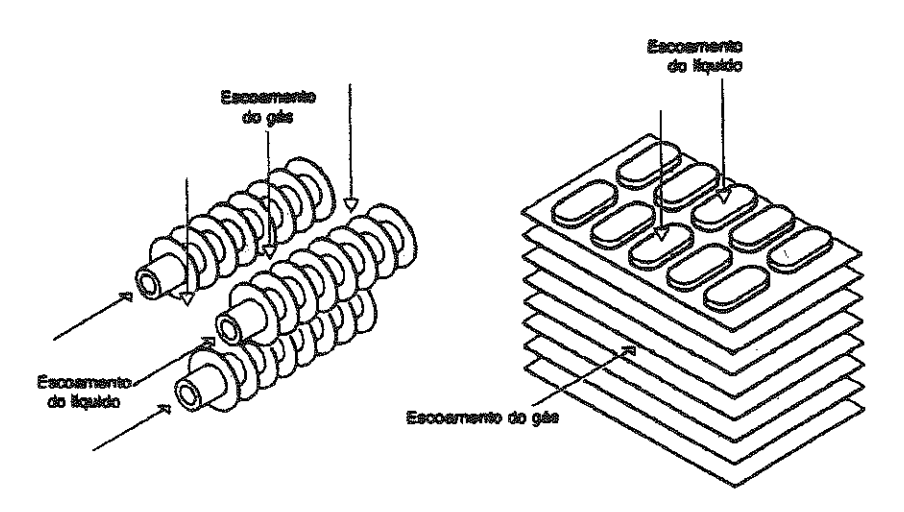


Figura 3.13 - Esquema de trocadores de calor típicos com tubos aletados.

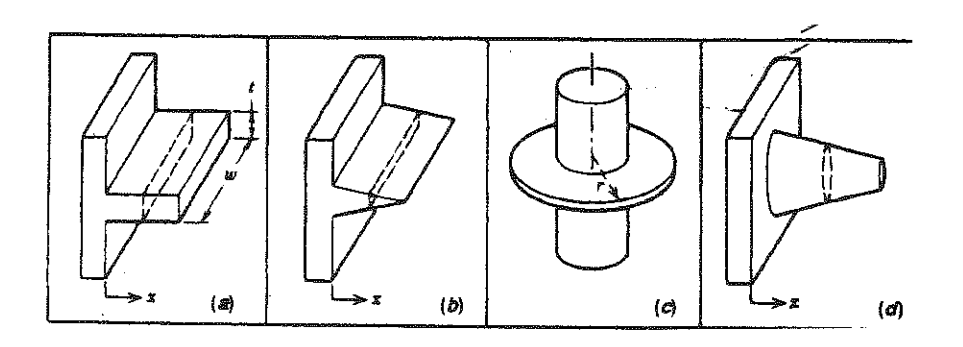


Figura 3.14 - Configurações de aletas: (a) aleta plana de seção reta uniforme; (b) aleta plana de seção reta variável: (c) aleta anular; (d) aleta piniforme.

Uma aleta plana é qualquer superficie expandida ligada a uma chapa plana. Pode ter a área da seção reta constante (a) ou variável (b) com a distância x à chapa. As seções retas apresentam geometrias retangulares cujas áreas podem ser expressas como o produto da espessura da aleta t pela largura w. Uma aleta anular (c) é aquela acoplada à periferia de uma cilindro, e a sua seção reta varia com a distância radial ao eixo do cilindro. A área da seção é dada pelo produto da espessura t pela circunferência  $2\pi r$ . Em contrapartida, uma aleta piniforme (d) é uma superficie expandida com uma seção circular. Ela também pode ter a seção reta, uniforme ou não.

Numa determinada aplicação, a escolha de uma configuração particular de aletas pode depender de considerações sobre o espaço, o peso, a fabricação e o custo, e também sobre a forma em que as mesmas reduzem o coeficiente de convecção na superficie e aumentam a perda de carga associada ao escoamento sobre elas.

# 3.5.1 - Uma Análise Geral de Condução

Na análise de condução interessa-se em saber a extensão da melhoria da dissipação de calor de uma superficie para o fluido circundante que se pode conseguir com uma superficie expandida, ou com um a configuração aletada. Para se determinar a taxa de transferência de calor associada a uma aleta, deve-se obter inicialmente, a distribuição de temperatura ao longo da aleta. Conforme se fez o com os sistemas anteriores, baseia-se por um balanço de energia num elemento infinitesimal apropriado.

Considere a superficie expandida da Figura 3.15. A análise fica mais simples quando se faz algumas hipóteses. Admitem-se as condições de condução unidimensionais na direção longitudinal (x), embora a condução na aleta seja, na realidade, bidimensional. A taxa de convecção da energia para o fluido, em qualquer ponto da superficie da aleta, deve ser equilibrada pela taxa de afluência de energia nesse ponto, provocada pela condução na direção transversal (y,z). No entanto, a aleta na prática é delgada e as variações de temperatura na direção longitudinal são muito maiores que as na transversal.

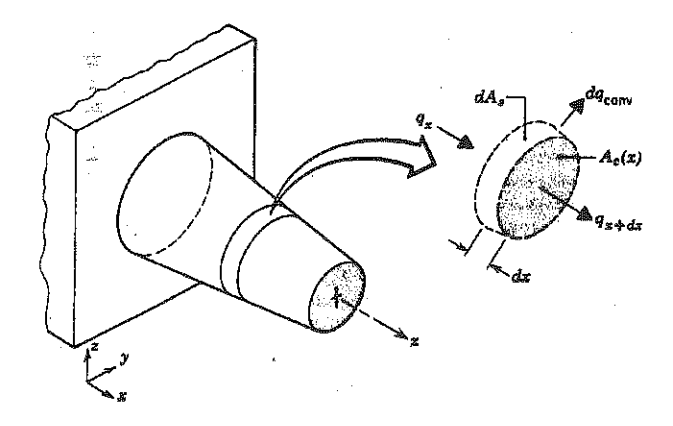


Figura 3.15 - Balanço de energia numa superficie expandida.

# 3.5.2 - Aletas com a Área de Seção Reta Uniforme.

Para se resolver a equação (3.61) é necessário especificar a geometria das aletas. Iniciemos pelo caso mais simples: aletas planas ou piniformes, com seção reta constante (Figura 3.16).

Cada aleta está ligada na base a uma superficie com a temperatura  $T(\theta) = T_b$  e imersa num fluido à temperatura  $\frac{1}{h_{out}}$ . Nestas,  $A_c$  é uma constante e  $A_s = P_x$ , onde  $A_s$  é a área superficial medida da base até  $x \in P$  é o perimetro da aleta. Assim, com  $dA/dx = \theta$  e dA/dx = P, a equação (3.61) se reduz a:

$$\frac{d^2T}{dx^2} - \frac{h \cdot P}{k \cdot A_o} \cdot (T - T_\infty) = 0 \tag{3.62}$$

Para simplificar a forma desta equação, passa-se da variável dependente para a variável  $\theta$ , (excesso de temperatura) definida por:

$$\theta(x) = T(x) - T_{\infty} \tag{3.63}$$

onde, uma vez que  $T_{\infty}$  é constante,  $\frac{d\theta}{dx} = \frac{dT}{dx}$ . Volta-se à equação (3.62), obtendo:

$$\frac{d^2\theta}{dx^2} - m^2 \cdot \theta = 0 \tag{3.64}$$

$$com m^2 \equiv \frac{h \cdot P}{k \cdot A_c} (3.65)$$

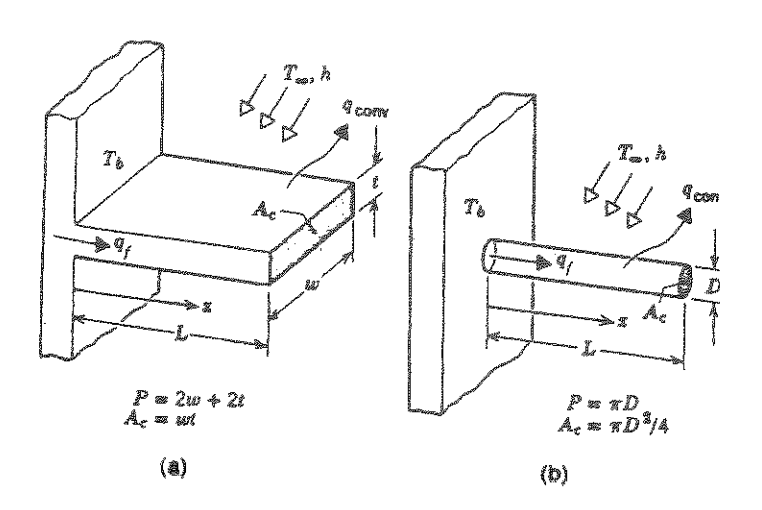


Figura 3.16 - Aletas planas de seção reta uniforme: (a) retangular; (b) piniforme

A equação (3.64) é uma equação homogênea de segunda ordem, com os coeficientes constantes. A sua solução geral tem a forma:

h-A 1776

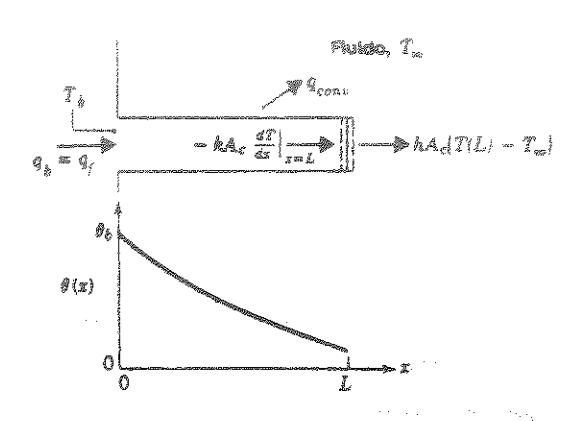


Figura 3.17 - Condução e convecção numa aleta de secção reta uniforme.

Isto mostra que a taxa de transferência de energia para o fluido, através da convecção na ponta da aleta, deve ser igual à taxa de afluência da energia na ponta, pela condução através desta aleta. Levando a equação (3.66) nas equações (3.67) e (3.68), obtém-se respectivamente:

$$\theta_b = C_1 + C_2$$
 e  $h \cdot (C_1 e^{mL} + C_2 e^{-mL}) = k \cdot m \cdot (C_2 e^{-mL} - C_1 e^{mL})$  (3.69)

Resolvendo em  $C_I$  e  $C_2$ , é possível mostrar que, depois de uma serie de cálculos e simplificações, tem-se

$$\frac{\theta}{\theta_b} = \frac{\cosh[m(L-x)] + (h/(mk)) \cdot \operatorname{senh}[m(L-x)]}{\cosh(mL) + (h/(mk)) \cdot \operatorname{senh}(mL)}$$
(3.70)

A forma desta distribuição de temperatura aparece esquematicamente na Figura 3.17. Observe a grandeza da diminuição do gradiente de temperatura com o aumento de x.

Esta tendência é consequência da redução na transferência condutiva de calor  $q_x(x)$  com o crescimento de x, provocada pelas perdas convectivas contínuas na superficie da aleta. É evidente que a taxa de transferência de calor pela aleta  $q_f$ , pode ser estimada por dois caminhos diferentes, ambos com a utilização da distribuição de temperatura (Figura 3.17). O procedimento mais simples envolve a aplicação da Lei de Fourier à base da aleta, isto é:

$$q_f = q_b = -k \cdot A_c \cdot \frac{dT}{dx}\bigg|_{x=0} = -k \cdot A_c \cdot \frac{d\theta}{dx}\bigg|_{x=0}$$
(3.71)

Então, conhecendo-se a distribuição de temperatura q(x), é possível calcular  $q_f$ :

$$q_f = \sqrt{(h \cdot P \cdot k \cdot A_c)} \cdot \theta_b \cdot \frac{\operatorname{senh}(mL) + (h/(mk)) \cdot \operatorname{cosh}[m(L-x)]}{\operatorname{cosh}(mL) + (h/(mk)) \cdot \operatorname{senh}(mL)}$$
(3.72)

Por outro lado, a conservação da energia afirma que a taxa de transferência convectiva de calor pela aleta deve ser igual à taxa de condução através da base desta. Assim, o outro procedimento para o cálculo de  $q_f$  é:

$$q_f = \int_{A_f} h \cdot [T(x) - T_{\infty}] dA_s \quad \text{ou} \quad q_f = \int_{A_f} h \cdot \theta(x) dA_s$$
 (3.73)

onde  $A_s$  é a área superficial total da aleta, incluindo a área da ponta. A entrada da equação (3.70) na equação (3.73) levará à equação (3.72).

(B) A segunda condição corresponde à hipótese de a perda térmica convectiva pela ponta poder ser tratada como adiabática e:

$$\frac{d\theta}{dx}\bigg|_{x=L} = 0 \tag{3.74}$$

Entrando com a equação (3.66), e fazendo a divisão por m, obtém-se:

$$C_1 e^{mL} - C_2 e^{-mL} = 0$$

Usando-se esta expressão com a equação (3.69), para resolver em  $C_1$  e  $C_2$ , e levando-se os resultados na equação (3.66), obtém-se:

$$\frac{\theta}{\theta_h} = \frac{\cosh[m(L-x)]}{\cosh(mL)} \tag{3.75}$$

Com esta distribuição de temperatura na equação (3.71), a taxa de transferência de calor pela aleta fica então:

$$q_f = \sqrt{(h \cdot P \cdot k \cdot A_c)} \cdot \theta_b \cdot tgh(mL) \tag{3.76}$$

(C) Como no caso anterior, é possível se ter a distribuição de temperatura na aleta e a taxa de calor a partir da temperatura fixada na sua ponta. Assim, a segunda condição de contorno é  $\theta(L) = \theta_L$ , e as expressões resultantes são da forma:

$$\frac{\theta}{\theta_b} = \frac{(\theta_L/\theta_b) \cdot senh(mx) + senh[m(L-x)]}{senh(mL)}$$
(3.77)

$$q_f = \sqrt{(h \cdot P \cdot k \cdot A_c)} \cdot \theta_b \cdot \frac{\cosh(mL) - (\theta_L/\theta_b)}{\operatorname{senh}(mL)}$$
(3.78)

(D) O caso de uma aleta muito longa é avaliado como uma generalização interessante deste resultados. Em particular, quando  $L \to \infty$ ,  $\theta_L \to \theta$  se verifica com facilidade que:

$$\frac{\theta}{\theta_h}e^{-mx} \tag{3.79}$$

$$q_f = \sqrt{(h \cdot P \cdot k \cdot A_e)} \cdot \theta_b \tag{3.80}$$

Na Tabela 3.3 estão resumidos os resultados anteriores.

Tabela 3.3 - Distribuição de temperatura e perda térmica em aletas com a seção reta uniforme.

Condição na ponta (x = L)	Distribuição de temperatura 0/0,	Taxa de transferência de calor na aleta q
Transferência convectiva	$\frac{\cosh[m(L-x)]+(h/(mk))\cdot senh[m(L-x)]}{\cosh(mL)+(h/(mk))\cdot senh(mL)}$	$M \cdot \frac{senh(mL) + (h/(mk)) \cdot cosh(mL)}{cosh(mL) + (h/(mk)) \cdot senh(mL)}$
$h \cdot \theta(L) = -k \cdot \frac{d\theta}{dx}\Big _{x=L}$	(3.70)	(3.72)
Adiabática	$\frac{\cosh[m(L-x)]}{\cosh(mL)}  (3.75)$	M · <b>igh(mL)</b> (3.76)
$\frac{d\theta}{dx}\bigg _{x=L}=0$		
Temperatura fixada	$\frac{\left(\theta_{L}/\theta_{b}\right)\cdot senh(mx) + senh[m(L-x)]}{senh(mL)}$	$M \cdot \frac{\cosh(mL) - (\theta_L/\theta_b)}{\operatorname{senh}(mL)}  (3.78)$
$\theta(L) = \theta_L$	(3.77)	
Aleta infinita ( $L \to \infty$ ) $\theta(L) = \theta$	$e^{-mx}$ (3.79)	M (3.80)
$\theta = T - T_{\infty}$ $\theta_b = \theta(\theta) = T_b - T_{\infty}$	$m^{2} = (h \cdot P)/(k \cdot A_{c})$ $M = \sqrt{(h \cdot P \cdot k \cdot A_{c}) \cdot \theta_{b}}$	

Evidentemente, a análise do comportamento térmico de uma aleta fica bem mais complicada se a seção reta da aleta não for uniforme. Nesses casos, é necessário manter a segunda parcela do primeiro membro da equação (3.61), e as soluções não tem mais a forma de funções exponenciais ou hiperbólicas simples. O desenvolvimento dessas soluções está além do objetivo deste texto.

# Exemplo 3.7

Uma barra cilíndrica, de diâmetro 25mm, muito comprida, tem uma extremidade mantida a 100°C. A superficie da barra está exposta ao ar ambiente a 25°C, com um coeficiente de transferência convectiva de calor de 10W/m²-K.

- 1. Quais são as perdas térmicas das barras construídas em (a)cobre puro e (b) aço inoxidável AISI 316.
- 2. Qual deve ser o comprimento das barras (a) e (b) para que elas possam ser consideradas infinitas?

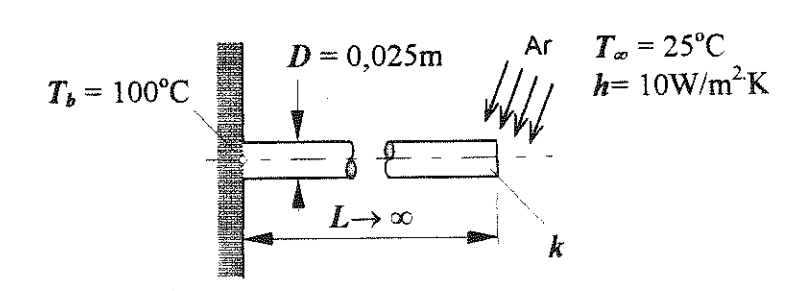
# Solução:

Dados: Aleta de seção reta circular, comprida, exposta ao ar ambiente.

#### Incógnitas:

- 1. A perda térmica q numa barra de cobre e numa outra de aço inoxidável.
- 2. Os comprimentos das barras para que possam ser consideradas infinitamente longas.

# Esquema:



### Hipóteses:

- 1. As condições são de regime permanente.
- 2. A condução é unidimensional ao longo da barra.
- 3. As propriedades são constantes.
- 4. A troca radiativa com o ambiente é desprezível.
- 5. O coeficiente de transferência de calor é uniforme.
- 6. A barra tem um comprimento infinito.

# Propriedades:

- (a) Tabela A.1, cobre  $[T = (T_b + T_\infty)/2 = 62.5^{\circ}\text{C} \approx 335 \text{ K}]$ : k = 398W/m/K.
- (b) Tabela A.1, aço inoxidável, AISI 316 (335 K):  $k = 14 \text{W/m} \cdot \text{K}$ .

### Análise:

1. Pela equação (3.80), a perda de calor é  $q_f = M = \sqrt{(h \cdot P \cdot k \cdot A_c)} \cdot \theta_b$ . Então, temos (a) para o cobre:

$$q_f = \sqrt{10 \times (\pi \times 0.025) \times 398 \times (\frac{\pi}{4}(0.025)^2)} \times (100 - 25)$$
 :  $q_f = 29.4W$ 

(b) para o aço inoxidável:

$$q_f = \sqrt{10 \times (\pi \times 0.025) \times 14 \times \left(\frac{\pi}{4}(0.025)^2\right)} \times (100 - 25) \quad \therefore \quad q_f = 5.5W$$

2. Uma vez que não há perda térmica na ponta de uma barra infinitamente comprida, podese ter uma estimativa da validade desta aproximação mediante a comparação entre as equações (3.76) e (3.80). A fim de ter uma aproximação satisfatória, as expressões proporcionam resultados equivalentes se  $tgh(mL) \ge 0.99$  ou  $mL \ge 2.65$ . Então, podemos admitir que a barra seja infinitamente comprida se

$$L \ge L_{\infty} \equiv \frac{2,65}{m} = 2,65 \cdot \sqrt{\frac{k \cdot A_c}{h \cdot P}}$$
 Então,

(a) no caso do cobre,

$$L_{\infty} = 2,65 \times \sqrt{\frac{398 \times (\pi/4)(\theta,025)^2}{10 \times (\pi \times \theta,025)}} = 1,32m$$

(b) no caso do aço inoxidável,

$$L_{\infty} = 2,65 \times \sqrt{\frac{14 \times (\pi/4)(0,025)^2}{10 \times (\pi \times 0,025)}} = 0,25m$$

<u>Comentários</u>: Os resultados anteriores sugerem que a taxa de transferência de calor pode ser prevista com exatidão mediante a aproximação de uma aleta infinita, se  $mL \ge 2,65$ . No entanto, se tal aproximação visar prever exatamente a distribuição de temperatura T(x), será necessário um valor mais elevado de mL. Observa-se o efeito da condutividade térmica sobre  $q_f \in L_\infty$ .

### 3.5.3 - Desempenho da Aleta

Com visto anteriormente, as aletas são usadas para aumentar a transferência de calor numa superficie, mediante a expansão da área superficial real. No entanto, a própria aleta constitui uma resistência condutiva à transferência de calor da superficie original. Por esta razão, não se tem certeza de que a taxa de transferência de calor aumente graças ao uso de aletas. Pode-se ter uma avaliação desta questão mediante a efetividade da aleta  $(\varepsilon_f)$ , a qual pode ser definida como a razão entre a taxa de transferência de calor com a aleta e a taxa sem ela. Portanto:

$$\varepsilon_f = \frac{q_f}{h \cdot A_{ch} \cdot \theta_h} \tag{3.81}$$

onde  $A_{c,b}$  é a área da seção reta da aleta, na base. Num projeto razoável, o valor de  $\varepsilon_f$  deve ser tão grande quanto possível; em geral, o uso de aletas raramente se justifica, a menos que  $\varepsilon_f \ge 2$ .

Com qualquer uma das quatro condições na ponta que se analisou (x = L), a efetividade de uma aleta de seção reta uniforme pode ser calculada pela divisão da expressão apropriada de  $q_f$  (Tabela 3.3) por  $h \cdot A_{c,b} \cdot \theta_b$ . Na aproximação por aleta infinita, o resultado é

$$\varepsilon_f = \sqrt{\frac{k \cdot P}{h \cdot A_c}} \tag{3.82}$$

e daí podem-se deduzir importantes tendências. Evidentemente, a efetividade de uma aleta aumenta com a escolha de um material de condutividade térmica elevada. Embora o cobre seja superior do ponto de vista da condutividade térmica, as ligas de alumínio são mais comuns em virtude dos beneficios adicionais relacionados ao custo mais baixo e ao peso menor. A efetividade da aleta também aumenta quando aumenta a razão entre o perímetro e a área da seção reta. Por isso, o uso de aletas delgadas, montadas com pequeno espaçamento, é o preferido na maioria das aplicações da engenharia. A equação (3.82) também sugere que o uso de aletas fica mais bem justificado em condições de pequeno coeficiente de convecção h. Pela Tabela 1.1, fica evidente que a necessidade de aletas é mais forte quando o fluido for um gás, e não um líquido, e, especialmente, quando a transferência superficial de calor se fizer por convecção livre. Quando as aletas estiverem numa superficie que separa um gás de um líquido, serão em geral montadas no lado do gás (lado de coeficiente de convecção mais baixo). Um exemplo comum é o da tubulação num radiador de automóvel, onde as aletas ficam na superficie externa da tubulação sobre a qual há o escoamento de ar ambiente (h pequeno), e não na interna na qual há o escoamento de água (h grande). Observe que se  $\varepsilon_f > 2$  for usando como critério para justificar a adoção de aletas, a equação (3.82) impõe a exigência  $kP/hA_c > 4$ .

A equação (3.81) fornece um limite superior para  $\varepsilon_f$ , atingido quando L tende para infinito. No entanto, com certeza não é preciso usar aletas muito compridas para conseguir uma transferência de calor próxima do máximo. Quando se admite uma condição adiabática na ponta da aleta, 98% da taxa de transferência de calor máxima possível é atingida quando mL = 2,3. Portanto, haveria pouco sentido em se estender as aletas além de L = 2,3/m.

O desempenho de uma aleta também pode ser quantificado em termos da resistência térmica. Tratando a diferença entre as temperaturas na base e no fluido como o potencial motriz, a resistência da aleta pode ser definida como:

$$R_{t,f} = \frac{\theta_b}{q_f} \tag{3.83}$$

Dividindo a expressão da resistência térmica da base exposta  $R_{t,b}$  pela equação (3.83), e levado em conta a equação (3.81), vem:

$$R_{t,b} = \frac{1}{h \cdot A_{t,b}} \tag{3.84}$$

$$\varepsilon_f = \frac{R_{t,b}}{R_{t,f}} \tag{3.85}$$

Então, a efetividade da aleta pode ser interpretada como a razão entre as duas resistências térmicas; para aumentar  $\varepsilon_f$  é necessário reduzir a resistência da aleta à condução e à convecção. Se a aleta tiver que aumentar a transferência de calor, a sua resistência não deve exceder a da base exposta.

Uma outra medida do desempenho térmico da aleta é a eficiência da aleta  $(\eta_f)$ . O potencial motriz máximo para a convecção é a diferença de temperatura entre a base (x = 0) e o fluido:  $\theta_b = T_b - T_\infty$ . Então, a taxa máxima de dissipação de energia pela aleta é a taxa que existiria se toda a superfície da aleta estivesse na temperatura da base. No entanto, uma vez que qualquer aleta se caracteriza por uma resistência finita à condução, há um gradiente de temperatura ao longo da mesma e a condição isotérmica é uma idealização. Uma definição razoável da eficiência da aleta é assim:

$$\eta_f = \frac{q_f}{q_{max}} = \frac{q_f}{h \cdot A_f \cdot \theta_b} \tag{3.86}$$

onde  $A_f$  é a área superficial da aleta. Numa aleta plana de seção reta uniforme com a ponta adiabática, as equações (3.76) e (3.86) levam a

$$\eta_f = \frac{M \cdot tgh(mL)}{h \cdot P \cdot L \cdot \theta_h} = \frac{tgh(mL)}{mL}$$
(3.87)

Conforme a Tabela B.1, este resultado mostra que  $\eta_f$  tende para os valores máximo (1) e mínimo (0) quando L se aproxima de 0 ou de  $\infty$ , respectivamente.

Em lugar da expressão um tanto incômoda da transferência de calor por uma aleta plana retangular com a ponta ativa (equação 3.72), sugere-se usar uma fórmula aproximada, embora exata, que se obtém com os resultados da ponta adiabática (equação 3.76) a partir de um comprimento corrigido da aleta, com a forma  $L_c = L + (t/2)$  [9]. Então, a taxa de transferência de calor na aleta com convecção na ponta pode ser aproximada por

$$q_{f} = M \cdot tgh(mL_{c}) \tag{3.88}$$

e a eficiência correspondente é

$$\eta_f = \frac{tgh(mL_c)}{mL_c} \tag{3.89}$$

Os erros associados com a aproximação são despreziveis se ht / k < 0.0625. Se a largura (w) da aleta for muito maior que a sua espessura (t), o perímetro (P) pode ser aproximado por P = 2w, e então

$$mL_c = \sqrt{\frac{hP}{kA_c}} \cdot L_c = \sqrt{\frac{2h}{kt}} \cdot L_c$$

Multiplicando-se o numerador e o denominador por  $L_c^{1/2}$  e introduzindo-se uma área corrigida do perfil da aleta  $(A_p = L_c t)$ , segue-se que

$$mL_{c} = L_{c}^{3/2} \cdot \left(\frac{2h}{kA_{p}}\right)^{1/2} \tag{3.90}$$

Então, conforme mostra a Figura 3.18, a eficiência de uma aleta retangular, com convecção na ponta, pode ser representada em função de  $L_c^{3/2} \cdot (h/(k \cdot A_p))^{1/2}$ .

Embora a discussão anterior tenha se limitado a aletas com a seção reta uniforme, são também usadas outras geometrias. As soluções exatas da equação (3.61), com  $A_c$  função de x e  $A_s$  variando não-linearmente com x, são muito mais dificeis de serem obtidas. Os resultados dessas soluções podem ser representados graficamente, conforme as Figuras 3.18 e 3.19. Uma aleta plana triangular  $(y \sim x)$  é atraente pois, para uma dissipação térmica equivalente, exige muito menos volume (material da aleta) que a aleta de perfil retangular. A este respeito, a dissipação por unidade de volume  $(q/V)_f$  é máxima para um perfil parabólico  $(y \sim x^2)$ . No entanto, uma vez que  $(q/V)_f$  para um perfil parabólico é apenas um pouco maior que para um perfil triangular, justifica-se raramente a sua adoção em face dos custos muito mais elevados da fabricação. A aleta anular, com perfil retangular, é comumente usada para aumentar a transferência de calor para tubos circulares, ou de tubos circulares.

Nas Figuras 3.18 e 3.19, as eficiências das aletas estão plotadas em função do parâmetro  $L_c^{3/2} \cdot (h/(k \cdot A_p))^{1/2}$  que se deduziu para a aleta plana retangular. No caso da aleta

anular (Figura 3.19), usa-se um comprimento corrigido da aleta a fim de levar em conta os efeitos da convecção na ponta da aleta.

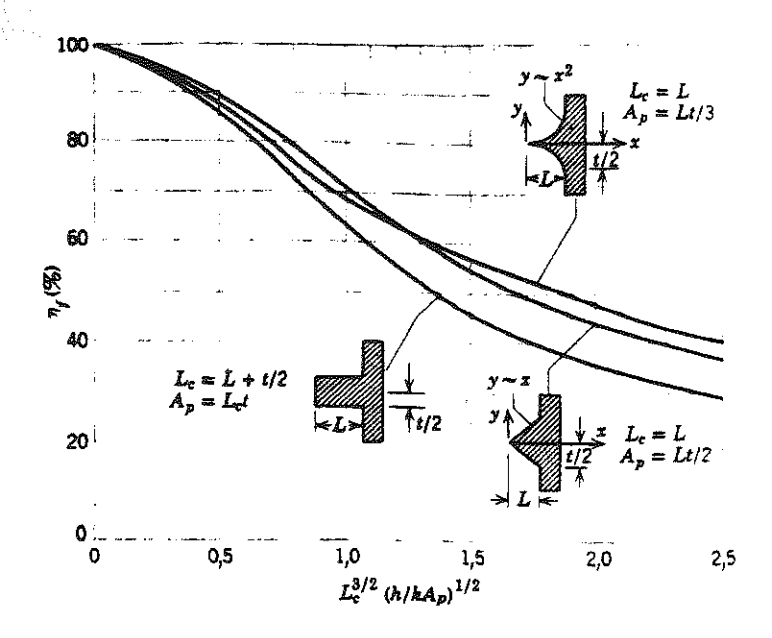


Figura 3.18 - Eficiência de aletas planas (com perfis retangulares, triangulares e parabólicos).

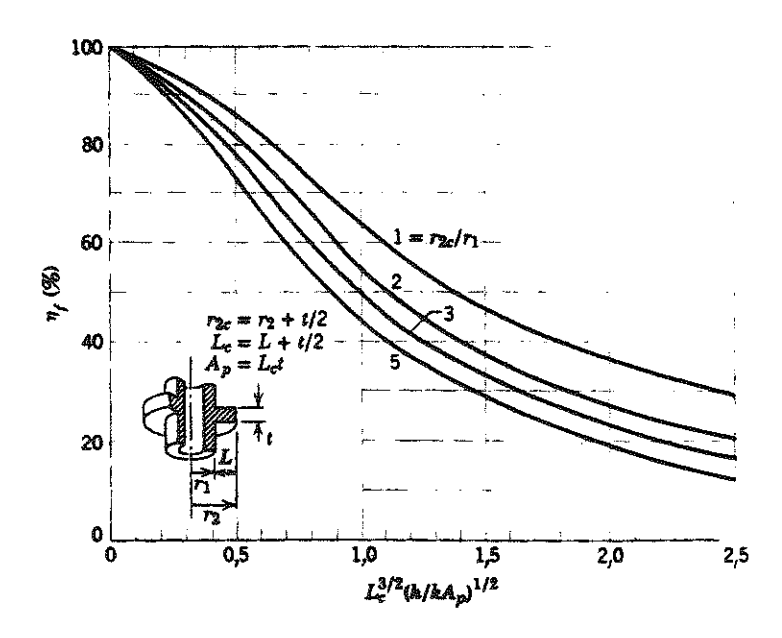


Figura 3.19 - Eficiência global da superficie

A eficiência das aletas, obtidas de gráficos, podem ser usadas para calcular a taxa real de transferência de calor pela aleta mediante a expressão

$$q_f = \eta_f \cdot q_{max} = \eta_f \cdot h \cdot A_f \cdot \theta_b \tag{3.91}$$

onde as áreas superficiais das aletas (a) retangulares, (b) triangulares, (c) parabólicas e (d) anulares podem ser aproximadas por:

$$A_{f(ret)} = 2w \cdot L_c \tag{3.92a}$$

$$A_{f(in)} = 2w \cdot \sqrt{L^2 + \left(\frac{t}{2}\right)^2}$$
 (3.92b)

$$A_{f(par)} = 2.05w \cdot \sqrt{L^2 + \left(\frac{t}{2}\right)^2}$$
 (3.93a)

$$A_{f(ans)} = 2\pi \cdot (r_{2c}^2 - r_I^2) \tag{3.93b}$$

As superficies expandidas têm numerosas aplicações na engenharia. Devem ser consultados os trabalhos de Schneider [10] e Kern & Kraus [11] para discussões abrangentes dos efeitos térmicos.

# 3.5.4 - Eficiência Global da Superfície

A eficiência global da superficie  $\eta_{\theta}$  caracteriza um conjunto de aletas e a superficie da base sobre a qual estão montadas. Na Figura 3.20 aparecem montagens representativas onde S designa o passo das aletas. Em cada caso, a eficiência global se define por

$$\eta_{\theta} = \frac{q_{t}}{h \cdot A_{t} \cdot \theta_{h}} \tag{3.94}$$

onde  $q_t$  é a taxa total de calor e  $A_t$  é a área total exposta das superficies aletadas e nua. A taxa de transferência de calor máxima possível ocorreria se toda a superficie das aletas, e também da base exposta, fossem mantidas à  $T_b$ .

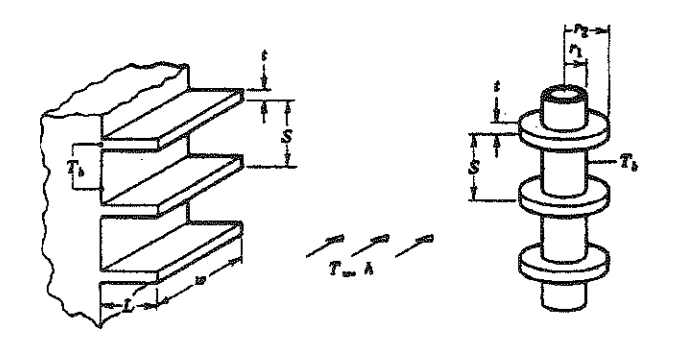


Figura 3.20 - Montagens representativas de aletas: (a) aletas retangulares: (b) aletas anulares

Decompondo a área superficial total nas parcelas devidas à superficie aletada e à superficie da base nua  $(A_t = A_f + A_b)$ , a taxa total de transferência de calor pode ser expressa por:

$$q_t = h \cdot A_b \cdot \theta_b + h \cdot A_f \cdot \eta_f \cdot \theta_b \tag{3.95}$$

onde hfé a eficiência de uma aleta. Então:

$$q_{t} = h \cdot \left[ \left( A_{t} - A_{f} \right) + A_{f} \cdot \eta_{f} \right] \cdot \theta_{b} = h \cdot A_{t} \cdot \left[ 1 - \frac{A_{f}}{A_{t}} \cdot \left( 1 - \eta_{f} \right) \right] \cdot \theta_{b}$$
 (3.96)

Combinando-se as equações (3.96) e (3.94), vem:

$$\eta_o = 1 - \frac{A_f}{A_t} \cdot (1 - \eta_f) \tag{3.97}$$

Usando-se os gráficos das Figuras 3.18 e 3.19 para estimativa da eficiência de uma aleta individual  $(\eta_{\theta})$ , pode-se estimar a eficiência global  $(\eta_{\theta})$  e por conseguinte a taxa total de transferência de calor num conjunto de aletas (equação 3.94).

### Exemplo 3.8

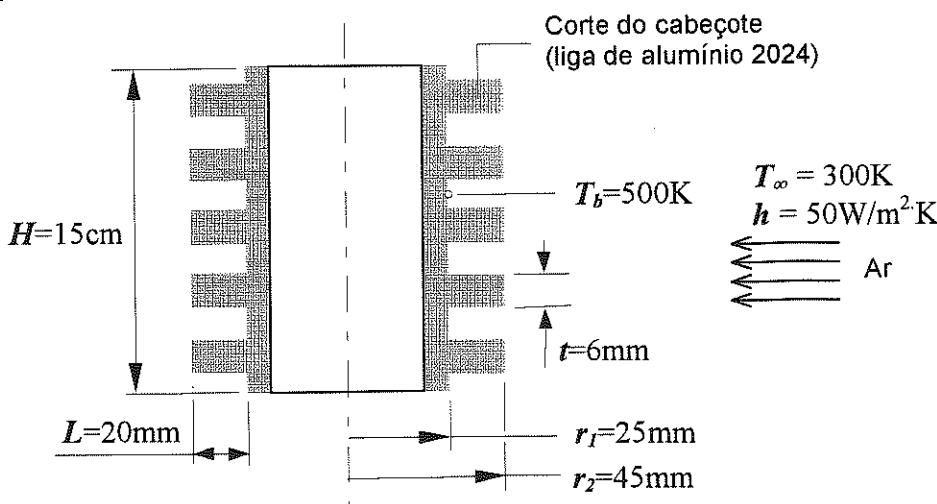
O cabeçote do motor de uma motocicleta é construído em liga de alumínio 2024-T6, tem a altura  $H=15 \mathrm{cm}$  e diâmetro externo  $D=50 \mathrm{mm}$ . Em condições operacionais típicas, a superficie externa do cabeçote está a 500K e exposta ao ar ambiente a 300K, com um coeficiente de convecção de  $50 \mathrm{W/m^2 \cdot K}$ . Para aumentar a transferência de calor, montam-se no cabeçote aletas anulares, de perfil retangular. Admitindo que se montem cinco dessas aletas igualmente espaçadas com espessura  $t=6 \mathrm{mm}$  e comprimento  $L=20 \mathrm{mm}$ , qual é o aumento da transferência de calor proporcionado por elas ?

### Solução:

<u>Dados</u>: As condições operacionais do cabeçote de um motor de motocicleta, com aletas.

Incógnitas: O aumento da transferência de calor associado às aletas.

### Esquema:



### Hipóteses:

- 1. As condições são de regime permanente.
- 2. A condução nas aletas é unidimensional na direção radial.
- 3. As propriedades são constantes.
- 4. Não há geração interna de calor.
- 5. As trocas radiativas com o ambiente são desprezíveis.
- 6. O coeficiente de convecção é uniforme sobre toda a superficie externa (aletada ou nua).

Propriedades: Tabela A.1, alumínio 2024-T6 (T = 400 K):  $k = 186 \text{W/m} \cdot \text{K}$ .

Análise: Com as aletas montadas, taxa de transferência de calor é  $q = q_f + q_b$ .

Pela equação (3.91), a taxa de transferência de calor na aleta é  $q_f = N \cdot \eta_f \cdot q_{max}$ , onde N é o número de aletas e, pelas equações (3.91) e (3.93b):  $q_{max} = 2\pi \cdot h \cdot (r_{2c}^2 - r_1^2) \cdot (T_b - T_{\infty})$ .

A taxa de transferência de calor pela superficie nua do cilindro é  $q_b = h \cdot A_b \cdot (T_b - T_{\infty})$  onde  $A_b = (H - Nt) \cdot (2\pi \cdot r_1)$ . Daí,

$$q = (N \cdot \eta_{I} \cdot h \cdot 2\pi \cdot (r_{2c}^{2} - r_{I}^{2}) \cdot (T_{b} - T_{\infty})) + (h \cdot (H - Nt) \cdot (2\pi r_{I}) \cdot (T_{b} - T_{\infty}))$$

A eficiência da aleta pode ser conseguida pela Figura 3.19, com:

$$r_{2c} = r_2 + \frac{t}{2} = 0.048m$$

$$L_c = L + \frac{t}{2} = 0.023m$$

$$\frac{r_{2c}}{r_1} = 1.92$$

$$A_p = L_c \cdot t = 1.38 \times 10^{-4} m^2$$

$$L_c^{3/2} \cdot \left(\frac{h}{k \cdot A_p}\right)^{1/2} = 0.15$$

Pela Figura 3.19,  $\eta_f \approx 0.95$ . Segue-se então que

$$q_f = 5 \times [0.95 \times 50 \times 2\pi \times (0.048^2 - 0.025^2) \times (500 - 300)] = 501.10 W$$

$$q_b = 50 \times (0.15 - 5 \times 0.006) \times (2\pi \times 0.025) \times (500 - 300) = 188.50 W$$

Portanto,  $q = q_f + q_b = 690W$ 

Sem as aletas, a taxa de transferência de calor seria  $q_{wo} = h \cdot A_{wo} \cdot (T_b - T_{\infty})$  onde  $A_{wo\theta} = 2\pi \cdot r_1 \cdot H$ . Assim,

$$q_{wo} = 50 \times (2\pi \times 0.025 \times 0.15) \times (500 - 300) = 236W$$

### Comentários:

- 1. Embora as aletas montadas tenham melhorado significativamente a dissipação térmica do cilindro, a melhoria seria mais considerável se o número de aletas fosse aumentado pela redução de *t* e pela separação entre as aletas.
- 2. A transferência de calor pelas aletas também poderia ser calculada pelas equações (3.94) e (3.97). Com  $A_f = N \cdot 2\pi \cdot (r^2_{2c} r^2_1) = 0.053m^2$  e  $A_t = A_f + (H N \cdot t) \cdot (2\pi \cdot r_1) = 0.072m^2$ . a equação (3.97) dá  $\eta_o = 1 0.736 \times (1 0.95) = 0.963$ . Portanto, pela equação (3.94),  $q_t = \eta_o \cdot h \cdot A_t \cdot \theta_b$  ou  $q_t = 0.963 \times 50 \times 0.072 \times (500-300) = 690$  W.

### Referências

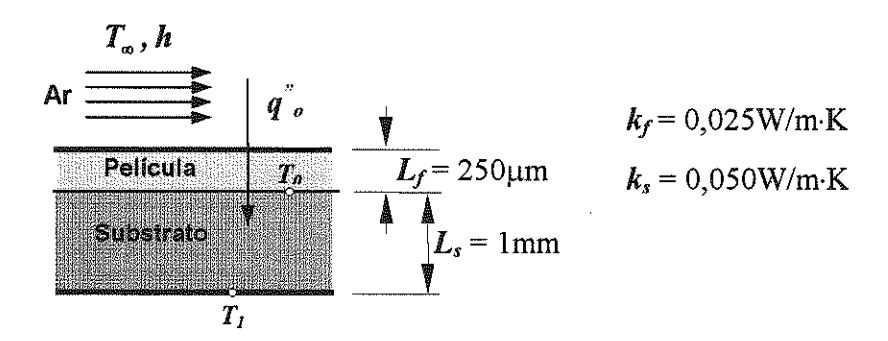
- [1] Fried, E., "Thermal Conduction Contribution to Heat Transfer at Contacts" in R.P. Tye, Ed., Thermal Conductivity, Vol. 2, Academic Press, London, 1969.
- [2] Eid, J.C. and Antonetti, V.W., "Small Scale Thermal Contact Resistance of Alumnium against Silicon" in C.L. Tien V.P. Carey, and J.K. Ferrel, eds., Heat Transfer - 1986. Vol. 2 Hemisphere, New York, 1986, pp. 659-664.
- [3] Snaith, B., O'Callagahm, P.W., Probert, S.D. "Intersticial Materials for Controlling Thermal Condutances Across Pressed MetallicContacts" Appl. Energy, 16, 175 1984.
- [4] Yovanovich, M. M. "Theory and Application of Constriction and Spreading Concepts for Microeletronic Thermal Management" Intern Symposium on Cooling Technology of Electronic Equipment, Honolulu, 1987.
- [5] Peterson, G.P., Fletcher, L.S. "Thermal Contact Resistance of Silicon Chip Bonding Materials" Proc. Of the Intern. Symposium on Cooling Technology of Electronic Equipment, Honolulu, 1987, pp438-448.
- [6] Yovanovich, M. M., Tuarze, M. "Experimental Evidence of Thermal Resistance at Soldered Joints," AIAAJ, Spacecraft Rockets, 6, 1013, 1969.
- [7] Madhusudana, C.V., Fletcher, L.S., "Contact Heat Transfer The Last Decade", AIAAJ, 24, 510, 1986.
- [8] Yovanovich, M. M., "Recent Developmentes in Thermal Contact Gap and Joint Conductance Theories and Experiment" in C.L. Tien, V.P. Carey, and J.K. Ferrel, Eds. Heat Transfer 1986, Vol.1, Hemisphere, New York, 1986, pp35-45.
- [9] Harper, D.R., Brown, W.B. "Mathematical Equations for Heat Conduction in the Fins of Air Cooled Engines" NACA Report No. 158, 1922.

- [10] Schneider, P.J. Conduction Heat Transfer, Addison-Wesley, Reading, MA, 1955.
- [11] Kern, D.Q., Kraus, A.D. Extended Surface Heat Transfer, McGraw-Hill, New York, 1972.

# **Exercícios Propostos**

#### Parede Plana

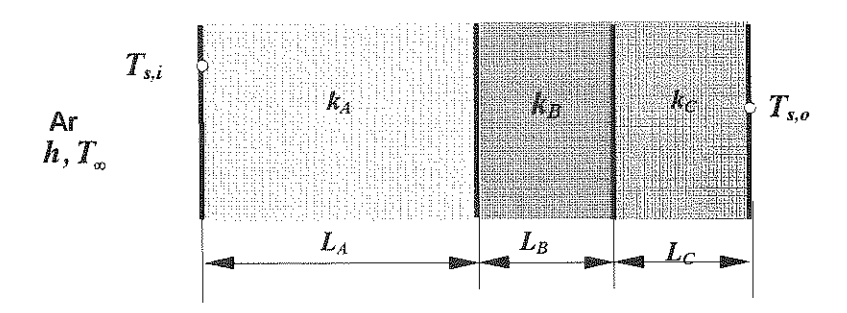
- 3.1 O vidro traseiro de um automóvel, com espessura de 4mm, é desembaciado pela passagem de uma corrente de ar quente a 40°C sobre a sua face interna, com coeficiente de convecção associado de 30W/m²·K. Quais as temperaturas das superficies interna e externa do vidro, quando a temperatura do ar ambiente externo for de -10°C, e o coeficiente de convecção associado à troca térmica na face externa for de 65W/m²·K?
- 3.2 Num certo processo de fabricação, uma película transparente é aplicada a um substrato, conforme mostra a figura que se segue:



Para fazer a cura da ligação, na temperatura  $T_{\theta}$ , usa-se uma fonte de radiação que proporciona um fluxo térmico  $q^{"}_{\theta}$  [W/m²], totalmente absorvido na superficie da ligação. O substrato tem a face posterior mantida a  $T_{I}$  e a face da película exposta ao ar na temperatura  $T_{\infty}$ , com um coeficiente de transferência convectiva de calor h.

- (a) Esquematizar simbolicamente o circuito térmico que represente a transferência de calor em regime permanente. Tenha a certeza de nomear todos os elementos, os nós e as taxas de calor.
- (b) Calcular o fluxo de calor  $q''_{\theta}$  necessário para manter a superficie da ligação a  $T_{\theta} = 60^{\circ}\text{C}$  quando  $T_{\infty} = 20^{\circ}\text{C}$ ,  $h = 50 \text{ W/m}^2 \cdot \text{K}$  e  $T_I = 30^{\circ}\text{C}$ .

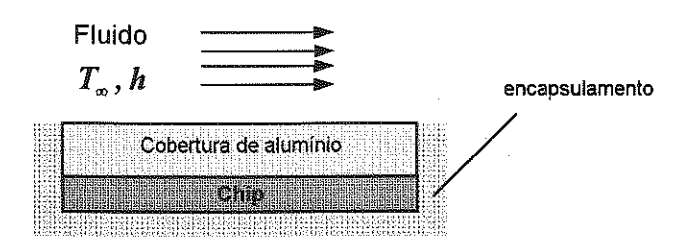
- 3.3 Um vidro duplo de janela é constituído por duas placas de vidro de 7mm de espessura cada, com um espaço cheio de ar entre elas de 7mm. A janela separa os ares dos ambientes interno (à 20°C) e externo (à -10°C). O coeficiente convectivo associado à face interna (no lado do ambiente interno) é 10W/m²·K, e o associado ao lado externo (lado do ambiente externo) é 80W/m²·K. Qual a perda de calor através da janela, com 80cm de comprimento por 1m de largura? Admita que o ar entre os vidros esteja em descanso.
- 3.4 A parede um forno é composta pelos materiais A, B e C cujas espessuras são respectivamente  $L_A = 30 \,\mathrm{cm}$ ,  $L_B = 15 \,\mathrm{cm}$  e  $L_C = 15 \,\mathrm{cm}$ . A condutividade térmica de A e C são conhecidas ( $k_A = 20 \,\mathrm{W/m \cdot K}$  e  $k_C = 50 \,\mathrm{W/m \cdot K}$ ,). O material B, que está entre as camadas dos materiais A e C, apresenta a condutividade térmica ( $k_B$ ) desconhecida. Em condições de operação em regime permanente, as medições de temperatura na face externa revelam que  $T_{s,o} = 20 \,\mathrm{^{\circ}C}$  e que, na face interna  $T_{s,i} = 600 \,\mathrm{^{\circ}C}$ . A temperatura do ar no forno é  $T_{\infty} = 800 \,\mathrm{^{\circ}C}$ , e o coeficiente de transferência convectiva de calor é  $h = 25 \,\mathrm{W/m^2 \cdot K}$ . Qual o valor de  $k_B$ ?



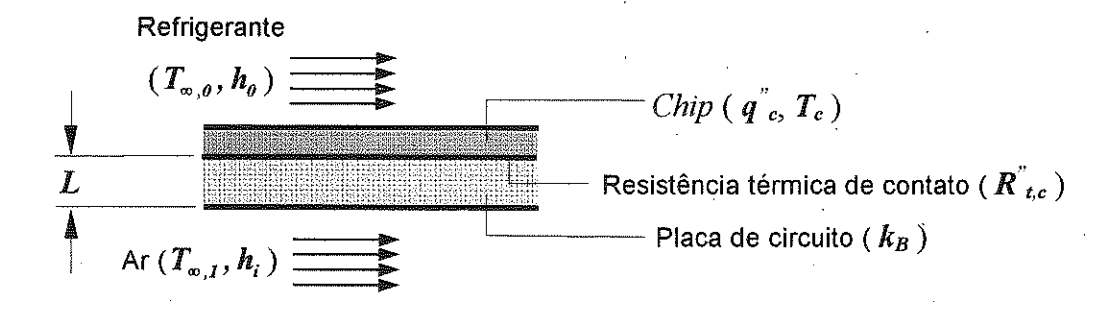
#### Resistência de Contato

- 3.5 Uma parede composta separa gases de combustão a 2600°C, de um refrigerante líquido a 100°C. O coeficiente convectivo no lado do gás é 50W/m²·K e no lado líquido, 1000W/m²·K. A parede é composta por uma camada de óxido de berílio no lado do gás, com 10mm de espessura, e uma chapa de aço inoxidável (AISI 304) de 20mm de espessura no lado do líquido. A resistência de contato entre o óxido e o aço é 0,05 m²·K/W. Qual é a perda térmica por área unitária superficial do composto? Esquematizar a distribuição de temperatura, do gás para o líquido.
- 3.6 Um *chip* de silício está encapsulado de modo que, em regime permanente, toda a potência dissipada se transfere por convecção para uma corrente de fluido na qual  $h = 1000 \text{W/m}^2 \cdot \text{K}$  e  $T_{\infty} = 25 \,^{\circ}\text{C}$ . O *chip* está separado do fluido por uma cobertura de

alumínio, com 2mm de espessura, e a resistência térmica de contato na interface chipalumínio é 0,05m²-K/W. A área superficial do chip é de 100mm² e a temperatura máxima admissível é 85 °C. Qual é a dissipação de potência máxima permissível no *chip*?



3.7 - Num único circuito integrado (*chip*) podem ser colocados aproximadamente 10<sup>4</sup> componentes elétricos discretos, com uma dissipação do calor gerado eletricamente tão alta quanto 30kW/m². O *chip*, que é muito delgado, é resfriado por convecção na sua superficie externa, com  $h_{\theta} = 1000$ W/m²·K e  $T_{\infty,o} = 20$ °C. Ele está montado numa placa de circuito em contato com a sua face interna, onde a resistência térmica de contato entre o *chip* e a placa é 10<sup>-4</sup> m²·K/W, a espessura da placa é L = 5mm e a condutividade térmica é  $k_B = 1$  W/m·K. A outra face da placa está exposta ao ambiente com  $h_i = 40$ W/m²·K e  $T_{\infty,i} = 20$ °C.

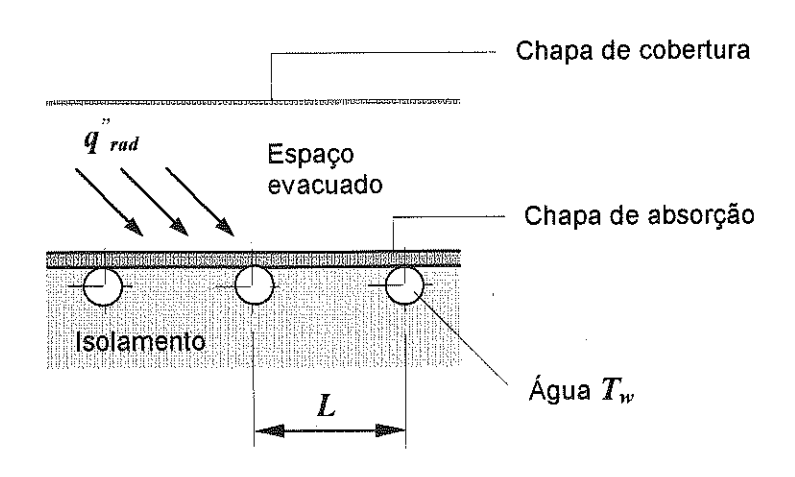


- (a) Esquematizar o circuito térmico equivalente que corresponde ao regime permanente Indique as resistências, temperaturas e fluxos térmicos.
- (b) Qual é a temperatura do *chip* em condições de regime permanente, com a dissipação térmica do chip de  $q_e^n = 30 \text{kW/m}^2$ ?

### Superfícies Expandidas

3.8 - Na chapa de absorção de um coletor solar de chapa plana estão soldadas tubulações de cobre, conforme a figura. A chapa de absorção tem 6mm de espessura e é feita em liga de alumínio (2024-T6). A face superior da chapa está separada de uma chapa de

cobertura transparente por um espaço evacuado. Os tubos de cobre estão regularmente espaçados um do outro de L=0.20m e há circulação de água no interior de cada um para remover o calor recolhido pela chapa de absorção. Pode-se admitir que a água esteja na temperatura uniforme  $T_w = 60$ °C.



Em condições de operação em regime permanente, nas quais o fluxo líquido de radiação na superficie é  $q''_{rad} = 800 \text{W/m}^2$ :

- (a) qual é a temperatura máxima na chapa?
- (b) qual a taxa de transferência de calor por unidade de comprimento dos tubos?

Observar que q"<sub>rad</sub> representa o efeito líquido da absorção de radiação solar pela chapa homônima, e a troca radiativa entre as chapas de absorção e de cobertura. Pode-se admitir ainda que a temperatura da chapa de absorção, diretamente acima de um tubo, seja igual à temperatura da água.

- 3.9 Determinar o aumento percentual da transferência de calor provocado pela colocação de aletas de alumínio com perfil retangular numa chapa plana. As aletas têm 50mm de comprimento, 0,5mm de espessura e estão igualmente espaçadas de uma distância de 4mm (250 aletas por metro). O coeficiente de convecção associado à chapa nua é 40W/m²·K, enquanto o provocado pela colocação das aletas é 30W/m²·K.
- 3.10 Uma aleta anular de alumínio, com perfil retangular, está montada num tubo circular com diâmetro de 25mm e temperatura superficial de 250°C. A aleta possui 1mm de espessura e 10mm de comprimento, e o fluido adjacente está a temperatura de 25°C com coeficiente de convecção associado de 25W/m²·K.
  - (a) Qual é a perda de calor por aleta?
  - (b) Se 200 aletas estiverem espaçadas de 5mm ao longo do comprimento do tubo, qual é a perda de calor por metro de tubo?

# oftulo 4 - Introdução à Convecção

Até agora focalizou-se a atenção na transferência condutiva de calor e só se siderou a convecção na medida em que ela proporciona possível condição de contorno problemas de condução. No Item 1.2.2 usamos o conceito de convecção para descrever ransferência de energia entre uma superficie e um fluido em movimento sobre esta a difusão (movimento aleatório das moléculas do fluido) contribua para este tipo de a provocada pelo movimento geral, de massa, das nículas do fluido.

No tratamento sobre a convecção, existem dois objetivos maiores. Além de se retender adquirir entendimento sólido sobre os mecanismos fisicos que estão subjacentes à ansferência convectiva, deseja-se também desenvolver os meios de efetuar os cálculos da ansferência convectiva. Neste capítulo, são introduzidos os efeitos da transferência onvectiva de massa, analogamente com os da transferência convectiva de calor. Na ansferência de massa pela convecção, o movimento geral do fluido combina-se com a ifusão para promover o transporte de uma espécie, na qual existe um gradiente de oncentração.

# 4.1 - O Problema da Transferência Convectiva

Considere o escoamento nas condições da Figura 4.1a.

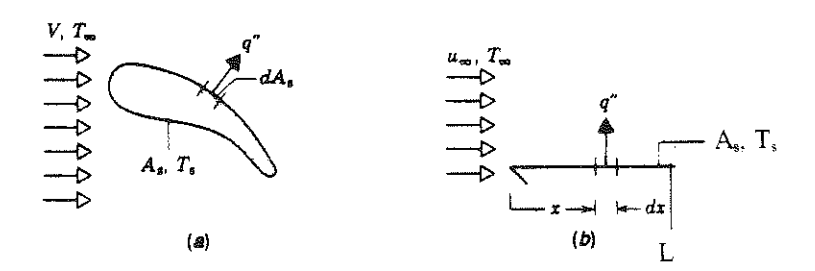


Figura 4.1 - Efeitos local e total da transferência convectiva de calor: (a) superficie com forma arbitrária; (b) chapa plana.

O fluido, com velocidade V e temperatura  $T_{\infty}$  escoa sobre uma superficie de forma arbitrária e de área A. A superficie, por hipótese, está a uma temperatura uniforme  $T_s$  e, se  $T_s \neq T_{\infty}$ , ocorrerá a transferência convectiva de calor. O fluxo de calor local q" pode exprimir-se como:

$$q'' = h \cdot (T_c - T_m) \tag{4.1}$$

onde h é o coeficiente local de convecção. Em virtude de as condições de escoamento variarem de ponto para ponto sobre a superficie, q e também h se diversificarão ao longo

desta superficie. A taxa total de transferência de calor q pode ser obtida pela integração dos fluxos locais sobre toda a superficie, ou seja,

$$q = \int_{A_s} q'' dA_s \tag{4.2}$$

ou, pela equação (4.1)

$$q = (T_s - T_{\infty}) \int_{A_s} h dA_s \tag{4.3}$$

Definindo-se o coeficiente médio de convecção  $\overline{h}$  para toda a superficie, a taxa total de transferência de calor pode exprimir-se na forma

$$q = \overline{h} \cdot A_1 (T_s - T_{\infty}) \tag{4.4}$$

Mediante a igualdade das equações (4.3) e (4.4), conclui-se que os coeficientes médios e local de convecção estão relacionados pela expressão:

$$\overline{h} = \frac{1}{A_s} \int_{A_s} h dA_s \tag{4.5}$$

No caso especial do escoamento sobre uma chapa plana (Figura 4.1b), h varia com a distância x da borda frontal e a equação (4.5) se reduz a

$$\overline{h} = \frac{1}{I} \int_0^L h dx \tag{4.6}$$

Resultados semelhantes podem ser conseguidos para a transferência convectiva de massa. Se um fluido, com a concentração molar desta espécie  $C_{A,\infty}$  [kmol/m³] escoa sobre uma superficie na qual a concentração da espécie A se mantém com um valor uniforme  $C_{A,\sigma} \neq C_{A,\infty}$  (Figura 4.2a), ocorrerá a transferência convectiva da espécie considerada.

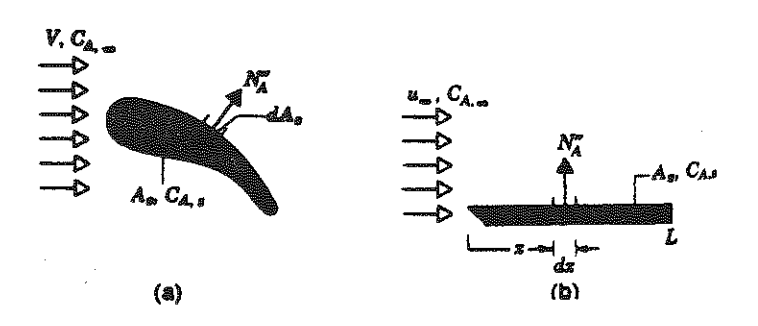


Figura 4.2 - Efeitos local e total da transferência convectiva de massa:

(a) superficie com forma arbitrária; (b) chapa plana.

A espécie A, num caso típico, é um vapor que se transfere para uma corrente de gás em virtude da evaporação, ou da sublimação, de uma superficie líquida ou sólida respectivamente, e o nosso interesse é determinar a taxa desta transferência. Como no caso da transferência de calor, o cálculo pode se basear no uso de um coeficiente de convecção

Em particular, pode-se relacionar o fluxo molar da espécie  $\underline{A}$  ao produto de um coeficiente de transferência por uma diferença de concentração. Tendo em vista a Figura 4.2, o fluxo molar da espécie  $\underline{A}$  ( $N_A$  [kmol/s m²]) pode exprimir-se como

$$N_A'' = h_m \cdot \left(C_{A,s} - C_{A,\infty}\right) \tag{4.7}$$

onde  $h_m$  [m/s] é o coeficiente de transferência convectiva de massa. A taxa total da transferência molar de massa para uma superficie,  $N_A$  [kmol/s], fica então expressa por:

$$N_A = \overline{h}_m \cdot A_s \cdot \left( C_{A,s} - C_{A,\infty} \right) \tag{4.8}$$

onde os coeficientes médio e local da transferência convectiva de massa estão relacionados pela equação:

$$\overline{h}_{m} = \frac{1}{A_{s}} \int_{A_{s}} h_{m} dA_{s} \tag{4.9}$$

Numa chapa plana, Figura 4.2b, segue-se que

$$\overline{h}_{m} = \frac{1}{L} \int_{0}^{L} h_{m} dx \tag{4.10}$$

A transferência de uma espécie química também pode ser expressa como o fluxo de massa  $n''_A$  [kg/s·m²], ou como a taxa de transferência de massa  $n_A$  [kg/s], pela simples multiplicação dos dois membros das equações (4.7) e (4.8) pela massa molecular  $M_A$  [kg/mol] da espécie  $\underline{A}$ . Assim,

$$\boldsymbol{n}_{A}^{"} = \boldsymbol{h}_{m} \left( \boldsymbol{\rho}_{A,s} - \boldsymbol{\rho}_{A,w} \right) \tag{4.11}$$

$$\mathbf{e} \qquad \mathbf{n}_{A} = \overline{\mathbf{h}}_{m} A_{s} \left( \mathbf{p}_{A,s} - \mathbf{p}_{A,\infty} \right) \tag{4.12}$$

onde  $\rho_A$  [kg/m<sup>3</sup>] é a massa específica da espécie A.

A fim de se efetuar o cálculo de transferência convectiva de massa, é necessário determinar os valores de  $C_{A.s.}$ , ou de  $\rho_{A.s.}$  Esta determinação se faz com facilidade observando-se que na interface do gás com a fase sólida, ou líquida, existe o equilíbrio termodinâmico. A existência deste equilíbrio impõe a igualdade entre a temperatura da interface  $T_s$ . Uma segunda consequência é a de o vapor estar saturado, e neste caso, as tabelas termodinâmicas (como a Tabela A.6 para a água) podem ser usadas para se obter as densidades a partir do conhecimento de  $T_s$ . Com uma boa aproximação, a concentração molar do vapor na superficie pode também ser determinada a partir da pressão de vapor, mediante a lei dos gases perfeitos:

$$C_{A,s} = \frac{p_{sat}(T_s)}{R \cdot T_s} \tag{4.13}$$

onde R é a constante universal dos gases e  $p_{sat}(T_s)$  é a pressão de vapor correspondente à saturação na temperatura  $T_s$ . A densidade do vapor e a concentração molar estão relacionadas por  $\rho_A = M_A \cdot C_A$ .

Em qualquer problema de convecção, o fluxo local de transferência, a taxa total de transferência, ou ambos, são de importância preeminente. Estas grandezas são determinadas pelas equações das taxas (equações 4.1, 4.4, 4.7 e 4.8) que dependem do conhecimento dos coeficientes local e médio. Por isso, a determinação desses coeficientes é considerada o problema de convecção, que por sinal não é simples, pois além de dependerem de diversas propriedades do fluido - densidade, viscosidade, condutividade térmica e calor específico - os coeficientes dependem também da geometria da superfície e das condições de escoamento. Esta multiplicidade de variáveis independentes surge devido a transferência convectiva ser determinada pelas camadas limites que se desenvolvem sobre a superfície.

# Exemplo 4.1

Os resultados experimentais da medida do coeficiente local de transferência convectiva de calor  $h_x$ , num escoamento sobre uma chapa plana, com superficie muito áspera, mostraram que se pode adotar a relação  $h_x(x) = ax^{-\theta,1}$ , onde a [W/m<sup>1,9</sup>K] é um coeficiente e x [m] é a distância medida a partir da borda frontal da chapa.

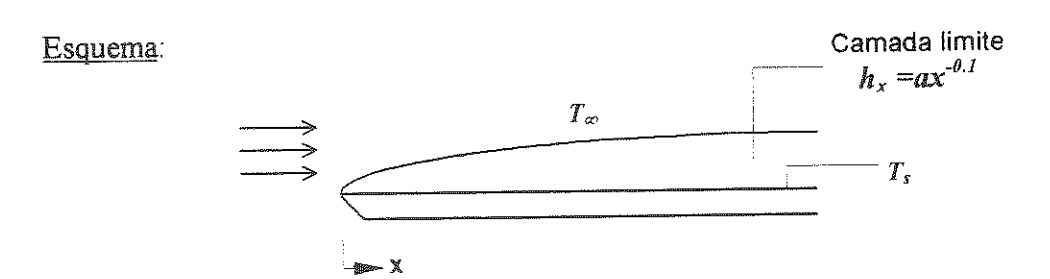
- 1. Deduzir a expressão da razão entre o coeficiente médio de transferência de calor  $\overline{h}_x$ , sobre uma chapa de comprimento x, e o coeficiente local de transferência de calor  $h_x$ , no ponto x.
- 2. Mostrar qualitativamente a variação de  $h_x$  e de  $\overline{h}_x$  em função de x.

### Solução:

Dados: A variação do coeficiente local de transferência de calor  $h_x(x)$ .

### Incógnitas:

- 1. A razão entre o coeficientes médio  $\overline{h}_x$  e local  $h_x(x)$  de transferência de calor.
- 2. A variação gráfica de  $h_x$ , e de  $\overline{h}_x$ , com x.



### Analise:

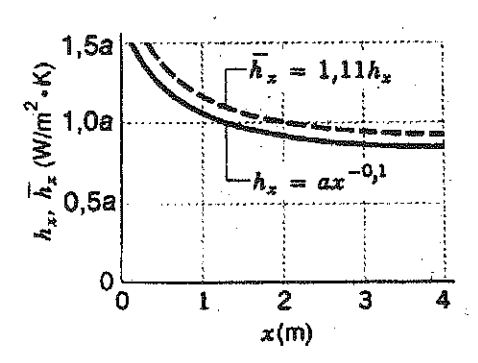
1. Pela equação (4.6), o valor médio do coeficiente de transferência convectiva de calor sobre a região de 0 até x é

$$\overline{h}_x = \overline{h}_x(x) = \frac{1}{x} \int_{\theta}^x h_x(x) dx$$

Com a expressão do coeficiente local  $h_x(x) = ax^{-\theta,1}$  e a integração dá:

$$\overline{h}_{x} = \frac{1}{x} \int_{0}^{x} ax^{-\theta,1} dx = \frac{a}{x} \int_{0}^{x} x^{-\theta,1} dx = \frac{a}{x} \left( \frac{x^{+\theta,9}}{\theta,9} \right) = 1,11ax^{-\theta,1} \quad \therefore \quad \overline{h}_{x} = 1,11h_{x}$$

2. A variação de  $h_x$  e de  $\overline{h}_x$  é a seguinte:



Comentários: O desenvolvimento da camada limite provoca a diminuição dos coeficientes local e médio com o aumento da distância à borda frontal. O coeficiente médio até x deve, por isso, ser maior que o valor local em x.

# 4.2 - As Camadas Limites da Convecção

### 4.2.1 - A Camada Limite Cinética

A fim de introduzir o conceito de camada limite, considere o escoamento sobre a chapa plana da Figura 4.3.

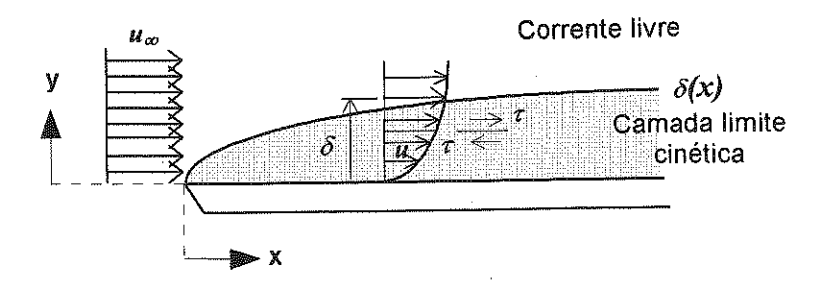


Figura 4.3 - Desenvolvimento da camada limite cinética sobre uma chapa plana.

Quando as partículas do fluido entram em contato com a superficie, a velocidade que assumem é nula. Essas partículas retardam então o movimento das que estão na camada vizinha do fluido, que por sua vez, retardam o movimento das partículas na camada subsequente, e assim sucessivamente, até que, a uma distância  $y = \delta$  da superficie, o efeito se torna desprezível. Este retardo do movimento do fluido é uma consequência das tensões de cisalhamento  $\tau$  que atuam nos planos paralelos à velocidade do fluido (Figura 4.3). Com isso, o aumento da velocidade do fluido u deve então crescer até atingir o valor  $u_{\infty}$  da corrente livre. O índice  $\infty$  é usado para indicar as condições da corrente livre, fora da camada limite.

A grandeza  $\delta$  é a espessura da camada limite e se define nos casos típicos como o valor de y para o qual  $u = 0.99u_{\infty}$ . O perfil de velocidade na camada limite representa a variação de u com y na camada limite. Assim, o escoamento do fluido se caracteriza por duas regiões distintas: uma camada delgada do fluido (a camada limite), na qual os gradientes da velocidade e das tensões de cisalhamento são grandes; e uma região externa à camada limite na qual a velocidade e as tensões de cisalhamento têm gradientes desprezíveis. Com o aumento da distância em relação à borda frontal da chapa, os efeitos da viscosidade atingem mais profundamente a corrente livre, e com isso a camada limite aumenta ( $\delta$  aumenta com x).

Em virtude de referir-se à velocidade do fluido, a camada limite que se descreveu pode ser denominada mais especificamente como a camada limite cinética. Ela se desenvolve sempre que um fluido escoa sobre uma superficie e tem importância fundamental nos problemas que envolvem o transporte convectivo. Na Mecânica dos Fluidos, o seu significado para o engenheiro provém das relações que guarda com a tensão de cisalhamento na superficie  $\tau_s$ , ou seja, com os efeitos do atrito na superficie. No escoamento externo a um corpo, ela proporciona a base para a determinação do coeficiente de atrito local  $C_f$ 

$$C_f = \frac{\tau_s}{\rho \cdot u_{\infty}^2 / 2} \tag{4.14}$$

o qual é um parâmetro admensional decisivo de onde se pode determinar o arraste provocado pelo atrito na superficie. Admitindo *fluido newtoniano*, a tensão de cisalhamento na superficie pode ser calculada pelo conhecimento do gradiente de velocidade na superficie

$$\tau_s = \mu \frac{\partial u}{\partial y}\bigg|_{y=a} \tag{4.15}$$

onde  $\mu$  é uma propriedade do fluido conhecida como viscosidade dinâmica.

### 4.2.2 - A Camada Limite Térmica

Assim como uma camada limite cinética se instala quando houver o escoamento de um fluido sobre uma superficie, a camada limite térmica deve se desenvolver quando as temperaturas da corrente livre e da superficie forem diferentes. Considere o escoamento sobre uma chapa plana, isotérmica (figura 4.4).

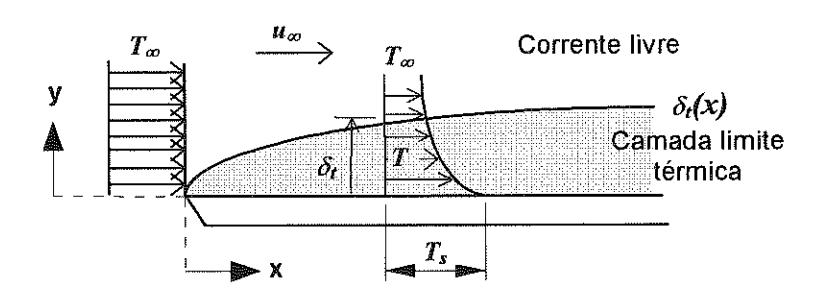


Figura 4.4 - Desenvolvimento da camada limite térmica sobre uma chapa isotérmica.

Na borda frontal, o perfil de temperatura é uniforme, com  $T(y) = T_{\infty}$ . No entanto, as partículas do fluido que entram em contato com a chapa ficam em equilíbrio térmico na temperatura da superficie da chapa. Por sua vez, essas partículas trocam energia com as da camada de fluido adjacente desenvolvendo assim gradientes de temperatura deste. A região do fluido na qual existem tais gradientes é a camada limite térmica, e a sua espessura  $\delta_t$  é definida nos casos típicos como o valor de y para o qual a razão  $(T_s - T)/(T_s - T_{\infty}) = 0.99$ . Com o aumento da distância à borda frontal da chapa, os efeitos da transferência de calor penetram mais profundamente na corrente livre, e a camada limite térmica aumenta.

É facilmente possível demonstrar a relação entre as condições nessa camada limite e o coeficiente de transferência convectiva de calor. A qualquer distância x da borda frontal da chapa, o fluxo *local* de calor pode ser obtido mediante a Lei de Fourier aplicada ao fluido em y = 0. Isto é:

$$q_s'' = -k_f \frac{\partial T}{\partial y}\bigg|_{y=0} \tag{4.16}$$

Esta expressão é apropriada pois na superfície não há movimento do fluido e a transferência de energia ocorre somente por condução. A combinação da equação (4.16) com a lei do resfriamento de Newton (equação 4.1) dá

$$h = \frac{-k_f \frac{\partial T}{\partial y}\Big|_{y=\theta}}{T_s - T_{\infty}}$$
(4.17)

Então, as condições nas camadas limites cinética e térmica, que influenciam fortemente o gradiente de temperatura na parede  $\partial T/\partial y|_{y=\theta}$ , determinam a taxa de transferência de calor através dessa camada. Uma vez que  $(T_s - T_{\infty})$  é um a constante independente de x, e enquanto  $\delta_t$  aumenta com o aumento de x, os gradientes de temperatura na camada limite devem diminuir com tal aumento. Desta forma, a grandeza  $\partial T/\partial y|_{y=\theta}$  diminui e com isso, q e h também diminuem com o aumento de x.

# 4.2.3 - A Camada Limite de Concentração

Da mesma forma que as camadas limites cinéticas e térmicas determinam o atrito na parede e a transferência convectiva de calor, a camada limite de concentração determina a transferência convectiva de massa. Se uma mistura binária das espécies químicas  $\underline{A}$  e  $\underline{B}$  escorre sobre uma superficie, e se a concentração da espécie  $\underline{A}$  na superficie  $C_{A,s}$  difere da concentração da corrente livre  $C_{A,s}$ , haverá o desenvolvimento de uma camada limite de concentração. É a região do fluido na qual existem gradientes de concentração cuja espessura  $\delta_C$  define-se como o valor de y para o qual  $(C_{A,s} - C_A)/(C_{A,s} - C_{A,s}) = 0,99$ . A transferência convectiva de uma espécie química, entre a superficie e a corrente livre de fluido, é determinada pelas condições nessa camada limite.

A relação entre a transferência convectiva de uma espécie e a concentração na camada limite pode ser demonstrada considerando-se, inicialmente, que o fluxo molar associado à transferência difusiva da espécie é determinado por uma expressão análoga à Lei de Fourier que traduz a Lei de Fick e tem a forma:

$$N_A'' = -D_{AB} \frac{\partial C_A}{\partial y} \tag{4.18}$$

onde  $D_{AB}$  é a propriedade da mistura binária conhecida como o coeficiente de difusão binário. Em qualquer ponto correspondente a y > 0 (camada limite de concentração da Figura 4.5), a transferência das espécies se deve ao movimento geral do fluido e à difusão. No entanto, em y = 0, não há movimento do fluido, e a transferência das espécies ocorre somente por difusão.

Com a Lei de Fick em y = 0, o fluxo de uma espécie, a qualquer distância da borda frontal da chapa, é então

$$N_{A}'' = D_{AB} \frac{\partial C_{A}}{\partial y} \bigg|_{y=0}$$
 (4.19)

Combinando as equações (4.7) e (4.19), vem

$$h_{m} = \frac{-D_{AB} \frac{\partial C_{A}}{\partial y}\Big|_{y=\theta}}{C_{A,s} - C_{A,\infty}}$$
(4.20)

Portanto, as condições na camada limite de concentração que influenciam fortemente o gradiente de concentração na superficie  $\partial C_A/\partial y\big|_{y=\theta}$ , afetarão também o coeficiente de transferência convectiva de massa e, consequentemente, a taxa de transferência da espécie na camada limite.

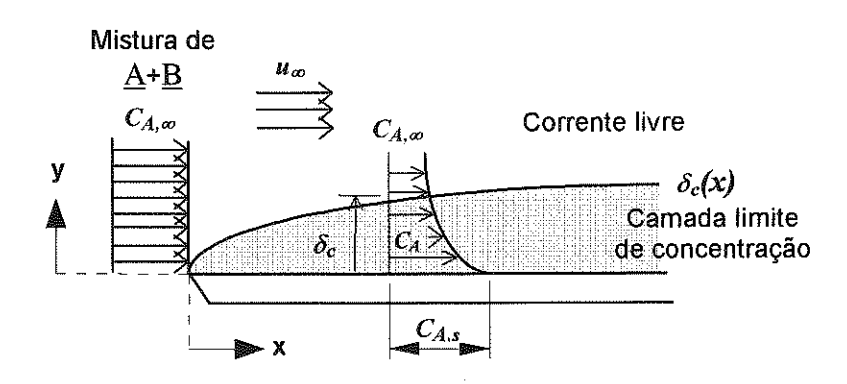


Figura 4.5 - Desenvolvimento da camada limite de concentração sobre uma superfície plana.

Os resultados anteriores se exprimem também numa base de massa em lugar da base molar. Multiplicando os dois membros da equação (4.18) pela massa molecular da espécie  $(M_A)$ , o fluxo de massa devido à difusão é

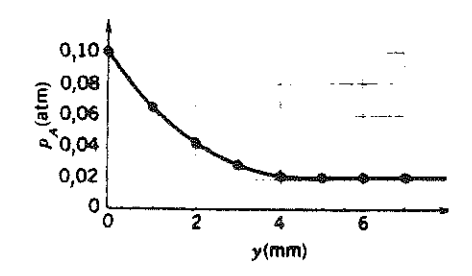
$$n_A'' = -D_{AB} \frac{\partial \rho_A}{\partial v} \tag{4.21}$$

Usando esta equação em y = 0, e combinando-a com a equação (4.11), vem

$$h_{m} = \frac{-D_{AB} \frac{\partial \rho_{A}}{\partial y} \Big|_{y=\theta}}{\rho_{A,s} - \rho_{A,\infty}}$$
(4.22)

## Exemplo 4.2

Num determinado ponto da superficie da água que está numa bandeja, foram feitas medidas da pressão do vapor de água  $p_A$  [atm] em função da distância y à superficie. Os resultados estão no gráfico seguinte.



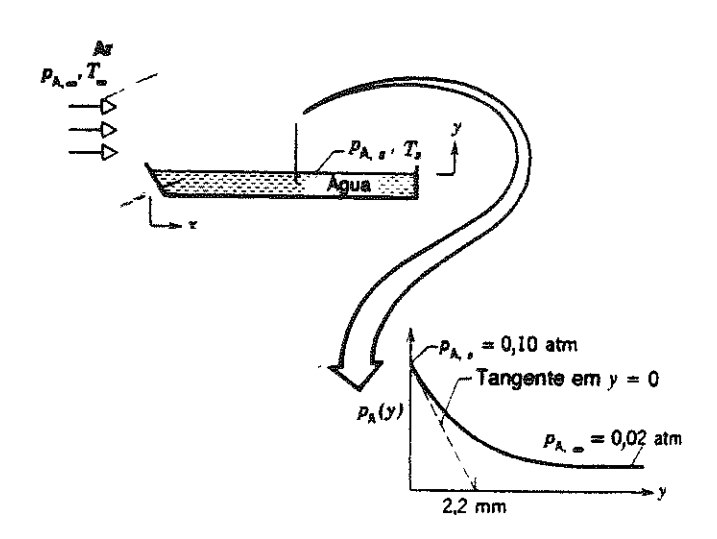
Determinar o coeficiente de transferência convectica de massa  $h_{m,x}$  neste ponto.

## Solução:

<u>Dados</u>: A pressão parcial do vapor de água  $p_A$  em função da distância y a um certo ponto na superficie de uma camada de água.

Incógnita: O coeficiente de transferência convectiva de massa no ponto determinado.

## Esquema:



## Hipóteses:

- 1 O vapor de água pode ser considerado um gás perfeito.
- 2. As condições são isotérmicas.

## Propriedades:

- Tabela A.6, vapor de água saturado (0,1 atm = 0,101 bar):  $T_s$  = 319 K.
- Tabela A.8, vapor de água-ar (319 K):  $D_{AB} (319 \text{ K}) = D_{AB} (298 \text{ K}) \times (319 \text{ K} / 298 \text{ K})^{3/2} = 0,288 \times 10^{-4} \text{ m/s}.$

Análise: Pela equação (4.22), o coeficiente de transferência convectiva de massa é

$$\boldsymbol{h}_{m,x} = \frac{-\left.\boldsymbol{D}_{AB} \cdot \left(\partial \rho_{A} / \partial \boldsymbol{y}\right|_{\boldsymbol{y}=\boldsymbol{\theta}}\right)}{\rho_{A,s} - \rho_{A,\infty}}$$

ou, tratando o vapor como um gás perfeito

$$p_A = \rho_A \cdot R \cdot T$$

e em condições isotérmicas (T constante):

$$h_{m,x} = \frac{-D_{AB} \cdot \left( \partial p_A \cdot \partial y \big|_{y=0} \right)}{p_{A,s} - p_{A,\alpha}}$$

A partir da distribuição experimental da pressão de vapor

$$\frac{\partial p_A}{\partial_y}\Big|_{y=0} = \frac{0-0.1}{0.0022-0} = -45.5 \text{ atm/m}$$

Então,

$$h_{m,x} = \frac{-0.288 \times 10^{-4} \cdot (-45.5)}{0.1 - 0.02} = 0.0164 \, \text{m/s}$$

Comentários: A partir do equilíbrio termodinâmico na interface líquido-vapor, a temperatura interfacial foi determinada pela Tabela A.6.

# 4.2.4 - Significado das Camadas Limites

Em resumo, a camada limite cinética tem a espessura  $\delta(x)$  e se caracteriza pela presença de gradientes de velocidades e tensões de cisalhamento. A camada limite térmica tem a espessura  $\delta_{c}(x)$  e se caracteriza pelos gradientes de temperatura e pela transferência de calor. Finalmente, a camada limite de concentração tem a espessura  $\delta_{c}(x)$  e se caracteriza pelos gradientes de concentração e pela transferência de espécies químicas. Para o engenheiro, as principais manifestações das três camadas limites são, respectivamente, o atrito superficial, a transferência convectiva de calor e a transferência convectiva de massa. Os parâmetros chave das camadas limites são então o coeficiente de atrito  $C_f$ , o coeficiente de transferência convectiva de calor h e o coeficiente h e o

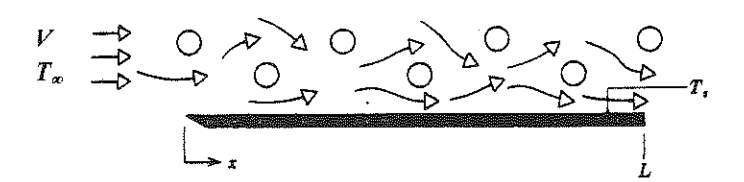
No escoamento de um fluido sobre qualquer superficie, existe sempre uma camada limite cinética e portanto, existe sempre atrito na superficie. No entanto, a camada limite térmica e, portanto, a transferência convectiva de calor só existem se a superficie e a corrente livre tiverem temperaturas diferentes. Analogamente, só existirão a camada limite de concentração e a transferência convectiva de massa se a concentração na superficie de uma espécie for diferente da concentração dessa espécie na corrente livre. Podem ocorrer situações nas quais todas as três camadas limites estejam presentes. Nestes casos, as camadas limites raramente se estabelecem à mesma taxa e os valores de  $\delta$ , de  $\delta_t$  e de  $\delta_c$ , num certo ponto x, não são iguais.

# Referências

- [1] Schlichting, H., Boundary Layer Theory, 7th ed., McGraw Hill, New York, 1979.
- [2] Bird, R. B., Stewart, W. E. and Lighfoot, E. N. Transport Phenomena, Chapters 10 and 18, Wiley, New York, 1966.
- [3] Eckert, E. R. G., and Drake Jr., R. M., Analysis of Heat and Mass Transfer, McGraw-Hill, New York, 1973, pp. 270 275.
- [4] Hartnett, J. P., "Mass Transfer Cooling", in W. M. Rohsenow and J. P. Hartnett, Eds., Handbook of Heat Transfer, McGraw - Hill, New York, 1973.
- [5] Kays, W. M., and M. E. Crawford, Convective Heat and Mass Transfer, McGraw Hill, New York, 1980.
- [6] Shah, R. K., and A. L. London, Laminar Flow Forced Convection in Ducts, Academic Press, New York, 1978.
- [7] Burmeister, L. C., Convective Heat Transfer, Wiley Interscience, New York, 1983.
- [8] Roache, P. J., Computational Fluid Dynamics, Hermosa Publishers, Albuquerque, NM, 1976.
- [9] Patankar, S. V., Numerical Heat Transfer and Fluid Flow, Hemisphere Publishing Corp., New York, 1980.
- [10] Fox, R. W., and A. T. McDonald, *Introduction to Fluid Mechanics*, Wiley, New York, 1978.
- [11] Colburn, A. P., Trans. Am. Inst. Chem. Eng., 29, 174, 1993.
- [12] Chilton, T. H., and A. P. Colburn, Ind. Eng. Chem., 26, 1183, 1934.
- [13] Hinze, J. O., Turbulence, 2nd ed., McGraw Hill, New York, 1975.
- [14] Lauder, B. E., and D. B. Spalding, Mathematical Models of Turbulence, Academic Press, New York, 1972.
- [15] Bradshaw, P., T. Cebeci, and J. Whitelaw, Engineering Calculational Methods for Turbulent Flow, Academic Press, New York, 1981.

# **Exercícios Propostos**

- 4.1 Num escoamento laminar sobre uma chapa, o coeficiente local de transferência de calor  $h_x$  varia com  $x^{-1/2}$ , onde x é a distância à borda frontal da chapa (x = 0). Qual a razão entre o coeficiente médio, sobre a distância da borda frontal até um certo ponto x na chapa, e o coeficiente local em x?
- 4.2 Numa convecção livre laminar sobre uma superficie vertical aquecida, o coeficiente local de convecção pode ser expresso como  $h_x = Cx^{-1/4}$ , onde  $h_x$  é o coeficiente no ponto à distância x da borda frontal da superficie e o parâmetro C, que depende das propriedades do fluido, é independente de x. Determinar a expressão da razão  $\overline{h}_x/h_x$ , onde  $\overline{h}_x$  é o coeficiente médio entre a borda frontal (x = 0) e o ponto x. Fazer o gráfico da variação de  $h_x$  e de  $\overline{h}_x$  com x.
- 4.3 Um jato de gás quente com seção reta circular a  $T_{\infty}$ , incide normalmente numa chapa circular que tem o raio  $r_0$  e mantida na temperatura uniforme  $T_s$ . O gás flui sobre a chapa, com simetria axial, e provoca um coeficiente de transferência convectiva de calor que tem uma dependência radial da forma  $h(r) = a + br^n$ , onde a, b e n são constantes. Determinar a taxa de transferência de calor para a chapa, exprimindo o resultado em termos de  $T_{\infty}$ ,  $T_s$ ,  $r_0$ , a, b, n.
- 4.4 O escoamento paralelo do ar atmosférico sobre uma chapa plana com comprimento de L=3m é perturbado por um conjunto de barras estacionárias colocadas acima da chapa. As medidas, em laboratório, do coeficiente local de convecção na superficie da chapa foram feitos com valores determinados de V e de  $T_s > T_{\infty}$  e correlacionados por uma expressão da forma  $h_x = 0.7 + 13.6x 3.4x^2$ , com  $h_x$  em [W/m<sup>2</sup>K] e x em [m].



- (a) Estimar o coeficiente médio de convecção  $h_L$  sobre toda a chapa
- (b) Estimar a razão  $\overline{h}_L/h_L$  na borda traseira da chapa.

# Apêndice A

# PROPRIEDADES TERMOFÍSICAS DA MATÉRIA<sup>1</sup>

#### Tabela

- A.1 Propriedades Termofisicas de Alguns Sólidos Metálicos
- A.2 Propriedades Termofisicas de Alguns Sólidos Não-Metálicos
- A.3 Propriedades Termofisicas de Metais Comuns

Materiais de Construção

Materiais e Sistemas Isolantes

Isolamento Industrial

**Outros Materiais** 

- A.4 Propriedades Termofisicas de Gases na Pressão Atmosférica
- A.5 Propriedades Termofisicas de Fluidos Saturados
  Líquidos Saturados
  Líquido-vapor Saturado. 1atm
- A.6 Propriedades Termofisicas da Água Saturada
- A.7 Propriedades Termofisicas de Metais Liquidos
- A.8 Coeficiente de Difusão Binário a latm
- A.9 Constante de Henry para Alguns Gases em Agua, a Pressão Moderada
- A.10 Solubilidade de Gases em Sólidos

A conversão adotada para apresentar os valores numéricos das grandezas fica ilustrada pelo seguinte exemplo:

T (K)	$(\mathbf{m}^2/\mathbf{s})$	k · 10 <sup>3</sup> (W/m·K)
300	0,349	521

metálicos'
sólidos
alguns
용
termofísicas
Propriedades
-
abels A

and the second s		-						PROF	RIEDADI	SAVAR	PROPRIEDADES A VARIAS TEMPERATURAS IX	RATURA	S (K		
	and company	<b>L</b>	PROPRIEDADES A 300 K	DES A 300 K						\$1.°	t (Wim Ki				
COMPOSIÇÃO	FUSAO (K)	(kg·m²)	(JAg K)	, k (W/m K)	ه ان اهنها	100	χ.	909	909	9000	HON	1200	1500	ôus?	79G
Alumínio Paro	933	204.2	28	£	۳. ۲.	2 X 3	£2 <b>£</b>	₹3	ភ្	218					
Lage 2024-To (4.5% Cu.	£.	27.0	\$28	Ē	0,67	. 25	35	žž š	8 E	}					
Luga 195, Fundida (4,5% Cu)		2790	883	<u>36</u>	68.2	:	į	<u> </u>	32 1						
Per ritio	1550	1850	1825	200	2.68	303	6 1 1	161	25.26	26 28 20 20 20 20 20 20 20 20 20 20 20 20 20	8,0%	12 E	3519		
Bismuto	¥	9780	122	7,86	6.59	112	9,69	7,0%							
Boro	2573	5500	1100	0.75	9.76	128	55.5	16,8 1463	10.6 1892	9.60	8,5 8,5				
Сефпіо	594	9650	182	8.8	48,4	203	55.5	2,7							
Свитьо	<del>9</del>	11340	129	35.3	24.1	39.7	26.7	X 20 27.0	31.4						
Cobalto	1769	8862	12	86	26.6	. 54 K	121 276 376	85.4		58.2	52.1	49.3 733	£2.5 £7.8		
Cobre Puro	1358	8933	šš	109	117	582	11.2	25.5	379	× 5	352	339			
Bronze comercial (90% Cu.	1293	0088	420	ĸ	7	73	24 th 28	ž સ <b>2</b>	÷ & ₹	SC.	<u> </u>	ğ			
Bronze fosforoso de engrenagens (89%, Cu. 11%, So.)	1104	8780	355	A	11		<del>-</del> 1	<b>3</b> 9 I	₹ I						
Latio para cartuchos (latio 71) (70% Cu. 1998, Zu)	<b>88</b>	8530	<b>8</b>	110	33.9	ž.	2, 8 2, 8	137	149						
Constanten (55% Cu. 45% Nt)	1493	8920	*	ສ	6.71	7.5	8 S								
Стояно	2118	2160	4	93.7	29.1	159	_ = 85 = 285	9.06 284	80.7 542	71.3 581	65,4 616	61.9 683	2.5	93.4	
Estanho	<b>5</b> 6	7310	ដ	99.99	£0,1	85.2 118	73,3 215	62.2							
Ferro Puro	1810	7870	2	80.2	23,1	<u>8</u> ;	384	69.5 490	5.5	63,3	32.8	£82	32.1		
Алисо (99,75% рато)		7870	2	7.27	20.7	95.6 215	. 08 y 3. 24	65.7 490	53,1	£2.7 880	22.2 878	28.7 609	, E		
Ass carbona Nacilgado (Mais 1%.		7854	2	80,5	17.7			56.7	0.84	39,2	90.0				
AISI 1010		7832	Ş	63.9	8.81			58.	8,	39.2	£ 5				
Carbono-silisio (Mn s 1%, 0 1%, c %; c 0 6%)		7817	34	51.9	14.9			8 <b>6</b> 2	<b>2 2 2 3 3 3 3 3 3 3 3 3 3</b>	8 7 8	<b>8</b> 8 8				
Carbono-mangands-silicio (1% < Mas 2, 165%, 0.1% < S. a. 0.6%)	:	1618	ੜ੍ਹ	41.0	11.6			12 <del>2</del> 2	39.7 559	35.0	27.6 1090				
Aces de baixo cromo 0.5 Cr-0.25 Mo-Si (0.18% C. 0.65% Cr.		7882	3	37.1	10.9			38.2	36.7 575	33,3	26.9 989				
Cross Mo Cross Mo (0.16% C. 1% Cr. 0.54% Mo. 0.39% Si)		7858	<b>4</b>	42.3	12.2			42.0	39.1 575	¥. 888	£ 8				
1 CrV (0.2% C. 1.02% Cr, 0.15% V)		3836	<b>3</b>	6.84	14.1			46.8 492	£2,1 575	38.3 5.88	28.2				
Aços inoxidaveis AISI 302		8055	08	15.1	3.91			17.3	0,0%	2,5	4,2				
AISI WA	1670	006/	ţ	14.9	3,95	27.2	12.6	16.6 515	19.8 557	282	4,52	28.0 640	31.7		
A(S) 316		\$238	899	13,4	3,48			15.2	18.3	21.3	24.2				
AJSI 347		87.67	780	14.2	1,71			15.8 513	18.9	21.9	24.7				
<b>Сета</b> вню	1121	5360	æ	6,98	¥.	232	96.8 296	43.2	# # # 8	19.8 357	17.4 375	395			
linishio	27.50	22500	8	147	8	<u>F</u> .8	153	<b>3</b> E	£ £	132	126 153	120	112		
Newgoesso	22	1740	1624	<u>\$</u>	9,78	₹ ₹	159 934	153	149	146					
Molibratano	Ā	10240	ដ	138	53.7	179 141	± 42 24 24	13 <del>7</del> 261	126 275	118 285	295	36 38 38	36 SE	용활	<b>3</b> 8 &
Nideio	7741	8570	<b>59</b> 7	7.88	33.6	55,2 188	52,6 249	25.2	282 283 283	61.3 292	₹.8	310	72.1 324	85.2% L. 12.	
Paro	827.1	(E)	#	7.08	0,52	23.	26	80.2	65.6 592	67.6	71.8 562	% % 2.2	82,6 616		
Nichrome (81% Ni, 25% Ct)	167	9400	<b>6</b> 3	12	3,4			480 480	52 52 53	72 SZ					
Incovel X-730 (73% Ni, 15% Cr. 6,7% Fe)	16665	£510	ęţ	11.7	3,1	C.e	.01 L.02	2.E	510	84 2. 8	24.0	37.6	33.0		
Carro	9K51	19300	621	317	121	327 109	323	313 131	298 135	¥ 3	270 145	255 155	j		
		-												-	

The state of the s

Tabeta A.! Propriedades termolísicas de aiguts sófidos metálicos" (cont.)

18848 A.S. CUPINCOCOS KUINOISAGS OF SIĘSIS SOISOS INCINICAS TODIO	isicas uc aiga		a speciments					PROF	RIEDADE	S A VAR	PROPRIEDADES A VARIAS TEMPERATURAS IK	RATURAS	j j		
			PROPRIEDADES A 300 K	DES A 300 K						PVD 'S	ž ž		ļ 		
сомгозьско	POINTO DE FUSÃO (K)	(kg/m)	(J/kg, K)	(Win K)	4 IQ	<u>ē</u>	200	60	8	8	<b>50</b> 0	1300	Š	<b>9</b> 2	ž
Puládio	7281	02021	744	8'12	24.5	76.5 168	7.6	73.6 251	79. 261	\$£.	282	02 <u>8</u> 2	5 F		
Piacon Pera	2045	21450	133	71.6	ñ	۲. <u>ق</u>	t. 8.51	8. L 8.	g <del>g</del>	र् <sub>ट</sub> <u>इ</u>	. * . 33	Ş	. 65 165	₹.£	
Ligs 60Pt-40Rh (60% Pt 40% Rh)	1800	16630	162	Ć.	-			<b>%</b> 1	<b>\$</b> ;	<b>%</b> (	<b>%</b> i	F	۰ م		
Prata	1238	10500	55	629	7.	<b>3</b> ë	88	365	25 25	£ 38	ř.	<u> </u>			
Rento	3453	21100	<u>*</u>	6.74	16.7	58,9	51.0	 	<u> 1                                   </u>	<b>3</b>	#.6 156	. <del>1</del> 25	47.8 17.1	51.9 88	
Rodic	2236	12450	570	0\$1	49.6	8 2 2	2,52	3.5%	* 7	1.5	äΞ	<del>e</del> s	9.3	32,8	
Stiene	3891	33.0	ï,	148	89.2	<b>26</b> 5;	¥ %	6,86	\$ . \$6.	15	31.15	, s	<u></u>		
Tantaio	3264	16600	9	£.	. 4.	\$. E	٠ 33	£.3	¥. ¥.	3 =		61.0 155	09 09 09 09 09 09 09 09 09 09 09 09 09 0	ž.	65.6 189
Тяфию	1953	<del>4</del> 500	525	9.15	9.32	30,5	2.84 2.84	0; ¥	19.4 19.4	19.7 633	20.7	27.0 620	24.5 686		
Tóne	202	1700	318	3. 3.	39.1	%. g	\$ <u></u>	-4. 124	% <del>%</del>	56.9 144	56.9 156	58.7 163			
Tengsténio	0998	19300	33	4.	£,88	95. Fe	<b>8</b> E	159	돌물	22.4	8. 4.	113	101	99	8 K
Uránio	404	19070	116	۶,	12.5	, a	15. 108	39.6	3 <del>2</del>	38.8 176	43.9	191			
Vanadio	2192	9100	\$B.	, 93	10.3	35.8 25k	11.5 12.00 13.00	31 J	ž F	2.美	86. 1.02	4 0 4 4 4 4	4. 6.4	Š. %	
בשנים	£69	7,40	386	118	<b>8</b>	<u>-</u> 5,	311. 78r	= 9	103 434						
<b>Zirecha</b> lo	3134	0.239	27g	, អ	7.7	30,	17 P	300	E H	## ##	설목	79.0 74.0	85 ¥	3,5	
Adaptada das referencias bibliográficas I	-														

ptade das referências bibliográficas I

	l
	1
ctálicos	
náo-n	
solidos	
alguns	
움	
ermofisica	
ropriedades t	
<u>م</u>	
¥ s	
Ž	

	<b>,</b>							PRO	RIEDADE	SAVARI	PROPRIEDADES A VARIAS TEMPERATURAS (%)	RATURAS	£		
			PROPRIEDADES A 300 K	DES A 300 K						t (W/m · K)	ž.ž.				
COMPOSIÇÃO	FUSÃO (K)	ر (1897ء)	(Mrg K)	(W/m K)	P) (8, 6)	8	â	8	9	- B	991	1200	9851	9002	93
Boro	2573	2500	1105	27.6	8,	<u>8</u>	82.7	18.7	11.3	8.1	2350	2.2 25.22			
Carbeto de silicio	3100	3160	\$7.8	<del>6</del>	230			١ş	190	1 25	60 5	88	89		
Carbono Amorfo	08 <u>5</u>	0561	1	1.60	1	9.0	1.18	8. SE I	2,19	£ 5	8	S 75.	3,48		
Diamante, isolame tipo Ila	ı	3500	\$	2300	10000	00 ¥	<u>3</u> 58	I	I	1	l	1	1		
Dióxido de nificio, cristalino (ousetro)	1880	28650													
k. I so erso c				10,4		۶,	16,4	9,1	5.0	Ţ.					
, offers one - '			745	7,		<b>8</b> 1	Ž l	885	. <u>6</u>	17.00					
Dióxido de silcio, policristatino (silica fundida)	1883	9 <b>222</b>	285	85.7	0.834	96.0	1	1.51	1,75	2.17	2.87	1195			
Deóxido de titácio, polistriataliza	733	4157	110	<b>8</b> 6	2.8			7,01	5.02 880	3,94	3,46	3,28			
Districto de sterio	ST2	9110	222	13	£.1			10.2 255	6,6 274	Ç. 88	3,68	3.12	2,73 315	72 22 23 24 24 24 24 24 24 24 24 24 24 24 24 24	
Essofre	365	2070	\$	9070	0.141	0,165	0.185 806								

2300 2750 262 0.81 2043 6.20 5.00 000 357 11.08 1974 1306 1306 21.5 2145 2.79 2.79 1498 8 PROPRIEDADES A VÁRIAS TEMPERATURAS (K) 33 2055 2085 1264 28 000 892 2.68 [406 [11.3 937 15.8 1116 1110 1111 1111 1690 1038 ĝ 26.4 992.4 13.9 946.4 946.4 956.4 968.3 96 8 4, 78 8.0 9.68 2,5 S 16.8 136 133 133 150 150 81 5.7 0.46 337 8 11.9 3 98 8 P) (4.E) Tabela A.3 Proprædades termofísicas de alguns sólidos não-metálicos" (cont.) (With K) PROPRIEDADES A 300 K 11.0 96.0 \$ 3.98 2,29 (JA. 1 K) \$ 5 10 10 10 765 765 1030 ŝ 1122 935 (kg/m³) 3970 3970 2600 8 22 300 PONTO DE FUSÃO (K) 590 1323 27.7 1623 Š 22.73 2173 2323 Procesam.
Corung 9606
Agantada das referencias bibliográficas 1.2.3 e 8 Epou com fibras de grafia (25% volumers)
volumers)
k. correste térmica à as fibras k. correste térmica 1 às fibras . Omdo de ataminio, policristalino COMPOSIÇÃO

Epó 11 com fibras de boro (30% volumares)

i. † ha fibras

c, , as fibras

c, Oxido de aluminio, safira Grafita, parolítica k n as camadas k \_ as camadas c, Nureto de silício Oxido de berílio

Tabela A.3	Propriedades	termofísicas	de	maleriais	comuns"

"Adaptada das referências babbugratica: E × 11

	PR	OPRIEDADES TÍPICAS A 3	90 K
	DENSIDADE,	CONDUTIVIDADE	CALOR
DESCRIÇÃO/COMPOSIÇÃO	(kg/m²)	TÉRMICA, k (W/m·K)	ESPECIFICO ( (J/kg - K)
Alvenaria			
Argamassa de cimento	1.860	0.72	780
Tijolo comuni	1.920	0,72	835
Tijolo de (achada	2.083	1,3	-
Tíjolo cerámico, oco		0,52	
1 célula, 10 cm de espessura	_	0,69	_
3 células, 30 cm de espessura Bloco de concreto, 3 furos redondos		V1007	
areis/brita, 20 cm de espessura	_	l,Ð	_
agregado de cinzas, 20 cm de espessura		0,67	_
Bloco de concreto, furos retangulares			
2 furos, 20 cm de espessura, 16 kg		1,1	
O mesmo, com os furos cheios	-	0,60	-
Materiais de emboço		0.77	
Emboço de cimento e areix	1.860	0,72 0,22	1.985
Emboço de gesso e arein	1.680 720	0,22	1.000
Emboço de gesso e vermiculta Paincis de revestimento, ou estruturais	140	0,23	_
Chapa de cimento-amianto	1.920	0,58	_
Painel de gesso ou de estuque	600	0,17	-
Compensado de madeira	545	0,12	1.215
Revestimento isolante, densidade regular	290	0,055	1.300
Painel isolante, acústico	290	0,058	1.340
Papelão, densidade regular	640	0,094	1.170
Papelão, densidade alta	1.010	0,15	1.380
Aglomerado de madeira, densidade baixa	590	0,078	1.300 1.300
Aglomerado de madeira, densidade alta	1.000	0,170	1.300
Madeira	720	0.16	1 255
Madeira de les Madeira mole (pinho)	510	0,12	1.380
Materiaix e sistemas isolantes			
Mantas			
Fibra de vidro com revestimento de papel	16	0,046	
• •	28	0,038	_
	40	0,035	
Fibra de vidro, revestida, para dutos	32	0,038	835
Tábuas e placas			
Vidro celular	145	0,058	1.000 795
Fibra de vidro, com cimento orgânico	105	0,036	190
Poliestireno, expandido	55	0.027	1.210
extrudado (R-12) pérolas moldadas	16	0.040	1.210
Chapa para telhados	265	0.049	****
Chapa de cavacos de madeira aglutinados	350	0,087	1.590
Chapa de cortiça	120	0,039	1.800
Enchimentos		•	
Cortico granulada	160	0,045	-
Silica de diatorniceas,	350	0,069	_
granulação grossa	400	0,091	-
Sffica de diatomáceas.	200	0,057	_
granulução fina	275	0,061	
Fibra de vidro, soprada ou derramada	16	9,943	835 836
Vermiculita em escumas	80	0,068	835 1.000
Marrial formation on progrado en loca	160	0,063	1.000
Material formado, ou espumado, in loco  Gránulos de lá minéral com cimento de amianio/inorgânico, aspergido	190	0,046	_
Mastique de cortiça e acetato de polivinila: aspergido ou aplicado a colher		0,100	
Urctana; mistera de duas partes; espuma rigida	70	0,026	1,045
Revestimentos refletores	• •		-+ · <del>-</del>
Folha de alumínio separando mantas de vidro, fofas; 10-12 camadas;	40	0,00016	_
evacuado; para aplicações criogénicas (150 K)			
Folha de alumínio e papet de vidro laminado; 75-150 camadas; evacuado,	120	0,000017	-
para aplicações criogênicas (150 K)		44	
Pó de sílica típico, evacuado	160	0,0017	-

Tabela A.3 Propriedades termofísicas de materiais comuns' (cont.

damento industrial

	TEMPERATURA	DENSIDADE			COND	CONDUTIVIDADE TERMICA TIPICA # /W. m. K1, A VARIAS TEMPERATURAS (K)	E TERM	DCA TIP	ICA K !	3	VARIA	S TEMP	RATUR	AS (K)		
DESCRIÇÂØKCOMPOSIÇÃO	DE OPERAÇÃO (K)	TIPICA (kg m :	300	ñ	(h;c	340	35.	0,62	系	ŝ	011	Ě	65	5.	ž	9.
Blocos, chapas e isolamentos de tubos Folha de aminato, faminada e ondutada 4 folhas	£	<u>\$</u>								9.078	0.082	0.098				
6 follows	420	255								0.07)	0.074	0.085				
8 folhas	25	8								0.0	0.0	2000	2			
Magnessa a 65%	8 8 8 8	185 200 200 200 200 200 200 200 200 200 20									200	0.055	8 8	2200	0 089	2
Silicato se catato Vidro cetudar	5. 00.	<del>2</del> <del>2</del>			0.046	0.048	0,051	0,052	0.055	0.058	0.067	0.069	0.079			
Sarca de diamonances	1.145	ž %												0.092	0.03	0.0
Policesisteno rigido	SE	. <i>5</i>	0.023	0.023	6200	0.023	0.023	0.025	0.026	0.027	920.0					
Enredado (R-12)	380	<b>3</b>	0.023	0.023	0,023	0,025	0.025	970'0	0.027	0.029						
Péroles exoblectes Espuites de borreche régide	8 <del>8</del>	<b>2</b> 2	0.026	0.029	0.00	0,033	0.035	0.036	0.030	0.032	0.033					
Cime are isolastic																
Com (tota mastral (de rocha, de escona ou de vidro) e aglusianção de argita Con cimento hidráulico de mera	1.255	430 360									0.071	0,079	0.088	0.105	0,123	
A CANTER BOOK		; ;								9	,					
Colubbae, pasta de seadona de de papel Perlis espasadida	11	<b>~</b> ~	0.036	0.039	0.04	0.043	990,0	0.049	0,051	0.05	0.0					
Vermicrativa expandica	į	<u>ਜ</u> ਣ			0.036	0.058	0,061	0.063	0.065	0.068	0.07					
Marias	č										910 0	9700	450	0.078		
Manta de Nora maneral	076 818	₹ \$ \$									0.035	0.0	0,038	0.088		
Manta de fibra minetal e vidro, fibra fina com cimetato organico	450	ន្ទះ				0,036	0.038	0.039	0.042	0.000 800 8	0.052	0.00% 0.00% 0.00%				
		4 C. 8				0.030 0.029 7.200	0.032 0.030 0.029	0.032	0,033 0,033 0,032	0.036	0.038	0.00 84.00 84.00				
Manta com libra de atumána e silica	1.530	: <b>4 2</b> 8												0.059	0,00 0,00 0,00 0,00 0,00 0,00 0,00 0,0	8129
ment of principal in the second of the	480	128						0.035	0.036	0.038	0.039	0.051	0.063	, (A)	900	Š
CHECKS OF SANCO	55	8	0.023	0.025	0.026	0.027	0.029	0.030	0,032	0.033	0.035	0.051	6,00			
Feitro lamanado sem	026	120										0.051	0.065	0,087		

Tabela A.3 Propriedades termofísicas de materiais comuns"(cont.)

Outros materiais

ESCRICA OSCOMBOSICÃO	TEMPERATURA (K)	DENSIDADE. p (kg/m²)	CONDUTIVIDADE TÉRMICA, k (W/m - K)	CALOR ESPECIFICO (I/Lg K)
ESCRIÇA O/COMPOSIÇÃO	300	80	0,06	1.300
lgodão	ЭŅ	en,	4,00	
limentos Banana (com teor de água de 75,7%)	300	980	0,481	3.350
Maçá vermelha (com teor de água de 75%)	300	840	0,513	3.600
	300	720	0,223	_
Massa de bolo	300	280	0,121	_
Bolo cozido	198		1,60	-
Carne branca de frango	233		1.49	
(com teor de água de 74,4%)	253		1,35	
	263		1,20	
	273		0,476	
	283		0,480	
	293		0.489	
	300	1.350	0.26	1.260
Antracito	300	1.515	0,27	800
Arcia	300	1.460	1,3	880
Argila	300	2.115	0,062	920
Asfalto	300	1.300	1,4	1.465
Jaquelite	34Rf	1.500	***	
Borracha galvanizada	2404	1.100	0,13	2.010
Mole	300 300	1.190	0,16	
Dura	300 300	2.300	0,10 1,4	680
Concreto (com brita)		2.300 99H	0,159	
Couro (solado)	300	920	1,88	2.040
Gelo	273	7211	2,03	945
	253	_	4,00	
Madeira, contra o grao	300	415	0,011	20ء کے
Abeto	2470		0,055	
Balsa	300	140	0,17	2.385
Carvalho	300	545 465	0.097	2.765
Cipreste	300	40.3 640	0,15	2.805
Pinho amarclo	300		0,13	2.103
Pinho branco	300	435	0,13	
Madeira, radial			0,19	2.385
Carvatho	300	545	0,14	2.720
Abeto	300	420	0.049	4.720
Neve	273	110		***
		500	0,190	1.340
Papel	300	930	0,180	2.890
Parafina	300	900	0,240	2.070
Rocha			2.05	745
Arenito (Berea)	300	2.150	2,90	810
Calcário (Salem)	300	2.320	2,15	
Granito (Barre)	300	2.630	2,79	775 830
Mármore (Halston)	300	2.680	2,80	3.105
Quartzito (Sioux)	300	2.640	5,38	
Solo	300	2.050	0,52	1.840
Tecido humano				
Pele	300		0,37	
Camada adiposa	300		0,2	_
Músculo	300	. –	0.41	_
Feffon	300	2.200	0,35	~
	44)0	<del></del>	0,45	_
Tijolo refratário				
Carborando	872	_	18,5	
	1.672		11.0	
Tijolo de cromita	473	3.010	2.3	835
especial are accommo	R23		2,5	
	1.173		2,0	
Tijolo de magnesita	478		3,8	1.130
House or malinearia	922		2,5	
	1.478		1,9	
Tijolo refratório comum	478	2.645	1,0	960
tiling tetraining commut	922		1,5	
	1.478		1,6	
Titolo sefentário que moto a 1 600 K	773	2.050	1,0	960
Tijolo refratário que imado a 1.600 K	1.073		ij	
	1.373		i,i	
Tileto escribio accimado y 1 775 M	773	2.325	1,3	960
Tijolo refratário queimado a 1.725 K	1.073	n A	1,4	
	1.373		1,4	
الأمالة الماسية والمساد	1.373 478	_	0,25	_
Tijolo de sílica de diatomáceas, que mado			0,30	
	1 145 -	_	0,50	
Vidro	200	2.500	1,4	750
Folha (vidro de soda)	300	2.500 2.225		833 833
	3(X)	7 775	1,4	6.3.3

Pyren
"Adaptada das referências hiblingráficas 1, 8-13

*d	*01 <sup>m</sup>	(X · se/A)	(s/,tu)	(6년 - 년 (대기 - N)	s termolfsicas ا م (المالالة الا)	्ष ('m/gs)	J. J.
						ipaunimos) ositi	
49°0 59°0	617 E87	091	891	001	∠īø'l	2851,0	007
069.0	698	961 541	90£	991 261	874,1	6121.0	00
£19,0	096	727	685	818	822,1 266,1	8441,0 0,1389	00: 00:
968,9	1230	981	198	\$\$6	2,726	\$211.0	000
\$9L'0	€9'6	02,21	YE L	(1) (		с Сыгьово (СО,	
94.0	0,11	\$\$,81 64,81	8£,7 04,8	()†·1	0£8,0	2204,1	08
₩\$4.0	8,21	18 02	6£,6	951 691	128,0	0.577.1	00
0 1 ve	Z*#1	07, 91	9'01	591 951	278,0 198,0	8195 I 6099 I	30
41.0	8,21	2,12	LH	€41	806,0	8195,1 EPT6,1	09°
£7,0	9'11	22,75	0,51				
£L 0	S'61	24.3	£,41	061 181	776'0 976'0	£\$7€′1 196€′1	0K
77.0	8,45	E. 82	8,71	017	186'0	Z871,1	99°
27.0	1,6€	5,55	8,15	152	ZO. 1	P650'1	00
Z£ 0	7'9€	9,9£	1'97	157	1.05	\$796 0	053
11.0	1.54	£'0≯	9'0K	OLZ	80, f	9288'0	
14 0	6,94	5,44	32'4	BRZ	01'1	EF18,0	65 604
17,0	£,88 7.18	1'89	€.04	305	£1'1	1981.0	00/
11 0	ζ' ( L L' €9	1'55 L'15	2,24 0.12	126	51'1	7207.0	054
	w* a .	z¹ce	0,12	466	71.1	Þ199'0	004
						(:	H) oil).
89'0	6,82	0,ET	8'61	€ 96	£41,2	1784,0	001
19 0 19 0	8,8[	6,18	p°97	L01	£61'S	0901 0	071
 19'0	2.02	£'06	6.66	811	£61'5	1800'0	011
L9'0	£,87	<i>7.1</i> 01 2.66	CIS	6E1 6ZI	£61'S	BOLL U	091
			er 1 e		£61'\$	8047.0	081
19'0	<i>L</i> 01	1'511		051	5,193		002
-		1,621 1,621	נינג בינג	091	£61.2	9177 0	077
B9,0	141	<u>τει</u>	0'96	0/1 0/1	161'S		240
_		SP I	are.	061 081	£61'\$ £61'\$	\$781.0	092
89,0	081					-	082
	_	021 751	771	122 661	£61'S	\$791'0	(X)E
19.0	567	£81	661	543 127	£61'\$ £61'\$	- 0.110	(156
	-	F07		£97	£61'\$	6171'0	420
99'0	PEP	220	067	283	£61`\$	F\$ L60 0	200
_	-		_	_			
	***	727	_	926	E61.2		055
_	_	797		ŽEE 076	2'163 541'6	_	059
69'0	894	812	205	05€	£61'\$	40690,0	004 059
		167	****	19€	£61 S		051
	***	304	-	785	161,8	•	
_	-	330	_	rir	\$ 163		606 100
<b>ξ9'0</b>	60+1	PSE	<b>₹1</b> 6	911	£61 S	97840,0	(KH)
						(.H) on	nagorbit
07,0	24'9	0.78	Y Li	1			angle town
69'0	9 67	101	L #E	0'99 1'71	09 ZE 17 11	95191'0 952520	1931
07,0	6'6L	161	7.95	1'89	<b>\$5</b> £1	\$1171'0	00Z (15 t
οτ.'0	\$11	LSI	9,18	9,8T	90'11	£6960°0	520
04,0	881	CBI	111	9.48	14'31	87080,0	00€
)L'0	50≉	70 <b>7</b>	€≯1	8,89	£9'91	<b>42690,0</b>	05€
69'0	258	922	6£ T	Z,801	80 01	65090'0	(X)¢
88,0 02.0	918	197	218	<i>t'l</i> 11	05 11	98550,0	420
69'0 89'0	875	997	197	1,64.4	14.52	84840,0	999
	SPP	<b>587</b>	SUF	£'\$£1	£5'#1	70440,0	055
78,0	615	\$0£	355	145'4	55.41	Ortho O	009
78,0 78,0	979 638	245	950	8,721	19 91	£94£0,0	007
into	698	81E	769 695	172.4	12.40	0.0000,0	0688
49'0	0£01	216		2,381	14.83	P69ZU'U	006

14	*0( a)	(M : m/W)	(9/,141) (0)	(네 사마,)	(k)/kg · K)	( सम्प्रेश)	(k) i
70 .		- · · •				(O <sub>t</sub> H <sub>10</sub>	gaV) sug
90,1	107	9,45	89'12	1'27	0.00,5	£882,0	049
10 T	8,0E	1,85 0 05	24,25	6,461	\$10°Z	2456,0	LINH
866'0	8.80	33'6 33'6	11,11. 86,88	135'4 135'8	080 I	Z(169'()	OSI
666,0	t' £t	6,1€	#0°LP	₽'8H1	666' I \$86' I	2014, () 2014, ()	053
166'0	0,12	2,54					059
966 0	8,33	p'9p	00,00 84,60	£'\$77 \$00's	950°Z 970°Z	289E.0	009
00,1	1 11	2,08	97 LL	9 777	\$90° Z	085E,0 0.3380	964
001	P,88	6'45	PR 189	r,085	5 116	1692.0	056
10,1	001	2.62	£'101	9,875	251.5	6672,0	004
1,02	£11	7,69	1,211	566'6	7'189	6457'0	058
						Сни	) ខាមបុរធ
788,0 078,0	9 61 9 91	£ ££	[     	€ 101	955°Z	F689'()	tkn
249'0	1,22	€ 6Z 7. LZ	6 91	601	0/1.1 0/1.2	8549,0	071
248,0	6.62	9'1( C'47	1 17 7 61	\$71 5°911	165.5	9209,0	(191
698,0	6.71	0.45	ζ νζ	1£1 •71	7,224 2,254	9172,0 6142,0	UM: (99)
£88.0	2,15	0,78					OWE
££6,0	9,35	p'0p	7 67 6 97	SÞ1 BET	787.5 726,5	9£15'0	90\$
928.0	9 6€	e,ca	£, 2£	5,521	72E,5	8M84,0 6664	024
728'0	9 EP	E, 44.	7.25	651	7,393	(999)	097 097
0,822	P' LV	Z'6¥	0,6€	5,881	2,430	£724,0	(181)
618,6	6'15	\$7.5	2, 24	€£1	194,1	1011,0	
758,0	2,88	2,42	T. SÞ	091	90517	7166,0	979 270
▶28.0 FE8.0	4 65	2,72	1'67	⊊'98Ĭ	075'7	264E,0	240
758.0	* £9	9.09	0,52	261	LLST	807£.0	1196
£18'0	1'69	8,69	5,88	5'661	£19°Z	EESE,0	UNS
						opishi	кошъэ э
887,0 827.0	\$6'Z	PE`6	00,5	LIL	2£0′ l	₹985.€	(31)1
881,0 481,0	48, č	8, £1	924,4	1, 601	210,1	7,3364	051
0,720	6,01 9,21	1,81 £,52	065°L	\$'Z£1	700,1	8597,1	007
LOL'0	32,5	€'97	<del>68</del> ,21	9,981 8,481	200'1	1508,1	250
007,0	6,95	0,0€			700, I	P191'1	906
069'0	€,8€	8, 55	16,02 16,02	1'0£Z 2'80Z	600) I	0266,0 117# n	11975
989'0	2, 70	e, re	35,39	1,057	170'1 910'1	1178.0 0417,0	95¢ 90¢
M80,0	1,32	L*01	OT, BE	1 012	000,1	1969'0	00\$
E88,0	£*99	6'67	T2, 24	P 887	010,1	6ZE9'0	055
589'0	6'9L	6,34	55'69	H, ZOE	150'1	MM2.0	
069'0	€, 78	L'6¥	12'09	3,22,5	£90'1	9555,0	029 009
569'0 569'0	0,86	4,52	61,88	8 REC	\$10,1	2794.0	700
207,0 207,0	601	6.42	LE"9L	9,455	780. f	6494,0	027
	071	£'45	£6'#8	8,49£	660'1	<b>#\$£#</b> '0	908
914'0	iei	9,42	08' E6	E, ME	011,1	7904,0	058
EZ.L'O DZ.L'O	551 571	0,53	6,501	1.80€	1711	8986.0	OFM
77.10	891 551	L, 68 L, 68	8 141 Z'č11	7 7 67 5 117	18171	999("()	850
0.72	\$61	5'1L	8'171 6'171	0'6PP 7'77	1'126 1'141	991£'0 784£'0	(90)
327,0	754						0011
0,715	#CZ	E. 87 Sk	1,281 1,281	0,574 0,394	1712	2005,0	0021
07,0	EDE	16	513	OES	1,207 1,207	67.54.0 8845.0	(H)X (
89'0	320	001	240	722	00.2,1	ZZ£Z`()	1 21X) 1 4KM
1819'0	06€	901	897	284	8ÞZ,1	TT12,0	0001
H9'0	<b>SE</b> *	£11	598	119	£97°1	6905.0	(M)L1
89'0	784	150	425	169	997.1	6,1935	(MK)
.19'0 .19'0	68S	151 821	₹9€	199	∠0€`1	<b>EEKI,</b> ሁ	10063
			96€	689	<b>TEE,1</b>	1941'0	CHOOZ

_
`
~
u.

T		ε, (k3/kg · K)	μ ⋅ 10² (Ν ω/π²)	ν 10* (m <sup>1</sup> /s)	# 16 <sup>5</sup> (₩/m K)	o 10° (m²/s)	Pr
(K)	(kg/m')						1
lidrugena	(H <sub>2</sub> ) (continua		713.6	966	48N	1460	0,662
100	0,02204	15,17	213,0	1120	528	1700	0.659
200	0.02020	15,37	226,2	1279	568	1955	0,655
30x)	0,01865	15,59	238,5	1447	610	2230	0,650
4(X)	0.01732	15,81	250,7	1626	655	2530	0.643
500	0,01616	16,02	262,7			2815	0.639
6(N)	0,0152	16,28	273,7	1801	697	2×13	0,637
7(N)	0.0143	16,58	284,9	[993	742		0.639
800	0.0135	16,96	296.1	Z193	786	3435 3730	0.643
900	0.0128	17.49	307,2	2400	835	3975	0.661
HXXO	0,0121	18,25	318,2	2630	R78	3913	14,13.11
	•						
<b>М</b> олохиф	de carbono (C			7,52	17.0	9.63	0.761
200	i Gran	1,045	127	8,93	19,0	11.9	0,753
220	1,5341	1,044	137	10.5	20,6	14.1	0.744
240	1,4055	1,043	147		22,1	16,3	0.741
260	1.2967	1,043	157	12,1	23.6	18.81	0,733
280	1,2038	1,042	166	13,8			0,730
77.0	1,1233	1.043	175	15,6	25,0	21,3	(),730
300	1,1233	1.043	184	17,5	26,3	23.9	6,725
320 340	9,9909	1,044	193	19,5	27,8	26.9	0,725
360	0.9357	1,045	202	21,6	29,1	29,8	0,729
380	0,8864	1,047	210	23,7	30,5	32,9	
.760			319	25,9	31,8	36.0	0,719
400	0.8421	1,049	218 237	31,7	35.0	44.3	0.714
450	0,7483	1,055	254	37. <b>7</b>	38.1	53,1	0,710
500	0.67352	1.065	271	44.3	41.1	62,4	0,710
550	0,61226	1,076	286	51.0	44 0	72,1	0,707
(4)H)	0,56126	880, 1	2190		-7.0	82.4	0.705
650	0.51806	1,101	301	58,1	47.0	93.3	0.702
7(0)	0.48102	1,114	315	65,5	50,0	104	0.702
750	0.44899	1.127	329	73,3	52,8 55,5	116	0.705
HEMP	0.42045	1,140	343	81.5	33,3	,10	•
Narogés	no (N.)						
-	3,4388	1.070	68.8	2,00	9,58	2,60	0.768 0.759
100	2,2594	1.050	100,6	4,45	13,9	5.86	0.736
150	1.68N3	1.043	129.2	7,65	18.3	10.4	0,730
200	1.3488	1.042	154.9	11.48	22,2	15.8	0.716
250 300	1,1233	1,041	178,2	15,86	25,9	22.1	11,710
,WAF			200,0	20,78	29,3	29,2	0.711
350	0,9625	1,042		26,16	32,7	37.1	41,704
400	0,8425	1,045	220.4	32.01	35,8	45,6	0,703
450	0,7485	1,050	239.6	38,24	38.9	54,7	0,760
500	0,6739	1,056	257,7 274,7	44.86	41,7	63,9	0,702
550	17,6124	1,065		•	•	73.9	0.701
600	0.5616	1.075	290,8	51,79	44,6 44,4	94.4	0.706
700	0,4812	1,098	321,0	66,71	49.9 54.8	116	0,715
K00	0,4211	1,22	349,1	62,90	59.7	139	0.721
9(8)	0.3743	1,146	375,3	100,3	64,7	165	0.721
1000	0,3368	1,167	399,9	118,7			
	0.3062	1,187	423,2	138,2	70,0	193	0,710
1100	0,3002	1,204	445.3	158,6	75,8	224	0,70
1200 1300	0,2591	1,219	466.2	179,9	6,18	256	11,70
	110 (O <sub>2</sub> )						
		0,962	76,4	1,94	9,25	2,44	0,79
100	3,945	0,962	114,8	4,44	13,8	5,80	0.76
150	2,585	0,921	147.5	7,64	18,3	10,4	0,73
200	1,930	6,915	178,6	11,58	22,6	16,0	0.72
25 <del>0</del> 300	1,542 1,284	0,920	207,2	16,14	26,8	22,7	0,71

7	(kg/m¹)	les termofísicas (kJ/kg K)	μ 16 <sup>7</sup> (N s/m²)	ν 10° (m <sup>†</sup> /s)	k 10° (W/m K)	a 10° (m³/s)	Pr
(K)	(apm)	(40.00	· · · · · · · · · · · · · · · · · · ·				
Ozieżnio	(O <sub>1</sub> ) (continua)	áo)					0.777
-	-	0.929	233,5	21,23	29.6	29,0	0,733
350	1,100		258.2	26.84	33,0	36.4	0,737
400	0.9620	0,942		32,90	36.3	44,4	0,741
450	0,8554	0,956	281,4	39,40	41,2	55,1	0,716
500	0.7698	0.972	303,3		44,1	63.8	0,726
550	0.6998	0,988	324,0	46,30	44,1		
350	•		343,7	53.59	47,3	73,5	0,729
600	0.6414	1,003		69.26	52,B	93,1	0,744
700	0.5498	1.031	380,8	86.32	58,9	116	0,743
8(X)	0.4810	1,054	415.2		64.9	141	0,740
900	0,4275	1.074	447,2	104,6	71,0	169	0,733
1(83)	0.3848	1,090	477.0	124,0	71,0		
(HA)			ene 6	144.5	75.8	196	0,730
1 34145	0,3498	1,103	505.5	166.1	81.9	229	0,725
1.2UKF	0.3206	1,115	532.5		87,1	262	0,72
1340	0.2960	1,125	588,4	188,6	0,1		

Tabela A.5 Propriedades termofísicas de fluidos saturados

Liquidos	saturados				k 10 <sup>1</sup>	u · 10¹		Ø · 10³
Τ (K)	(kg/m')	(kj/kg K)	10 <sup>2</sup> بر (Ni ب/m <sup>2</sup> )	ν 10° (m¹/s)	(W/m K)	(m <sup>1</sup> /s)	Pr	(K-')
	col (C.H.(OH),)						617	0,65
-			6,51	57,6	242	0,933	400	0,65
273	1 130.8	2,294	4,20	37.3	244	0,933		0,65
ZNU	1.125.B	2.323	2,47	22.1	248	0,936	236	
290	8,811.1	2,368			252	0,939	151	0,65
યાદ્રા	1 [14,4	2,415	1,57	14,1	255	0,939	103	0.65
	1,103,7	2,460	1.07	9,65		0,940	73.5	0,65
310	1 096.2	2.505	0.757	6.91	258	0,936	55.0	0,65
320	1 089,5	2,549	0,561	5.15	260	0,929	42,8	0,65
330	1 083,8	2,592	0.431	3,98	261	0,727		
340	1 063.6			3,17	261	0.917	34,6	0.65
350	1.079.0	2,637	0.342	2.59	261	0.906	28,6	0,65
360	1 074 0	2,682	0,278		262	0.900	23,7	8,65
370	1.066.7	2,728	0,228	2.14	263	0.906	22,4	0,65
373	1,058.5	2,742	0,215	2,03	203	0,700		
Freon (f	efrigerante 12) (f	CCUE)				0,505	5,9	1,85
		0.8816	0,0457	0.299	68		5.0	1,90
2.40	1.528,4	0,8923	0.0385	0,257	69	0,516	4,6	2,00
241	1 498.0	0,9037	0.0354	0,241	70	0,527	4,0	21,00
250	1.469.5	0,9163	0.0322	0,224	73	0.554	3,9	2,15
260	1 439,0		0.0304	0,216	73	0,558	3,7	2,35
270	1 407.2	0,9301	0,0283	0.206	73	0.562		2,55
280	1.374,4	0,9450	0,0265	0,198	73	0.567	3,5	2,33
290	1 340,5	0,9689	0,0403		-12	0.564	3,5	2,75
•	1.305,8	0,9781	0.0254	0,195	72	0.546	3,4	3,05
300	1,268,9	0.9963	0.0244	0,192	69	0,545	3,5	3.50
334*	1.228,6	1,0155	0,0233	0,190	68	0,545	-1-	
320		1.0155	•					
Glicerin	I,(HO),H,Э) so			8.310	282	0,977	85,000	0.4
273	1 276,0	2.261	1.060	4.200	284	0,972	43.200	8,41
2143	1 271.9	2.298	534	1.460	286	0.955	15.300	0,46
290	1 265.8	2.367	185	634	286	0.935	ó.780	0,41
300	1 259.9	2.427	79,9	281	286	0.916	3.060	0.4
310	1.253.9	2.490	35,2	281 168	287	0.897	1.870	0.5
120	1.247.2	2.564	21,0	100		<del></del>		

Tabeta A.5 Propriedades termofisicas de fluidos saturados (cont.) Liquidos saturados

T (K)	(kg/m*)	(kJ/kg K)	10 <sup>1</sup> مر (۱۳۰۰ (۱۳۰۰ (۱۳۰۰)	ν 1(β <sup>5</sup>	.k.∃0 <sup>j</sup> (W/m.K)	a 191 (m²/s)	Pr	10 (AK)
Mercorio	(Hg)				- <del></del>	· · · · · · · · · · · · · · · · · · ·	· · · · · · · · · · · · · · · · · · ·	
273	13 595	0,1404	0,1688	0,1240	N 180	42,85	0,0290	0,18
3(8)	13.529	0.1393	0.1523	0.1125	8 540	45.30		
350	13 407	0,1377	0,1309	P_0976	9 180	49.75	0,0248	0,18
4EX13	- 13 2H7	0.1365	0,1171	0.0882	9 800	54,05	0,0196	0.18
450	13 167	0.1357	0,1075	0,0016	H) 4(H)	58,10	0,01 <del>6</del> 3 0,0140	0,18
5(X)	13.048	0,1353	0.1007	0.0771	10 950	61,90	0,0125	0,18
550	12,929	0.1352	0.0953	0,0737	11 450	65,55	0.0112	0,18
МЯТ	12.809	0.1355	0,0911	0,0711	11 950	68,80	v.#103	0,18 0,18
Oleo de n	nadnius (Att8cu	1}						
273	ж99, I	1.796	385	4 280	147	0,910	47.(XX)	0,70
280	895.1	1,827	217	2.430	144	0.880	27.500	0,70
241	890,0	1,868	99.9	t 120	145	0.872	12 900	0.70
36 M 3	1,488	1,400	48,6	550	145	0,859	6 400	0,70
310	H77,4	1,951	25,3	28K	145	0,847	3.400	0,70
330	H71.H	1,991	14,1	161	143	0.823	1 965	0,70
3 3d I	8,368	2,035	8,36	46.0	141	0,800	1 205	0,70
340	850,0	2,076	5.31	6L 7	139	0,779	793	0,70
15()	853,9	2,118	3,56	4) ?	138	0,763	546	0,70
160	847.8	2.161	2,52	29.7	138	0,753	395	0,70
37()	841,8	2,206	38,1	22.0	137	0,738	300	0.70
380	836,0	2,250	1,41	16,9	136	0.723	233	9.70
190	830,6	2.294	1.10	13,3	135	0.709	187	0.70
4(X)	825,1	2,317	0,874	10,6	134	0,695	152	0.70
110	818,9	2,381	0,698	B.52	133	0,682	125	0.70
120	812.1	2,427	0.564	6.48	133	0,675	103	0,70
(34) ·	806.5	2,471	0,470	5,83	132	0,662	BB	0,70
l.iquido-1	apor, saturad	os, Luim						
		<i>I</i>	h <sub>n</sub> (kJ/kg)	$\rho_{\epsilon}$		ρ.	a 10°	
4 UDO		(K)	(kJ/kg)	(kg/m )	9	kg/m )	(N/m)	
Etanol		351	<b>146</b>	757		1,44	17.7	
Etilenogh	col	470	812	1 111			32.7	
Glicerina		56,3	474	1 260:		_	63,0	
Mercuno		630	301	12 740		3,90	417	
Refrigera	nie R-12	243	165	1 488		6,32	15,8	
Refrigera	0 -1	321	147	1.511	10 P	7,38	15,9	and the second

"Adaptada das referências bibliográficas 15 e 16 "Adaptada das referências bibliográficas 8, 17 e 18 "Os valores correspondem à temperatura de 300 K

TEMPERATIRA	PRESSÃO	ESPE	ESPECÍFICO (m. kg)	CALOR DE VAPORIZAÇÃO	ESPECIFICO (\$19kg K)		VISCOSIDADE (N · s/m²)	CONDU. TER	CONDUTIVIDADE TÉRMICA (Wm : K)	NUMERO DE		TENSÃO	COEFICIENTE
T(K)	P (bear)	. 10	,	(5)/(8)	, ,	₃	10	ŝ	4	4	ı	4. 10°	B. 10
273,15	0,00611	8	206.3	J.m.	ľ	1			£, 10		٤	(Fix)	(K.)
1	1,03697		-	15		2		¥	18.2	2 30	0.815	75.5	50 BY-
Cer	TODOCA) O				_			574	18.7	66 61	0 817	¥	3.5
707	10000			3		_		583	4 01	1 2	9	10	136.7
3		į		473	_			5	0.01	07.01	9	9	\$. \$.
₹.	E CLYE	Ž	B	2461	4,184 1,854	1080	9	305	200	0	500	η. *	<u>.</u>
ð	LIS20.0		30 15	3440				940	6.61	ę.	- 184 - 1	7.5	174,0
ş	0.03531	8			4.181	.868 959	_	38	19.5	6.62	0 849	. 4	7.7
\$	0.04712	Ě	7	3,000		-		613	19.6	2	728.0		, - î
2	0.000	8	8	77.7			_	079		25	986		130.5
211	C-180-0	Ē	) <u>C</u>	18.	_		9 6	628	2	3 5	9 5	, ç	0.026
2			i L	7	4.179 1.888	Ī		2	,	1 2	0,0	9.5	£ .
23	6,1053	Ē	13.88 13.88		ં			}	. 72	2	0.000	3	400.4
	0.1351	1	981	77.1				3	21.0		200	3	434.7
2	0.1719	1,016	83	2366	700	228		Š	21.3	3.42	060	5/3	471.7
386	0.2167	8107	8	350	20,4		10,29	650	21.7	5	908	<b>3</b>	Ş
3	0,270	8	Z				_	959	22.0	5	900		2 36 3
1		Ì			4,168	8	_	<b>3</b> 8	22.3	7	200	2	3
3		į		<b>6</b>	4.191 1.941		_	979	Ş	;		;	2
ጟ	18	Ė	)   		-			8 9	9,0	6.4	556.0	Z.	4.05
333				8	7			8	3	67.7	Z .	63.2	624.2
<b>9</b>	5			<b>5</b>				1/0	23.3	7.14	0.951	6.3	652.3
39	203	3	7777		4.209	9	\$ . :	6/6	Ľ.	3	0,960	61.4	6,169
Ş	0700	3	1987	7360				677	24.:	1,91	\$6.0 0	26 √.	707.1
) (	10133	3	<b>E</b>	ì	4.214 2,017			92.9	24.5	8	92.0	ş	į
20.00	- 1.00 L	i	Ē	ì	_			689		6	0,0	7 :	
2	3000	1	į		ૻ			3	9,	9	\$	7. 24	<b>F</b>
<b>3</b>		į		ŝ	4.226 2.057	5	222	8	24.9	5	0.987	58.6	19/
20				3				8	25.4	1.61	8	8,72	788
									9				

CALOR DE   ESPECIFICO   VISCOSIDA DE			ν	VOLUME	-	C.A.3 OR	36			CONDUCTIVIDADE	VIDADE					
1,774   1,055   0,986   2212   4,229   2,108   277   12,69   688   292   1,47   1,015   55.6   688   232   1,47   1,015   55.6   688   232   1,47   1,015   55.6   688   232   1,47   1,015   55.6   688   232   1,47   1,015   55.6   688   232   1,47   1,015   55.6   688   232   1,47   1,015   55.6   688   232   1,47   1,015   55.6   688   232   1,47   1,015   55.6   688   232   1,47   1,015   55.6   688   232   1,44   1,015   55.6   688   232   1,44   1,015   55.6   688   232   1,41   1,015   55.6   688   232   1,41   1,42   4,42   2.9   1,44			ESPEC (m	IPICO Ite	CALOR DE VAPORIZAÇÃO	ESPECI (L)/kg		VISCOSE V. V.	IDADE (mi)	TERM W.m.	Ž,	NEW JY		TENSAO SUPERFICIAL	COEFICIENTE DE EXPANSÃO	
1,774 1,057 0,996 2221 4,259 2,104 2,7 12,69 686 26,3 1,47 1,013 55,6 84 1,75 1,013	TEMPERATURA T (K)	Pibari	€		1 (L) M. (L)	ن		큠	K, 10°	131 - 34	k, 10'	à.	å.	E Z	.8. ¥. ∓.	TEMPERATURA T (K)
1,002   1,007   1,073   2,183   4,256   1,213   1,015   1,01	Œ.	Z.	¥50	986	2212	4.239	2,104	237	12.69	9 <b>8</b>	26.3	GF.1	1.013	55.6	ã	360
1,002   1,077   0,553   2,153   4,278   1,278   1,054   1,054   1,154   1,054   1,154   1,054   1,155   1,15	400	2,455	8	0.73	2183	4.256	2.158	717	13.05	% %	77.2	Ä	1.033	53.6	968	00#
4,370         1,688         0,445         2122         4,302         2,394         115         1075         49,4         100           7,333         1,108         0,433         2,569         173         14,44         685         30,4         100         47.2         100           7,333         1,110         0,258         2024         4,46         2,56         152         14,80         687         31,1         10,99         111         42.9         10,99         11,41         0,99         11,1         42.9         10,99         11,41         10,99         11,1	017	3,302	1.07	6.553	2153	4.278	111	200	13.42	889	28.2	2	30,1	51.5	951	Q[ <b>+</b>
5.699         1.099         0.331         2369         1.331         2.369         173         4.14         685         30.4         1.09         1.12         4.51         1.25         1.13         0.16         1.12         4.31         2.369         1.43         2.46         1.25         1.43         6.67         1.14         0.19         1.11         4.01         4.25           1.179         1.113         0.166         1.951         4.44         2.66         1.54         667         34.6         0.99         1.11         40.7           1.179         1.150         0.176         1.991         4.44         2.66         1.54         667         34.6         0.99         1.11         40.7           1.179         1.170         0.176         1.999         4.44         2.66         1.27         1.66         3.7         1.06         1.31         3.0         1.07         1.00         3.0         3.1         4.0         3.0         <	92 730	1,370	885	0.425	2123	4.302	1677	185	13.79	688	8.6.	1.16	1.075	46.4	1010	420
7.333         1,110         0.261         2059         4.36         2.46         162         14,50         682         31,7         1,04         11.2         45.1           9.319         1,113         0.208         206         4,44         2.66         15.9         14.8         677         33,1         0.99         11.4         42.9           11,71         1,137         0.136         1951         4,44         2.66         15.9         667         38,1         0.99         11.4         42.9           14,55         1,150         0.150         1972         2.94         15.8         667         38,1         0.89         1.20         38,5           21,83         1,150         0.076         1825         4,46         2.66         38,1         0.89         1.23         98,2           21,83         1,150         0.076         1825         4,46         2.79         1.8         653         98,1         1.3         98,2         1.20         98,2         1.20         98,2         1.20         98,2         1.20         98,2         1.20         98,2         1.20         98,2         1.20         98,2         1.20         98,2         1.20         98,2	P.	× 53	<b>E</b>	0.331	2091	1,331	2,369	173	7	685	30.4	86	1.10	73		436
9.349         1.123         0.208         2024         4.48         2.56         152         14.85         6.73         33.1         0.99         11.1         42.9         14.4         2.56         15.2         14.85         15.1         6.73         34.6         0.99         11.1         4.44         2.68         15.2         14.85         0.99         11.1         4.44         2.68         15.21         6.75         36.2         11.7         40.7         40.7         4.44         2.68         15.89         660         38.1         0.99         11.7         40.7         4.44         2.68         15.89         660         38.1         0.89         11.7         4.44         2.68         15.99         661         38.1         0.99         11.7         40.7         4.44         2.69         15.59         660         38.1         0.99         11.7         40.7         40.7         41.8         14.9         0.89         11.1         14.9         14.8         14.9         14.8         17.9         14.8         660         38.1         18.9         18.0         96.0         18.1         18.2         18.2         18.2         18.2         18.2         18.2         18.2         18.2	7	7,333	0177	0.261	2059	×9	3.46	167	34.50	<u>S</u>	31.7	8	111	45.1		<b>3</b>
11.77   1.137   0.167   1989   4.44   2.08   145   15.19   673   34.6   0.95   1.17   40.7   1.18   1.18   0.167   1.18   1.28   1.28   1.28   1.58   6.57   1.58   0.85   1.17   0.18   1.28   1.18   0.89   1.29	957	9,319	1	0.208	2024	8 <del>4</del> ,48	2.56	152	14,85	878	33.1	8	=	4.54		650
1,525   1,152   0,136   1951   4,48   2,79   136   15,54   6667   36,3   0,92   1,20   38,5   1,159   1,150   0,0766   1872   4,46   3,27   1,184   0,672   1,20   3,10   1,24   0,67   1,23   0,0766   1,23   1,184   0,0766   1,23   1,184   1,170   1,174	99	11.71	1,137	0.167	6867	4	7.68	143	15.19	673	9. 3.	6.95	1.17	-00		999
17.90   1.167   0.111   1912   4.53   2.94   129   15.88   660   38.1   0.89   1.23   36.2     21.83   1.184   0.0972   1870   4.59   3.10   124   16.23   651   44.7   0.86   1.23   31.6     31.66   1.222   0.0651   1779   4.74   3.77   113   16.99   642   4.23   0.86   1.23   31.6     31.66   1.222   0.0651   1779   4.74   3.77   113   16.99   642   4.23   0.86   1.23   31.6     44.78   1.284   0.0952   1730   4.84   3.70   106   17.33   621   44.7   0.85   1.33   26.9     52.38   1.284   0.0525   1730   4.84   3.70   106   17.33   621   44.7   0.86   1.33   24.5     52.38   1.284   0.0525   1.795   4.74   3.77   101   18.6   580   0.86   1.33   24.5     52.38   1.284   0.0525   1.495   5.24   4.64   97   18.6   580   0.87   1.47   19.7     64.19   1.322   0.0228   1.499   5.43   5.69   5.43   5.63   0.87   1.47   19.7     62.16   1.322   0.0132   1.433   0.0193   1.35   0.89   4.19   1.3   5.69   6.40   8.8   20.4   2.2   1.42   1.65   1.43     62.16   1.322   0.0153   1.24   6.41   7.35   8.4   2.1   4.4   1.10   1.4   1.2   3.46   4.5     62.16   1.322   0.0153   1.35   1.35   1.35   1.35   1.35   1.35   1.35   1.35   1.35     62.16   1.322   0.0153   1.35   1.	£70	14.3%	<u> </u>	×	1951	4,48	e ri	2	15.34 A	.99	36.3	0.92	97 17	38.5		470
11.84   0.09722   1870   4.59   3.10   124   16.23   651   40.1   0.67   1.25   33.9   1.38   1.39	(A)	7.80	1.167	0.111	1912	Ĵ	K 15	129	15.88	\$	38.1	0.89	F	2		<b>3</b>
25.46         1.223         0.0766         1825         4.66         3.27         118         16.59         642         4.23         0.86         1.23         31.6         1.24         0.0766         1825         4.74         3.47         118         16.59         642         4.23         0.86         1.33         26.2         31.6         1.24         0.055         17.70         4.74         3.47         118         16.59         64.1         4.77         0.88         1.33         26.2         1.34         3.96         104         17.72         608         6.05         0.88         1.35         24.5         1.47         9.05         6.2         1.39         24.5	₩ <b></b>	21.83	18	0.097	1870	4.50 5.40	3.10	174	16.23	1539	40.1	0.87	¥.	33.9	1	\$ <del>\$</del>
31.66   1.222   0.0631   1779   4.74   3.47   113   16.95   6.31   44.7   0.85   1.31   29.2   44.38   1.244   0.0632   1770   4.78   3.49   10.9   17.33   6.21   47.3   0.84   1.35   28.9   24.44   27.5	<b>8</b>	75.00	133	0.0766	1823	93.	3.27	118	65.91	Z	12.3	0.86	-	31.6	ŧ	200
77.70         1.244         6.0522         1770         4.84         3.70         11.06         17.33         6.21         47.5         0.84         13.5         26.9         —           52.38         1.254         6.0445         1679         4.99         13.6         104         17.72         668         9.6         1.35         26.9         24.5           64.18         1.323         0.0377         1564         5.24         4.64         97         18.6         80         0.86         1.43         22.1           64.18         1.322         0.0377         1564         5.24         4.64         97         18.6         80         0.86         1.43         22.1         17.3         1.87         19.7         1.99         1.86         1.30         0.86         1.43         1.87         1.86         1.80         1.87         1.86         1.80         1.83         1.83         1.84         1.85         1.80         1.86         1.83         1.83         1.83         1.83         1.83         1.83         1.83         1.83         1.83         1.83         1.83         1.83         1.83         1.83         1.83         1.84         1.84         1.83         1.8	510	31,66	. T.	0.8631	6221	7.7	3.47	13	16.95	631	7.	0.85	3	6.	1	210
44.58         1.288         0.08445         1679         4.95         3.96         104         17.72         608         50.6         0.85         1.39         24.5           52.28         1.284         0.0377         1.662         5.96         104         17.72         608         1.43         22.1         —           64.1.9         1.355         0.0377         1.664         5.24         4.64         97         18.1         569         1.43         22.1         —           7.1.68         1.355         0.0259         1.469         5.44         4.7         94         18.7         564         6.7         0.90         1.52         17.3         94         18.7         5.46         94         18.7         5.7         0.90         1.52         17.3         —         94.5         1.50         1.50         1.52         17.3         —         94.5         1.50	Æ	37.70	1.24	6,0525	1730	¥.	3.73	<u>3</u>	17.33	179	47.5	0,84	ń	6,95	ı	\$25 \$25
57.28         1.294         0.6077         1622         5.08         4.27         101         18.1         594         54.0         0.86         1.43         22.1         22.1           7.48         1.352         0.0269         1.864         5.6         5.6         5.6         5.7         19.7         18.6         58.0         18.7         19.7	<del>23</del> 0	44 SB	768	0.0445	626	6	3.8	ĕ	17,72	<del>9</del> 0	9. 9.	0.85	1.39	24.5	1	536
61.19 1.323 0.0317 1554 5.24 4.64 97 18.6 580 58.3 0.87 1.47 197    62.16 1.352 0.0359 1499 5.43 5.99 94 19.1 563 6.37 0.90 1.52 17.3    62.16 1.392 0.0228 1499 5.48 5.69 94 19.1 563 0.87 1.47 19.7    62.16 1.392 0.0228 1439 5.48 5.40 6.40 88 20.4 5.28 76.7 0.94 1.59 15.0    100.3 1.482 0.0163 1274 6.41 7.35 84 21.5 513 84.1 1.05 1.84 10.5    123.2 1.541 0.0163 1274 6.41 7.35 84 21.5 513 84.1 1.05 1.84 10.5    137.3 1.542 0.0163 1274 6.41 7.35 84 21.5 513 84.1 1.05 1.84 10.5    137.3 1.541 0.0163 1274 6.41 7.35 84 21.5 513 84.1 1.05 1.84 10.5    137.3 1.552 0.0165 18.8 10.4 1.3 1.3 1.3 1.3 1.3 1.3 1.3 1.3 1.3 1.3	- Sec.	23	3	0.0375	1622	5,0%	4.27	101	18.1	ş	54.0	0.86	.43	ដ	ł	35
7.48 1.352 0.0259 1489 5.43 5.09 94 19.1 565 6.17 0.90 15.2 17.3 — — — — — — — — — — — — — — — — — — —	250	61.19	-	0.0317	1364	5.24	4.64	6	38.6	580	58.3	0.87	4	7,91	i	550
March   1,972   0,0228   1479   5.68   5.67   91   19,7   544   76,7   0.94   1.59   15.0	<b>36</b>	2,8	1.355	0.0269	T.	5.43	5,09	J	19.1	563	63.7	0.50	3	17.3	ı	260
94.51 1.433 0.0193 1333 0.00 6.40 88 20.4 528 76,7 0.99 1.68 12.8	£5	2	6	0.0228	1429	5.68	5.67	Ľ,	. 6.3	<del>24</del> 8	76.7	3.0	6,7	15.0	1	570
108.2	28G	15.38	1.433	0.0193	1353	6.00	6.40	æ	30.4	\$28	76.7	6.0	89"	8.51	ł	280
12.3   1.541   0.0137   1176   7.00   8.75   81   22.7   467   92.9   114   2.15   8.4       127.3   1.542   0.0137   1176   7.00   8.75   11.3   7.2   4.4   114   1.20   2.60   6.3       129.1   1.705   0.0094   941   9.35   15.4   7.2   22.9   444   114   1.20   2.46   6.3       159.1   1.705   0.0095   8.8   10.6   18.3   70   27.0   4.90   121   1.65   4.20   3.5       159.2   1.575   0.0095   781   12.6   22.1   6.7   28.0   412   1.30   2.0   4.8   2.6       150.2   1.935   0.0096   863   16.4   27.6   64   30   31   13   12   6   0.1       215.2   2.551   0.0057   8.60   8.6   4.5   4.5   4.5   3.5   1.3   1.5   1.5   0.1       215.3   1.70   0.0057   1.70   4.8   1.70   3.31   1.78   2.5   0.1       215.3   1.70   0.0057   1.70   4.8   2.8	965	108	. 487	0.0163	1274	6.41	7.35	æ	21.5	513	<b>3</b>	1.05	or,	501	1	286
1373   1.612   0.0115   1086   7.85   11.1   77   24.1   447   103   1.30   2.60   6.3         1484.1   1.776   0.00084   944   94.1   9.35   15.4   70   2.59   444   114   1.52   3.46   4.5       1797.1   1.656   0.0075   771   12.6   18.3   70   72   141   1.6   3.5       1797.2   1.656   0.0075   771   12.6   22.1   67   28.0   412   130   2.0   4.8   2.6       1797.3   1.656   0.0075   771   12.6   22.1   67   28.0   412   2.1   6.0   1.5       1797.3   1.656   0.0075   781   12.6   22.1   67   28.0   37   141   2.1   6.0   1.5       1797.3   1.676   0.0087   560   26   42   2.9   3.10   36   2.5   1.2   4.6   0.8       1717.3   1.779   0.0087   0.0083   1.0   1.0   1.0       1717.3   1.779   0.0087   0.0083   1.0   1.0   1.0       1717.3   1.779   0.0087   0.0083   1.0   1.0   1.0       1717.3   1.779   0.0087   1.0   1.0   1.0       1717.4   1.778   0.0087   1.0   1.0   1.0       1717.5   1.779   0.0087   1.0   1.0   1.0       1717.5   1.779   0.0087   1.0   1.0       1717.5   1.779   0.0087   1.0   1.0       1717.5   1.779   0.0087   1.0   1.0       1717.5   1.779   1.779   1.779   1.779   1.779       1717.5   1.779   1.779   1.779   1.779   1.779       1717.5   1.779   1.779   1.779   1.779   1.779       1717.5   1.779   1.779   1.779   1.779   1.779       1717.5   1.779   1.779   1.779   1.779   1.779       1717.5   1.779   1.779   1.779   1.779       1717.5   1.779   1.779   1.779   1.779       1717.5   1.779   1.779   1.779   1.779       1717.5   1.779   1.779   1.779   1.779       1717.5   1.779   1.779   1.779     1.779       1717.5   1.779   1.779   1.779     1.779	98	53.3	ħ	0.0137	1176		15. 15.	₹	ri Fi	497	67.6	<u>+</u>	2.15	<del>7</del> .00	ţ	999
159.1   1.785   0.8094   941   9.35   15.4   72   25.9   444   114   15.2   3.46   4.5       179.7   1.785   0.8095   858   19.6   18.3   70   27.0   430   121   1.65   4.20   3.5       179.7   1.785   0.8095   858   19.6   22.1   67   28.0   412   130   6.4   1.5       190.9   1.935   0.8066   683   16.4   27.6   64   30,   392   141   27   6.0   1.5       200.7   2.075   2.0987   560   2.6   4.2   2.6       215.2   2.551   0.8048   3.6   3.6   3.1   1.7   1.7   1.7   0.0       215.2   2.551   0.8048   3.6   3.8   3.8   3.8   3.8   3.8       215.2   3.179   0.8032   1.1   3.4   45.0   2.38   2.38   3.8   3.8	618	137.3	1.612	0.0115	8 <del>8</del>			F.	24.1	46.7	103	2	5.60	6.3	1	610
189.1         1,778         0,00065         858         19.6         18.3         70         27.9         430         121         1.65         4,20         3.5         —           179.7         1,856         0,0075         781         12.6         22.1         67         28.0         412         130         2.0         4.8         2.6         —           202.7         1,935         0,0886         683         16.4         27.6         64         30         35         141         7         60         1,5         —           215.2         2,537         0,0048         36         36         36         36         1,2         4,6         6,8         —           215.2         3,571         0,0048         36         37         131         178         12         36         0.0           212.2         3,170         0,0032         1         2         45,0         238         238         2         0.0	626	159.1	ž.	0.00	1,54		15.4	ŗ.	6.50	4	114	3	3.46	4.5	i	0 <del>7</del> 9
179.7   1.856   0.0075   781   12.6   22.1   67   28.0   412   130   2.0   4.8   2.6   .	673 FL	169.1	1,778	0,00085	858		18.3	2	27.0	430	171	1.65	4.20	3.5	ł	<del>23</del>
190.9   193.5   0.0866   683   16.4   27.6   64   30.0   30.2   141   2   6.0   1.5	969	179.7	1.85%	0,0075			1.2.1		28.0	514	30	2.0	<b>₹</b>	2.6	ŀ	630
202.7 2075 0.0057 560 25 42 59 32.0 35 155 4.1 9,6 0.8	635	6,063	1.93	C. CRIMO			7.6		30.0	392	=	:	6,0		ı	553
23.5.2 2.351 0.00045 3.61 90 - 54 77.0 331 178 12 26 0.1	<b>F</b>	207.7	, O.	0,0057			C)		32.0	367	155	' ! -	9.0	8.0	i	£
121.2 3.170 0.0032 1: × × 45 45.0 238 × × 0.0	Ž	215.2	1.35	0.004		5	ı	J.	0.75	331	178	ន	ş	0.1	ı	645
	647.3	11.1	3.170	0.0032		H	н	÷	45.0	38	38	×	н	0.0	1	£1780

Tabela A.7 Propriedades termolísicas de metais líquidos"

COMPOSIÇÃO	PONTO DE FUSÃO (K)	7 (K)	ρ (kg/m¹)	( <del>12/lig</del> - K)	10 <sup>1</sup> (m <sup>3</sup> /s)	k (W/m K)	a 10° (m²/s)	P,
Bismuto	544	589	10.011	0,1444	1,617	16.4	0.138	0.0142
		811	9.739	0,1545	1,133	15.6	1.035	0.0110
4		1033	9.467	0,1645	0,8343	15,6	1,001	0,0083
Chumbo	600	644	10.540	0,159	2,276	16,1	1.084	0.024
		755	10.412	0,155	1.849	15,6	1,223	0,017
		977	10.140	_	1 347	14,9		<u> </u>
Potássio	337	422	807,3	0.80	4,608	45,0	6,99	0,0066
		700	741,7	9,75	2,397	39.5	7,07	0.0034
		977	674,4	11,75	1,905	33,1	6,55	0,0029
Sódio	371	366	929,1	1,38	7,516	86,2	6.71	0.011
		644	860,2	1,30	3,270	72,3	6.48	0,0051
		977	778.5	1.26	2,285	59.7	6,12	0,0037
NaK (45%/55%)	292	366	887,4	1,130	6,522	25,6	2,552	0.026
		644	821.7	1,055	2.871	27,5	3,17	0.0091
		977	740,1	1,043	2,174	28,9	3,74	0,005R
NaK (22") (78")	262	366	R49,0	0,946	5,797	24,4	3.05	0.019
		672	775,3	0.879	2,666	26,7	3,42	0,0068
		1033	690.4	0,883	2,118	_	-	-
PbBi (44,5%/55,5%)	348	422	10.524	0,147	_	9,05	0,586	
		644	10.236	0.147	1.496	11.86	0,790	0,189
		922	9.835	_	1,171	_		
Метситію	234			V	er Tabela	A.5		

'Adaptada de Liquid Materials Handbrok, 23 ed. Atomic Energy Commission, Department of the Navy, Washington, D.C., 1952.

Tabela A.8 Coeficiente de difusão binário a uma atmosfera" ^

SUBSTÁNCIA A	SUBSTÁNCIA B	T (K)	D <sub>AB</sub> (m <sup>1</sup> /s)
Gases			
NH,	Ar atmosférico	298	$0.28 \times 10^{-4}$
H <sub>2</sub> O	Ar atmosférico	298	0,26 × 10 1
CÒ,	Ar atmosférico	298	0.16 × 10 4
H,	Ar atmosférico	298	0,41 × 10 4
Ο,	Ar atmosférico	298	9,21 × 10 4
Асстопа	Ar atmosférico	273	0.11 × 10 *
Benzeno	Ar atmosférico	298	0,86 × 10 3
Naftaleno	Ar atmosférico	300	$0.62 \times 10^{-5}$
Ar	N,	293	0,19 × 10 *
Н,	Ο,	273	$9.70 \times 10^{-4}$
H,	N,	273	0.68 × 10 4
H,	cb.	273	0,55 × 10 °
CO,	N,	293	0.16 × 10 <sup>4</sup>
CO,	O,	273	$0.14 \times 10^{-4}$
$O_{i}$	N,	273	0.18 × 10 °
Soluções diluídas			
Cafeina	H,O	298	8,63 × 10 °
Etanol	H,O	298	0,12 × 10 *
Glicose	11,0	298	0.69 × 10 °
Olicerol	H,O	298	0.94 × 10 *
Acctons	11.0	298	0.13 × 10 °
CO.	11,0	298	0.20 × 10 °
O,	HļO	298	0,24 × 10 f
Ħ,	H,O	298	0,63 × 10 F
M,	H,O	298	9,26 × 10 °
Solidos			
ρ, N,	Borracha	298	0,21 × 10 *
N,	Borracha	29B	0.15 × 10 °
co,	Porracha	298	0,11 × 10 °
) te	\$íO,	293	6,4 × 10 13
H,	Fe	293	0,26 × 10 11
Cá	Cu	293	0.27 × 10 "
Al	Cu	293	0,13 × 10 19

'Adaptada, com autorização, das referências bibliográficas 20, 21 c 22 'Com a bipotese de comportamento ideal a dependência entre o cordiciente de difusão quam emistura birária de gases e a pressão e a temperatura pode ser estimada pela relação  $D_{\rm ap}\sim p^{-1}T^{0}$ 

Tabela A.9 Constante de Henry para alguns gases em

H = p	. /x	(bar)						
T (K)	NH,	Ct,	11.5	so,	co,	CH,	ο,	11,
273	21	265	260	165	710	22.880	25 500	58 000
280	23	365	335	210	960	27.800	30 5(X)	61 500
290	26	450	450	315	1300	35 200	37.600	66 500
3(X)	30	615	570	440	1730	42.800	45 700	71.600
310	~	755	700	600	2175	50 000	52 500	76 000
320	_	860	835	800	2650	56.3IXI	56 800	78 600
323		890	870	850	2870	58.000	58 (HO)	79 (99)

"Adaptada, com autorização, da referência lubliográfica 23

Tabela A.10 Solubilidade de gases em sólidos"

GAS	sórbo	7 (K)	$S = C_A / p_A$ (kenulon bar)
O,	Borracha	29H	3.12 × 10 1
N,	Borracha	29ก	1.36 × 10 3
có,	Borracha	298	$40.15 \times 10^{-3}$
He	\$iO,	293	0.45 × 10 '
М.	Ní	35B	9,01 × 10 '

"Adaptada, com autorização, da referência bibliográfica 22